

11-168

44,9

Азәрбајҹан ССР
Елмләр Академијасы
Академия наук
Азербайджанской ССР

ISSN 0002-3078

МӘРУЗӘЛӘР ДОКЛАДЫ

ЧИЛД

XLIV

ТОМ



1988

ЧИЛД

ДАН Азерб. ССР публикует краткие сообщения об оригинальных, никогда не публикованных ранее, результатах научных исследований, представленные академиками АН Азерб. ССР, которые тем самым берут на себя ответственность за научные достоинства представляемой статьи.

В «Докладах» не публикуются крупные статьи, механически разделенные на ряд отдельных сообщений, статьи полемического характера, без новых фактических сообщений, статьи полемического характера, без новых фактических данных, статьи с описанием промежуточных опытов, без определенных выводов и обобщений, чисто методические статьи, если предлагаемый метод не является принципиально новым, а также статьи по систематике растений и животных (за исключением описания особенно интересных для науки находок).

Будучи органом срочной информации, журнал «ДАН Азерб. ССР» принимает и отбирает к печати статьи, объем которых допускает их публикацию в установленные решение Президиума АН Азерб. ССР сроки.

В связи со всеми перечисленными ограничениями отклонение статьи редакцией «Доклады АН Азерб. ССР» означает только, что она не согласуется с требованиями и возможностями этого журнала и не исключает ее публикации в других изданиях.

ПРАВИЛА ДЛЯ АВТОРОВ

Редакция журнала «Доклады АН Азерб. ССР» просит авторов руководствоваться приведенными правилами и надеется, что авторы ознакомятся с ними прежде, чем пришлют статью в редакцию.

Статьи, приносятся.

1. Статьи, СССР или ака-

Статьи с

2. Статья, очередной пуб-

ния приорите-

3. Ка-

4. «Л

не распра-

5. Ак-

также д-

статье п-

назначен-

6. В

полнено

номер те-

Кром-

будет вес-

7. Вс-

к печати

редколле-

жемпли-

тается де-

8. В

(6 страниц

больше

включая

Вклейки

рисунки

Текст и

одних и

ны быть

деталей

должны

странице,

название

1922 Документ
№ 9 Ил. Азерб. ССР

отрению не прини-

тавление члена АН

цеха).

зий не принимаются.

новодом для вне-

щения и соображе-

ния на рецензию.

в год. Это правило

наук Азерб. ССР.

местить статью, а

икации (УДК). К

икземплярах, пред-

лагти,

я, в котором вы-

ложтовый адрес и

которым редакция

что статья принята

в рассматривается

с первоначальным

поступления счи-

авторского листа

библиография (не

превышать четырех,

мованной бумаге.

ния. Штриховые

для

траф.

Повторение

и. Рисунки долж-

но

передачи всех

и

и

и

и

и

и

и

и

и

и

и

и

и

и

и

и

и

и

и

и

и

и

и

и

и

и

и

и

и

и

и

и

и

и

и

и

и

и

и

и

и

и

и

и

и

и

и

и

и

и

и

и

и

и

и

и

и

и

и

и

и

и

и

и

и

и

и

и

и

и

и

и

и

и

и

и

и

и

и

и

и

и

и

и

и

и

и

и

и

и

и

и

и

и

и

и

и

и

и

и

и

и

и

и

и

и

и

и

и

и

и

и

и

и

и

и

и

и

и

и

и

и

и

и

и

и

и

и

и

и

и

и

и

и

и

и

и

и

и

и

и

и

и

и

и

и

и

и

и

и

и

и

и

и

и

и

и

и

и

и

и

и

и

и

и

и

и

и

и

и

и

и

и

и

и

и

и

и

и

и

и

и

и

и

и

и

и

и

и

и

и

и

и

и

и

и

и

и

и

и

и

и

и

и

и

и

и

и

и

РЕДАКЦИОННАЯ КОЛЛЕГИЯ:

Э. Ю. Салаев (главный редактор), Г. Б. Абдуллаев, М. Т. Абасов,
 В. С. Алиев, Г. А. Алиев, Дж. А. Алиев, И. Г. Алиев, Дж. Б. Гулиев,
 Н. А. Гулиев, М. З. Джабаров, Ф. Г. Максудов, А. А. Надиров,
 Ю. М. Сенцов (зам. главного редактора), М. А. Усейнов,
 Г. Г. Зейналов (ответств. секретарь).

УДК 517. 5 + 517—944

МАТЕМАТИКА

АЗАД А. БАБАЕВ

ТЕОРЕМЫ ВЛОЖЕНИЯ В НЕКОТОРЫХ ВЕСОВЫХ
ВЕКТОРНОЗНАЧНЫХ ПРОСТРАНСТВАХ, ВЫРОЖДАЮЩИЕСЯ
КОЭРЦИТИВНЫЕ ГРАНИЧНЫЕ ЗАДАЧИ

(Представлено академиком АН Азербайджанской ССР Ф. Г. Максудовым)

В данной заметке вводится класс весовых абстрактных функциональных пространств, возникающих в теории вырождающихся дифференциально-операторных уравнений. Доказываются теоремы о непрерывности операторов вложения в данных пространствах. В частности, показываются оценки смешанных производных с параметрами в рамках абстрактной теории интерполяции, позволяющей получить мультипликативное неравенство.

Отметим, что теоремы вложения в абстрактных функциональных пространствах изучены в работах [2—6] и т. д.

Далее, рассматриваются граничные задачи для вырождающихся эллиптических уравнений второго порядка, вообще говоря, с неограниченными операторными коэффициентами. Доказывается коэрцитивная разрешимость данных задач в абстрактных L_p -пространствах. Граничные задачи для вырождающихся дифференциально-операторных уравнений были исследованы в работах [7—9] и т. д.

Введем некоторые определения.

Пусть E — банахово пространство.

Определение 1. Линейный оператор $A(x)$ называется позитивным в E равномерно по $x \in \Omega$, если

- 1) область определения $D(A(x))$ не зависит от $x \in \Omega$ и $\overline{D(A(x))} = E$;
- 2) отрицательная вещественная полуось принадлежит резольвентному множеству оператора $A(x)$;
- 3) резольвента $R(A(x), -s) = [A(x) + s]^{-1}$ удовлетворяет неравенству $\|[A(x) + s]^{-1}\| < M(1 + s)^{-1}$, $s \geq 0$.

Если нет специальной оговорки, будем считать, что константы, возникающие в оценках, не зависят от переменных элементов.

Для позитивного оператора A дробные степени определены в [4, с. 113]. Пусть H' — гильбертово пространство.

При $-\infty < \theta < +\infty$ положим

$$H(A^\theta) = \{u : u \in D(A^\theta), \|u\|_{H(A^\theta)} = \|A^\theta u\|_H + \|u\|_H\}$$

Пусть l, p, τ — действительные числа, причем l — натуральное $l = (0, 1, 2, \dots)$, $1 < p < \infty$, $\Omega \subset R^n$, Γ — граница области Ω , $r(x)$ — расстояние от

© Издательство «Элм», 1988 г.

точки $x \in \Omega$ до Γ , $a = (a_1, \dots, a_n)$, a_k —целые неотрицательные числа,

$$|z| = \sum_{k=1}^n a_k, D^{[a]} = D_1^{[a_1]} \cdots D_n^{[a_n]}, D^{[a]} u = \left(\rho^a(x) \frac{\partial}{\partial x_i} \right)^{[a]}$$

Обозначим через

$$W_{p,1}^{[a]}(\Omega; H(A), H)$$

класс функций u , определенных на Ω , с конечной нормой

$$\|u\|_{W_{p,1}^{[a]}(\Omega; H(A), H)} = \|Au\|_{L_p(\Omega; H)} + \sum_{i=1}^n \|D_i^{[a_i]} u\|_{L_p(\Omega; H)}$$

Мы будем предполагать, что Ω ограниченная область в R^n с гладкой $(n-1)$ -мерной границей Γ .

Доказываются следующие теоремы вложения

Теорема 1. Пусть A позитивный оператор в H , $1 < p < \infty$, $0 < \mu < 1$. Тогда при $|a| \leq l$ имеет место вложение

$$D^{[a]} W_{p,1}^{[l]}(\Omega; H(A), H) \rightarrow L_p(\Omega; H(A)^{1-\frac{|a|}{l}}).$$

При этом, при $0 < \mu \leq 1 - \frac{|a|}{l}$ и для любого $h > 0$ имеет место оценка

$$\begin{aligned} \|D^{[a]} u\|_{L_p(\Omega; H(A)^{1-\frac{|a|}{l}})} &\leq C_\mu \|h^\mu u\|_{W_{p,1}^{[l]}(\Omega; H(A), H)} + \\ &+ h^{-l(1-\mu)} \|u\|_{L_p(\Omega; H)}, \quad \forall u \in W_{p,1}^{[l]}(\Omega; H(A), H). \end{aligned} \quad (1)$$

Доказательство. Рассмотрим случай $\Omega = (0, T)$, тогда возникает подобное пространство $W_{p,1}^{[l]}(0, T; H(A), H)$ с весами t^l . При замене

$$T' = \int_0^T z^{-1} dz$$

пространство $W_{p,1}^{[l]}(0, T; H(A), H)$ изоморфно отображается на весовое пространство $W_{p,1}^1(0, T'; H(A), H)$. Используя теоремы из [6], показываются оценки промежуточных производных функций из этих классов. Отсюда получаем оценки промежуточных производных функций из класса $W_{p,1}^{[l]}(0, T; H(A), H)$. Далее, такого типа оценка показывается для подобных классов функций, определенных на регулярных мостах множества Ω [1, с. 369].

При помощи локализации получаем оценку (1).

Пусть H_0 и H —гильбертовы пространства, H_0 —плотно вложено в H . Через $[H_0, H]_0$, $0 < \theta < 1$ обозначим интерполяционные пространства между H_0 и H , определенное в [3, с. 22].

Теорема 2. Пусть $1 < p < \infty$, $0 < \gamma < 1$. Тогда при $|\alpha| \leq l$ имеет место вложение

$$D^{[a]} W_{p,1}^{[l]}(\Omega; H_0, H) \rightarrow L_p(\Omega; [H_0, H]_0),$$

При этом при $0 < \mu \leq 1 - \frac{|\alpha|}{l}$ и для любого $u \in W_{p,1}^{[l]}(\Omega; H_0, H)$, $u \neq 0$ имеет место оценка

$$\|D^{[a]} u\|_{L_p(\Omega; [H_0, H]_0)} \leq C_\mu [h^\mu \|u\|_{W_{p,1}^{[l]}(\Omega; H_0, H)} + h^{-l(1-\mu)} \|u\|_{L_p(\Omega; H)}] \quad (2)$$

Следствие. Пусть $H_0 = l_2^2$, $H = l_2$, то $[l_2^2, l_2] = l_2^{(1-\theta)}$ [4, с. 143]. Тогда при $H_0 = l_2^2$, $H = l_2$, $|\alpha| \leq l$, $0 < \gamma < 1$ имеет место вложение

$$D^{[a]} W_{p,1}^{[l]}(\Omega; l_2^2, l_2) \rightarrow L_p(\Omega; l_2^{(1-\theta)}), \quad 1 < p < \infty.$$

Далее изучаются краевые задачи для вырождающихся эллиптических дифференциально-операторных уравнений в $L_p(\Omega; H)$:

$$\begin{aligned} (L + \lambda_0) u &= - \sum_{i,j=1}^n a_{ij}(x) \frac{\partial^{[2]} u}{\partial x_i \partial x_j} + \sum_{i=1}^n A_i(x) \frac{\partial^{[1]} u}{\partial x_i} + \\ &+ A_0(x) u + A(x) u + \lambda_0 u = f(x) \end{aligned} \quad (3)$$

$$L_1 u = \left[\alpha(x) \frac{\partial^{[1]} u}{\partial \xi} + \beta(x) u \right]_\Gamma = 0, \quad (4)$$

где $f(x)$ —заданная, $u(x)$ —искомая функция со значениями из H , определенные в ограниченной области $\Omega \subset R^n$ с достаточно гладкой границей Γ . Предполагается, что функции $a_{ij}(x)$, $i, j = \overline{1, n}$ вещественные, $a_{ij}(x) \in C(\bar{\Omega})$, $a_{1j}(x) = a_{j1}(x)$ и при любом $x \in \bar{\Omega}$, $\xi \in R^n$, $\xi \neq 0$,

$$\sum_{i,j=1}^n a_{ij}(x) \xi_i \xi_j \geq C \sum_{i=1}^n \xi_i^2, \quad C > 0,$$

G —некасательное направление, $A_1(x)$, $A_0(x)$, $A(x)$, вообще говоря, неограниченные операторы в H .

Условие 1.

- 1) Пусть $A(x)$ позитивен в H равномерно по $x \in \bar{\Omega}$.
- 2) $a_{ij}(\cdot) \in C(\bar{\Omega})$, $\alpha(x), \beta(x) \in C(\Gamma)$, $A_1(\cdot) A^{-\left(\frac{1}{2}-\mu\right)} \in L_\infty(\Omega; B(H))$, $A_0(\cdot) A^{-l(1-\mu)}(\cdot) \in L_\infty(\Omega; B(H))$ при некотором $\mu > 0$, $\mu_0 > 0$.
- 3) $A(\cdot) \cdot A^{-1}(x_0) \in C(\bar{\Omega}; B(H))$ ($\exists x_0 \in \Omega$).

Теорема 3. Пусть выполнено условие 1 и $0 < \gamma < 1 - \frac{1}{p}$, $1 < p < \infty$. Тогда при достаточно больших $\lambda_0 > 0$ задача (3)–(4) имеет единственное решение $u(x)$ из $W_{p,1}^{[2]}(\Omega; H(A), H)$, и имеет место оценка

$$\|u\|_{W_{p,1}^{[2]}(\Omega; H(A), H)} \sim C \|f\|_{L_p(\Omega; H)}$$

В заключение автор выражает глубокую благодарность А. Д. Джабраилову и В. Б. Шахмурошу за обсуждение полученных результатов.

Литература

1. Никольский С. М. Приближение функций многих переменных и теоремы вложения. — М.: Наука, 1977.
2. Соболев С. Л. — Докл. АН СССР, 1957, т. 114, № 6, с. 1170–1173.
3. Лионс Ж. Л., Мадженес Е. Неоднородные граничные задачи и их приложения. — М.: Мир, 1971.
4. Трибель Х. Теория интерполяции. Функциональные пространства. Дифференциальные операторы. — М.: Мир, 1980.
5. Grosvard P. — C. r. Acad. Sc. Paris. Ser. A., 1963, v. 257, № 2, p. 349–352.
6. Шахмуро В. Б.

Матем. сб., 1987, т. 134 (176), с. 260–273. 7. Дезин А. А. — Матем. сб., 1981, т. 115(157), с. 323–336. 8. Орлов В. П. Труды НИИМ ВГУ, 1974, вып. 14, с. 54–62. 9. Шахмурев В. Б. — ДАН СССР, 1986, т. 290, № 3.

Азербайджанский инженерно-строительный
институт

Поступило 16.VI.1988

Азад. А. Бабаев

БИР СИННИФ ЧӘКИЛИ ВЕКТОРГИМӘТЛІ ФӘЗАЛАРДА
ДАХИЛОЛМА ТЕОРЕМЛӘРИ. ЧЫРЛАШАН КӨРСИТИВ
СӘРҮӘД МӘСӘЛӘЛӘРИ

Мәгәләдә бир синниф чәкили абстракт функционал фәзаларда дахилолма теоремләри нисбат олунур. Алынан иетиначәләрин икитөртибән гејри-мәндүд оператор өмсаллы чырлашын еләнилек тәсилклөр учун сәрүәд масаласыннан һәллиң тәтбиғиги верилмишидир.

Azad A. Babaev

EMBEDDING THEOREMS IN SOME WEIGHTS' VECTOR VALUE
SPACES. DEGENERATED COERCIVE BOUNDARY VALUE PROBLEMS

In this article, the class of some weights' abstract functional spaces is introduced. Some embedding theorems are proved.

Then, the boundary value problems for the degenerate elliptic equations of the second order with the unbounded operator coefficients are considered as application.

АЗӘРБАЙЧАН ССР ЕЛМЛӘР АКАДЕМИЯСЫНЫН МӘРҮЗӘЛӘРИ

ДОКЛАДЫ АКАДЕМИИ НАУК АЗЕРБАЙДЖАНСКОЙ ССР

ТОМ XLIV ЧИЛД

№ 9

1988

УДК 517. 551

МАТЕМАТИКА

Г. И. ИБРАГИМОВ

ОБ АБСОЛЮТНОЙ СХОДИМОСТИ КРАТНЫХ РЯДОВ
ЭКСПОНЕНТ, ПРЕДСТАВЛЯЮЩИХ АНАЛИТИЧЕСКИЕ
В ПОЛИМНОГОУГОЛЬНИКЕ ФУНКЦИИ

(Представлено академиком АН Азербайджанской ССР И. И. Ибрагимовым)

Пусть $D \subset \mathbb{C}^n$ область вида $D = D_1 x \cdots x D_n$, где $D_j \subset \mathbb{C}$ —выпуклый многоугольник с вершинами в точках $y_{j,k}$ ($k=1, \dots, N_j$; $N_j > 3$), содержащий начало координат; $\Gamma_j = \partial D_j$ —граница области D_j ; $\Gamma = \Gamma_1 x \cdots x \Gamma_n$ —остов полимногоугольника D . Положим

$$L_j(\lambda) = \sum_{k=1}^{N_j} d_{j,k} \exp(y_{j,k} \lambda), \quad d_{j,k} \neq 0; \quad j = 1, \dots, n.$$

и пусть $\{\lambda_{j,m}\}_{m=1}^{\infty}$ —последовательность нулей $L_j(\lambda)$. Предположим, что все нули $L_j(\lambda)$ простые, отличны от нуля и расположены по порядку неубывания модулей. Пусть $\sigma_j(t)$ —функция скачков в вершинах многоугольника D_j так, что

$$L_j(\lambda) = \int_{\Gamma_j} e^{\lambda z} dz_j(t), \quad L_j(0) \neq 0; \quad j = 1, \dots, n,$$

Введем следующие обозначения: $z = (z_1, \dots, z_n)$, $z_j \in \overline{D_j}$; $\lambda_m = (\lambda_{1,m}, \dots, \lambda_{n,m})$, $\langle \lambda_m, z \rangle = \lambda_{1,m} z_1 + \dots + \lambda_{n,m} z_n$, $m \in \mathbb{N}^n$, $d\sigma(\xi) = d\sigma_1(\xi_1) \cdots d\sigma_n(\xi_n)$. Далее обозначим через $AC(\overline{D})$ класс функций $f(z)$, аналитических в D и непрерывных на \overline{D} ; при $0 < \alpha < 1$ через $AH^\alpha(\overline{D})$ обозначим класс функций $f(z) \in AC(\overline{D})$, для которых $|f(z') - f(z'')| \leq Mh^\alpha$, $M = \text{const}$, при $z', z'' \in \overline{D}$, $|z' - z''| \leq h$, $z' = (z'_1, \dots, z'_n)$, $z'' = (z''_1, \dots, z''_n)$, $\alpha = 1, 2$. Для натурального s и $0 < \alpha < 1$ через $AW^s H^\alpha(\overline{D})$ обозначим класс функций $f(z)$ таких, что все производные вида $D^{|\kappa|} f = \partial^{|\kappa|} f / \partial z_1^{\kappa_1} \cdots \partial z_n^{\kappa_n} \in AH^\alpha(\overline{D})$, $|\kappa| = \kappa_1 + \dots + \kappa_n$, $|\kappa| \leq s$, $\kappa \in \mathbb{Z}_+^n$. Наконец, для произвольного $\alpha > 0$ через $AH^\alpha(\overline{D})$ обозначим класс функций $AW^{[\alpha]} H^{\alpha-[a]}(\overline{D})$ ($[\alpha]$ —целая часть α). Аналогичным образом обозначаются классы 2π -периодических по каждой переменной функций, так $W^s H^\alpha(J^n)$ обозначает класс 2π -периодических по каждой переменной функций $\varphi(x)$, $x = (x_1, \dots, x_n)$, которые непрерывны на n -мерном кубе $J^n = \{x \in \mathbb{R}^n; 0 < x_j < 2\pi, j = 1, \dots, n\}$ вместе со всеми частными производными до порядка s включительно и таких, что $|D^\kappa \varphi(x^1) - D^\kappa \varphi(x^2)| \leq Bh^\alpha$ при $x^1, x^2 \in J^n$, $|x_1^1 - x_1^2| \leq h$, $j = 1, \dots, n$; $x^\kappa = (x_1^\kappa, \dots, x_n^\kappa)$, $\kappa = 1, 2$.

С каждой функцией $f \in AC(\bar{D})$ связывается ряд экспонент

$$f(z) \sim \sum_{m \in N^n} \omega(f; \lambda_m) e^{<\lambda_m, z>} \prod_{j=1}^n L_j(\lambda_{j,m_j}),$$

коэффициенты $\omega(f; \lambda_m)$ которого определяются по формуле

$$\omega(f; \lambda_m) = \int_{\Gamma} d\sigma(\xi) \int_0^{\xi_1} \cdots \int_0^{\xi_n} f(\xi - \eta) e^{<\lambda_m, \eta>} d\eta_1 \cdots d\eta_n,$$

где $\xi = (\xi_1, \dots, \xi_n)$, $\eta = (\eta_1, \dots, \eta_n)$.

Имеет место следующий аналог известной в теории рядов Фурье теоремы С. Н. Бернштейна (см. например, [1, 2]).

Теорема. Пусть $f \in AH^*(\bar{D})$, $a > n/2$ и выполняется условие

$$\int_{\Gamma_k} D^{(k)} f(z_1, \dots, z_{k-1}, \xi, z_{k+1}, \dots, z_n) d\sigma_k(\xi) = 0, \quad z_i \in \bar{D}_i, \quad k = 1, \dots, n, \quad (3)$$

$$|r| = 0, 1, \dots, s, \quad s = [n/2], \quad r = (r_1, \dots, r_n) \in Z^n_+$$

Тогда ряд (1) сходится ($\kappa f(z)$) абсолютно и равномерно на \bar{D} .

Доказательство теоремы опирается на следующие леммы.

Лемма 1. Абсолютная сходимость ряда (1) на \bar{D} эквивалентна условию

$$\sum_{m \in N^n} |\omega(f; \lambda_m^{(1)})| < \infty.$$

Здесь

$$j = (j_1, \dots, j_n), \quad j_v = 1, \dots, N_v, \quad \lambda_m^{(1)} = (\lambda_{1,m_1}^{(1)}, \dots, \lambda_{n,m_n}^{(1)}) \quad \text{и}$$

$$\lambda_{v,m_v}^{(1)} = 2\pi m_v i / (j_{v+1} - j_v) + q_{v,j_v} e^{i j_v \cdot j_v} + O(e^{-a m_v}) -$$

нули функции $L(\lambda)$ (см. [3]).

Этот факт доказывается так же, как и в одномерном случае [4].

Лемма 2. При выполнении условий (3) имеет место соотношение

$$\omega(f; \lambda_m^{(1)}) \left(\sum_{v=1}^n \lambda_{v,m_v}^{(1)} \right)^s = \omega \left(\sum_{r_1 + \dots + r_n = s} \partial^s f / \partial z_1^{r_1} \cdots \partial z_n^{r_n}; \lambda_m^{(1)} \right) \quad (5)$$

Приведем схему доказательства этой леммы. Исходя из следующей эквивалентной (2) формулы

$$\omega(f; \lambda_m^{(1)}) = \sum_{x_1=1}^{N_1} \cdots \sum_{x_n=1}^{N_n} \left(\prod_{v=1}^n d_{v,x_v} \right) \int_{\Gamma_{1,x_1}} \cdots$$

$$\cdots \int_{\Gamma_{n,x_n}} f(\eta) e^{-<\lambda_m^{(1)}, (x_1 - \eta_1) \cdots (x_n - \eta_n)>} d\eta_1 \cdots d\eta_n.$$

примененной к функции $\partial f / \partial z_p$, с помощью интегрирования по частям с учетом (3), легко получить

$$\lambda_{p,m_p} \omega(f; \lambda_m^{(1)}) = \omega(\partial f / \partial z_p; \lambda_m^{(1)}). \quad (6)$$

Суммируя (6) по p , $p=1, \dots, n$, находим

$$\omega(f; \lambda_m^{(1)}) \sum_{p=1}^n \lambda_{p,m_p}^{(1)} = \sum_{p=1}^n \omega(\partial f / \partial z_p; \lambda_m^{(1)}). \quad (7)$$

Применяя теперь (7) к функции $\partial f / \partial z_q$ и суммируя по q , $q=1, \dots, n$, будем иметь

$$\sum_{q=1}^n \omega(\partial f / \partial z_q; \lambda_m^{(1)}) \sum_{p=1}^n \lambda_{p,m_p}^{(1)} = \sum_{q=1}^n \sum_{p=1}^n \omega(\partial^2 f / \partial z_q \partial z_p; \lambda_m^{(1)}). \quad (8)$$

Применяя к первому множителю в левой части (8) формулу (7) найдем, что

$$\omega(f; \lambda_m^{(1)}) \left(\sum_{v=1}^n \lambda_{v,m_v}^{(1)} \right)^2 = \sum_{r_1 + \dots + r_n = s} \omega(\partial^2 f / \partial z_1^{r_1} \cdots \partial z_n^{r_n}; \lambda_m^{(1)}).$$

Продолжая аналогичные рассуждения в заключение приходим к формуле (5).

Лемма 3. В условиях теоремы имеет место соотношение

$$\omega \left(\sum_{r_1 + \dots + r_n = s} \partial^s f / \partial z_1^{r_1} \cdots \partial z_n^{r_n}; \lambda_m^{(1)} \right) = C_m(F_1) \times$$

$$\times \prod_{v=1}^n (1 + O(e^{-a m_v})) + O \left(\prod_{v=1}^n m_v^{-2} \right),$$

где $C_m(F_1) = \frac{1}{(2\pi)^n} \int_{\Gamma} F_1(x) \exp(-i m \cdot x) dx$ — коэффициенты Фурье некоторой функции $F_1(x) \in H^\beta(J^n)$, $0 < \beta < a - s$, $s = [n/2]$.

Эта лемма играет основную роль в доказательстве теоремы. Ее доказательство сложно и здесь не приводится.

Лемма 4. Пусть $\varphi \in H^{\beta_1}(J^n)$, $s = [n/2]$. Тогда при $\beta_1 > n/2 - s$ имеет место соотношение

$$\sum_{m \in N^n} (m_1 + \cdots + m_n)^{-s} |C_m(\varphi)| < \infty.$$

Доказательство леммы 4 проводится обычным способом (см., например [1], [2]).

Доказательство теоремы. Из лемм 2, 3 и справедливого в силу (4) соотношения

$$\left| \sum_{v=1}^n \lambda_{v,m_v}^{(1)} \right| \leq \sum_{v=1}^n m_v$$

($a_n - b_n - \exists c, C > 0: c|a_n| \leq |b_n| \leq C|a_n|$) следует, что

$$|\omega(f; \lambda_m^{(1)})| \leq A_1 (m_1 + \cdots + m_n)^{-s} |C_m(F_1)| + A_2 \prod_{v=1}^n m_v^{-2}.$$

Отсюда в силу леммы 4 имеем $\sum_{m \in N^n} |\omega(f; \lambda_m^{(1)})| < \infty$, что на основании леммы 1 доказывает теорему.

Замечание. Доказанная теорема является обобщением результата работы [4] на функции многих переменных.

1. Зигмунд А. Тригонометрические ряды, т. 1.—М.: Мир, 1965. 2. Голубов Б. И. Об абсолютной сходимости кратных рядов Фурье.—Матем. заметки, 1985, т. 37, № 1, с. 13—24. 3. Леонтьев А. Ф. Ряды экспонент.—М.: Наука, 1976. 4. Мельник Ю. И. Об абсолютной сходимости рядов экспонент, представляющих регулярные в выпуклых многоугольниках функции.—Укр. матем. журн., —1983, т. 35, № 6, с. 778—782.

АПИ им. В. И. Ленина

Поступило 28. III 1988

Н. И. Ибраимов

**ПОЛИЧОХБУЧАГЛЫДА АНАЛИТИК ФУНКСИАЛАРЫН ЧОХГАТ
ЕКСПОНЕНТ СЫРАЛАРЫН МҮТЛӘГ ІҮГҮЛМАСЫ НАГГЫНДА**

Мәгалаада D_j СС габарыг чохбучаглы оддугла $D = D_1 \times \dots \times D_n$ поличнохбучаглысында аналитик вә гапалы \bar{D} үзәринде мүэллән һамарлыг шертини өдеңиң функцияларын чохгат экспонент сыраларынын \bar{D} үзәринде мүтләг јығылмасы наггында теорема исбат едилди. Һәмин теорема Фурье сыраларынын мүтләг јығылмасына аид классик С. Н. Бернштейн теореминин аналогудур.

G. I. Ibragimov

**ON ABSOLUTE CONVERGENCE OF MULTISERIES OF EXPONENTS
REPRESENTING ANALYTIC FUNCTIONS IN MULTIPOLYGON**

For multiseries of exponents representing analytic functions on the multipolygon $D = D_1 \times \dots \times D_n$, where D_j СС is a convex polygon, satisfying some smooth condition on the closure \bar{D} , an analogue of classical theorem of Bernstein on absolute convergence of Fourier series is proved.

Р. Ю. АМЕНЗАДЕ, А. Н. АЛИЗАДЕ, М. Б. АХУНДОВ

**ВАРИАЦИОННЫЙ ПРИНЦИП ЛАГРАНЖА ДЛЯ УПРУГОГО
ТЕЛА С РЕАКЦИЕЙ**

(Представлено академиком АН Азербайджанской ССР А. Х. Мирзаджанзаде)

В [1] предложена одномерная модель деформируемого твердого тела, в котором приложенные внешние усилия вызывают появление дополнительных внутренних напряжений. Примером такого тела, обладающего подобной реакцией, можно назвать живой организм. В указанной работе построены уравнения движения упругого и наследственно-упругого тела с реакцией и на примере задачи о продольных колебаниях стержня конечной длины выяснено влияние параметров реактивного усилия на амплитудно-частотные кривые. Следует отметить, что наличие реакции уже в одномерном случае существенно усложняет математическую природу подлежащих решению дифференциальных или интегро-дифференциальных уравнений движения. В связи с этим появляется необходимость развития приближенных решений этих уравнений. Как известно, одним из подобных эффективных методов являются вариационные методы решения. Цель настоящей работы — построение аналога вариационного функционала Лагранжа для упругой среды с реакцией. По аналогии с [1] положим, что при действии внешних усилий в теле возникает реактивное состояние, характеризуемое некоторым тензором второго ранга R^{ij} , интенсивность которого зависит от напряженного состояния в теле в момент, бесконечно близко предшествующий данному:

$$R^{ij}(t) = R^{ij}(\sigma^{mn}(t - \tau)) \quad (1)$$

В частности, здесь будем принимать линейный закон (1)

$$R^{ij}(t) = +A_{mn}^{ij}\sigma^{mn}(t - \tau), \quad (2)$$

где A_{mn}^{ij} — тензор постоянных реакций, удовлетворяющий условиям симметрии

$$A_{mn}^{ij} = A_{mi}^{nj} = A_{nm}^{ij} = A_{ni}^{mj}$$

В этом случае тензор истинных напряжений будет

$$\tilde{\sigma}^{ij} = \sigma^{ij} - R^{ij} \quad (3)$$

Здесь напряжения σ^{ij} связаны с деформациями законом Гука

$$\sigma^{ij} = C_{mn}^{ij}\epsilon^{mn}, \quad (4)$$

где, в свою очередь, деформации связаны с переменными зависимостями вида

$$\epsilon_{mn} = \frac{1}{2} (u_{m,n} + u_{n,m}). \quad (5)$$

Пусть на одной части поверхности тела заданы перемещения \bar{u}_r , а на другой — усилия \bar{T}^i :

$$u_i = \bar{u}_i, \quad x \in S_u \quad (6)$$

$$\sigma^{ij} n_j = \bar{T}^i, \quad x \in S_\sigma, \quad (7)$$

причем

$$S' = S_u \cup S_\sigma.$$

Уравнения движения по аналогии с [1] будут иметь вид

$$\dot{\sigma}_{ij} + \rho F^i = \rho W^i \quad (8)$$

Как известно, вариационный принцип Лагранжа предполагает потенциал упругого тела и выполненные зависимости между деформациями, перемещениями (5) и граничные условия на части поверхности, где заданы перемещения (6). Объемные силы положим равными нулю.

Составим аналог потенциала для упругого тела с реакцией (2). Прежде заметим, что для тензора истинных напряжений справедливо

$$\begin{aligned} \sigma^{ij}(t) + \sigma^{ij}(t) + R^{ij}(t) &= \sigma^{ij}(t) + A_{mn}^{ij} \sigma^{mn}(t - \tau) = \\ &= C^{ijpq} \epsilon_{pq}(t) + A_{mn}^{ij} C^{mnpq} \epsilon_{pq}(t - \tau) = \\ &= C^{ijpq} \epsilon_{pq}(t) + B^{ijpq} \epsilon_{pq}(t - \tau), \end{aligned} \quad (9)$$

где тензор четвертого ранга $B^{ijpq} = A_{mn}^{ij} C^{mnpq}$.

Зависимость истинных напряжений от перемещений будет

$$\tilde{\sigma}^{ij}(t) = \frac{1}{2} C^{ijpq} [u_{p,q}(t) + u_{q,p}(t)] + \frac{1}{2} B^{ijpq} [u_{p,q}(t - \tau) + u_{q,p}(t - \tau)] \quad (10)$$

Для малых времен запаздывания τ реакции будем иметь

$$\begin{aligned} \tilde{\sigma}^{ij}(t) &= \sigma^{ij}(t) + A_{mn}^{ij} \sigma^{mn}(t) - \tau A_{mn}^{ij} \sigma^{mn}(t) = \\ &= g_m^i g_n^j \sigma^{mn}(t) + A_{mn}^{ij} \sigma^{mn}(t) - \tau A_{mn}^{ij} \sigma^{mn}(t) = \\ &= (g_m^i g_n^j + A_{mn}^{ij}) \sigma^{mn}(t) - \tau A_{mn}^{ij} \sigma^{mn}(t). \end{aligned} \quad (11)$$

Тогда

$$\begin{aligned} \tilde{\sigma}^{ij}(t) &= (g_m^i g_n^j + A_{mn}^{ij}) C^{pqrs} \epsilon_{pq}(t) - \tau A_{mn}^{ij} C^{pqrs} \epsilon_{pq}(t) = \\ &= \frac{1}{2} E^{ijpq} [u_{p,q}(t) + u_{q,p}(t)] - \frac{1}{2} \tau B^{ijpq} [u_{p,q}(t) + u_{q,p}(t)], \end{aligned} \quad (12)$$

где

$$E^{ijpq} = (g_m^i g_n^j + A_{mn}^{ij}) C^{pqrs}.$$

Аналог потенциала для упругого тела с реакцией будет

$$\frac{1}{2} C^{ijpq} \epsilon_{pq}(t) \epsilon_{ij}(t) + B^{ijpq} \epsilon_{pq}(t - \tau) \epsilon_{ij}(t),$$

в случае же малых τ -величин $\frac{1}{2} E^{ijpq} \epsilon_{pq}(t) \epsilon_{ij}(t) - \tau B^{ijpq} \epsilon_{pq} \epsilon_{ij}(t)$.

Пусть в моменты $t = t_1$ и $t = t_2$ заданы перемещения, на части поверхности S_u заданы перемещения \bar{u}_i . Из всевозможных перемещений, удовлетворяющих приведенным условиям, те перемещения придают функционалу стационарное значение, которые удовлетворяют уравнениям движения и граничным условиям на части поверхно-

сти, где заданы усилия. Теперь функционал Лагранжа для упругого тела с реакцией будет иметь вид:

$$\begin{aligned} J = \int \int \left[\frac{1}{2} C^{ijpq} \epsilon_{pq}(t) \epsilon_{ij}(t) + B^{ijpq} \epsilon_{pq}(t - \tau) \epsilon_{ij}(t) - \right. \\ \left. - \frac{1}{2} \rho \frac{\partial u_i}{\partial t} \frac{\partial u^i}{\partial t} \right] dV dt - \int_{t_1}^{t_2} \int_{S_\sigma} \bar{T}^i u_i dS dt. \end{aligned} \quad (13)$$

Варьируемыми величинами являются перемещения $u_i(t)$ в данный момент времени; следует оговорить, что перемещения $u_i(t - \tau)$ не варьируются.

Докажем вариационный принцип (13). Для этого варьируя (13) по u_i , получим:

$$\begin{aligned} \delta J = \int \int \left\{ - [C^{ijpq} \epsilon_{pq}]_{,i} \delta u_j - [B^{ijpq} \epsilon_{pq}(t - \tau)]_{,i} \delta u_j + \right. \\ \left. + \rho \frac{\partial^2 u^i}{\partial t^2} \delta u_i \right\} dV dt + \int \int [C^{ijpq} \epsilon_{pq}(t) n_i \delta u_j + \\ + B^{ijpq} \epsilon_{pq}(t - \tau) n_i \delta u_j] dS dt - \left[\int_V \rho \frac{\partial u^i}{\partial t} \delta u_i dV \right]_{t_1}^{t_2} - \int_{t_1}^{t_2} \bar{T}^i \delta u_i dS dt \end{aligned} \quad (14)$$

Используя основную лемму вариационного исчисления и условия, накладываемые на варьируемые величины, имеем следующие уравнения Эйлера

$$[C^{ijpq} \epsilon_{pq}(t) + B^{ijpq} \epsilon_{pq}(t - \tau)]_{,i} = \rho \frac{\partial^2 u^i}{\partial t^2}, \quad x \in V \quad (15)$$

$$[C^{ijpq} \epsilon_{pq}(t) + B^{ijpq} \epsilon_{pq}(t - \tau)] n_i = \bar{T}^i, \quad x \in S_\sigma \quad (16)$$

Уравнение (15) является уравнением равновесия, а (16) — представляет собой граничные условия на S_σ , что и доказывает принцип Лагранжа.

В заключение приведем вид функционала Лагранжа (13) для малых величин времени запаздывания τ :

$$\begin{aligned} J = \int_{t_1}^{t_2} \int_V \left[\frac{1}{2} E^{ijpq} \epsilon_{pq}(t) \epsilon_{ij}(t) - \tau B^{ijpq} \epsilon_{pq}(t) \epsilon_{ij}(t) - \right. \\ \left. - \frac{1}{2} \rho \frac{\partial u_i}{\partial t} \frac{\partial u^i}{\partial t} \right] dV dt - \int_{t_1}^{t_2} \int_{S_\sigma} \bar{T}^i u_i dS dt \end{aligned} \quad (17)$$

Заметим, что здесь также варьируемыми величинами являются перемещения $u_i(t)$, но не $\dot{u}_i(t)$, хотя выражение кинетической энергии в (17) варьируется. Доказательство вариационного принципа (17) аналогично приведенному выше.

Литература

Ахундов М. Б., Работнов Н. Ю., Суворова Ю. В. — Изв. АН СССР, № 6, 1985, с. 96—100.

Азербайджанский государственный
университет им. С. М. Кирова

Поступило 15. II 1988

Р. Ю. Эмэнзадэ, А. Н. Элизадэ, М. Б. Ахундов
ЭКС ЧАВАБЛЫ ЧИСИМ УЧУН ЛАГРАНЖЫН ВАРИАСИЯ
ПРИНЦИПИ

Мөгаләдә биология актив мүниттүү учун Лагранж принципиниң аналогу гурулуб. Төсүр сөзүн харичи гүвә мүниттә экс чавабдан яратып өзөв көркөнликтүү сабактар даир.

P. Yu. Amenzade, A. N. Alyzade, M. B. Akhundov
VARIATIONAL LAGRANGE PRINCIPLE FOR THE
ELASTIC BODY WITH THE REACTION

The Lagrange principle analogy for the biology active environment is given in this article. The acting external force creates the supplementary strain field.

АЗЭРБАЙЧАН ССР ЕЛМЛӘР АКАДЕМИЈАСЫНЫН МӘРҮЗӘЛӘРИ

ДОКЛАДЫ АКАДЕМИИ НАУК АЗЕРБАЙДЖАНСКОЙ ССР

ТОМ XLIV ЧИЛД

№ 9

1988

УДК 621. 315. 592

ФИЗИКА ПОЛУПРОВОДНИКОВ

З. А. ИБРАГИМОВ, Ф. .. МИРЗОЕВ, чл.-корр. АН АзССР Ч. О. КАДЖАР

СТРУКТУРНЫЕ ОСОБЕННОСТИ ТЕРМООБРАБОТАННЫХ
ВАНАДИЕВОТЕЛЛУРИТНЫХ СТЕКОЛ

Ванадиевотеллуритные стекла образуют пространственно неупорядоченные тетра- и октаэдрические решетки относительно разновалентных катионов ванадия и теллура, в узлах которых расположены анионы кислорода. Наличие в этих материалах магнитных ионов и локализованных носителей заряда ($3d$ электронов ионов V^{4+}), а также существование обменного взаимодействия и структурных вакансий обуславливает ряд интересных физико-химических свойств, делающих их пригодными для практического применения [1, 2].

Стабильность характеристик полупроводниковых стекол, содержащих в своем составе d -переходные элементы, в основном зависит от неизменности ближнего окружения парамагнитных ионов, поэтому воздействие таких внешних факторов как температура, радиационное излучение, механическая обработка и т. д. на стекла можно проследить методом ЭПР спектроскопии. Для определения влияния термообработки на структурные, энергетические параметры и концентрацию парамагнитных центров получены материалы с изменением n через каждые 5 мол. % из системы стекол $n V_2O_5$ (100— n) TeO_2 в интервале n , от 95 до 5 мол %. Синтез осуществлялся в электрической печи при температуре 1400 К в фарфоровом тигле, из исходных реагентов V_2O_5 и TeO_2 маркой «чда» и «ч» соответственно. Скорость охлаждения расплава составляла ~ 15 град/с. Рентген-дифрактометрические измерения на установке ДРОН-2 показали, что полученные материалы с содержанием V_2O_5 70 мол. % включительно являются кристаллическими, а до 5 мол. % V_2O_5 — стеклообразными.

Отжиг образцов производился в течение 4 ч при температурах 470, 670, 870, К, а для составов с $n = 85$ и 30 мол. % — еще и в течение 30 мин при 1070 К. После каждого режима термической обработки производились рентгенодифрактометрические измерения и было выявлено, что отжиг данных стекол не создает в структуре дальнего порядка.

В стеклах, подверженных термической обработке, как и в исходных стеклах [1], при температурах 77 и 300 К наблюдается СТС спектров ЭПР нечетного изотопа V^{51} четырехвалентного иона ванадия ($S = \frac{1}{2}, S = \frac{7}{2}$). Анализ спектров ЭПР показал, что отжиг стекол при 470 К в течение 4 ч не приводит к изменению параметров линии поглощения и концентрации парамагнитных центров (рис. 1, 1; рис. 2, 1). Стекла, выдержанные в течение 4 ч при 670 и 870 К по парамет-

рам спин-гамильтониана (СГ), существенно отличаются от исходных (рис. 1), хотя число сверхтонких (СТ) компонентов спектров ЭПР остается неизменным. При наличии анизотропии внутрикристаллического поля по отношению к внешнему полю в местонахождении четырехвалентных ионов ванадия в стекле.

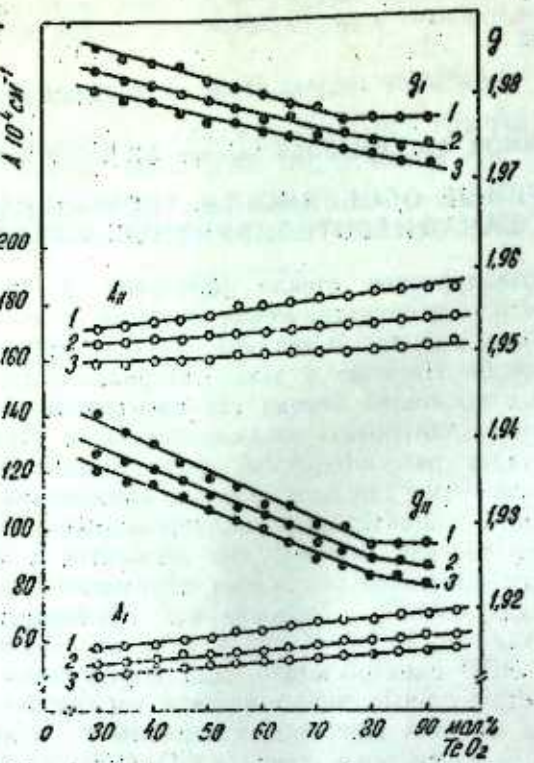


Рис. 1. Зависимость значений g_{\parallel} , g_{\perp} и A_{\parallel} , A_{\perp} от температуры отжига для стекол системы V_2O_5 — TeO_2 : 1 — при 470 К; 2 — 670 К; 3 — 80 К

четырехвалентных ионов ванадия в матрице стекла теоретически должны наблюдаться 16 сверхтонких компонент, обусловленных электронно-ядерным взаимодействием, 8 из которых соответствуют параллельным и 8 — перпендикулярным проекциям вдоль приложенного поля [3].

Подстановка экспериментально найденных нами значений параметров спин-гамильтониана для ванадиевотеллуритовых стекол, подвергшихся термической обработке (рис. 1), в следующие уравнения [4]:

$$H_{\parallel}(m) = H_{\parallel}(0) - A_{\parallel} \cdot m - \frac{A}{2H_{\parallel}(0)} \left(\frac{63}{4} - m^2 \right)$$

$$H_{\perp}(m) = H_{\perp}(0) - A_{\perp} \cdot m - \frac{(A_{\parallel} + A_{\perp})^2}{4H_{\perp}(0)} \left(\frac{63}{4} - m^2 \right)$$

показывает, что $H_{\parallel}\left(+\frac{1}{2}\right)$ с $H_{\perp}\left(-\frac{1}{2}\right)$ и $H_{\parallel}\left(+\frac{3}{2}\right)$ с $H_{\perp}\left(+\frac{5}{2}\right)$

практически находятся при одном и том же значении приложенного внеш-

него поля. Здесь: m — ядерное магнитное квантовое число V^{4+} со значениями $\pm \frac{7}{2}$; $\pm \frac{5}{2}$, $\pm \frac{3}{2}$, $\pm \frac{1}{2}$; $H_{\parallel}(0) = \frac{\hbar v}{g_{\parallel} \beta}$ и $H_{\perp}(0) = \frac{\hbar v}{g_{\perp} \beta}$, где β — магнетон Бора, v — частота излучения, g_{\parallel} , g_{\perp} — компоненты g -тензора, A_{\parallel} и A_{\perp} — компоненты анизотропного тензора сверхтонкого взаимодействия в единицах магнитного поля.

В кристаллических образцах с уменьшением содержания V_2O_5 в интервале 95 до 75 мол. % наблюдается синглетное диполь-дипольно уширенная линия поглощения ЭПР, ширина которой увеличивается от $115/10^{-4}$ до $140/10^{-4}$ см⁻¹, причем с ростом температуры отжига значение ΔH уменьшается приблизительно на 5 %. При $n = 95$ мол. % линия поглощения симметрична, а с уменьшением содержания V_2O_5 появляется асимметрия, связанная, очевидно, с присутствием анизотропии в структуре материала. Этот факт свидетельствует, что уменьшение содержания V_2O_5 создает благоприятное условие для стеклообразования. Эффективное значение g -фактора в этих составах с уменьшением n , уменьшается от 1,988 до $1,983 \pm 0,002$, причем с ростом температуры отжига наблюдается некоторое повышение значения g -фактора, что свидетельствует об увеличении ковалентности связей V—O.

Используя соотношения между параметрами СГ [5] установлено, что в термообработанных полупроводниковых ванадиевотеллуритовых стеклах (рис. 1), обладающих электронным типом проводимости, как и в стеклах без термообработки [1], четырехвалентные ионы ванадия находятся в октаэдрическом окружении атомов кислорода, претерпевающем тетрагональное искажение. Основываясь на схеме расщепления d -энергетического уровня ионов V^{4+} и метода расчета значений g -тензора, учитывающего возмущения второго порядка, вычислены отношения $\Delta_{\perp}/\Delta_{\parallel}$, характеризующие меру отклонения от октаэдричности ближнего окружения комплексов ванадила [6, 7]. Расчеты показали, что с ростом содержания TeO_2 и температуры отжига значения $\Delta_{\perp}/\Delta_{\parallel}$ уменьшаются (рис. 2), что свидетельствует об уменьшении отклонения от октаэдричности ближнего окружения комплексов VOO_4O . Действительно, этот результат показывает, что термообработка приводит к упорядочению и симметризации ближнего окружения парамагнитных ионов [8, 9].

Из решения системы уравнений, определяющей значения параллельной и перпендикулярной компонент сверхтонкого тензора [10, 11], рассчитаны параметры P , характеризующие расстояние между ядром и 3d'-электронами ионов V^{4+} , k -контактный член, описывающий взаимодействие неспаренных электронов, находящихся в 3d' и 4s'-электронных конфигурациях, r_{pk} — аномальный вклад непосредственно 3d' электронов в значения компонентов A -тензора (рис. 3). Величины k и r_{pk} с ростом содержания стеклообразователя TeO_2 в системе стекол V_2O_5 — TeO_2 растет, а повышение температуры отжига приводит к их уменьшению. Компоненты, определяемые по формулам $|A_{\parallel}| = A_{\parallel} - PK$ и $|A_{\perp}| = |A_{\perp} - PK|$ отражают вклад только неспаренных s-электронов на значение A -тензора. Как видно на рис. 3, рост содержания стеклообразователя приводит к уменьшению перекрывания электронных орбит 3d'-электронов ионов V^{4+} с лигандами, а повышение температуры отжига к ее усилению [12]. Уменьшение значений P показывает, что с

ростом температуры отжига расстояние между ядром ванадия и неспаренным $3d$ -электроном увеличивается. Величина $P = 2\gamma\beta n < d_{xy}$

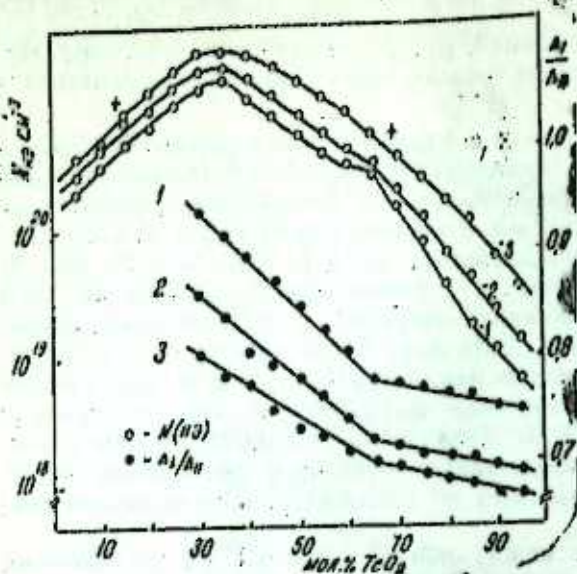


Рис. 2. Зависимость Δ_1/Δ_2 и концентрации неспаренных электронов от состава и термообработки: 1 — при 470 К; 2 — 670 К; 3 — 870 К

$/r^{-3}/d \times y >$ здесь γ — гиromагнитное отношение для ванадия, β — β_n -магнетон Бора и ядерный магнетон соответственно. Этот результат хорошо согласуется с измерениями электропроводности, так как $3d$ -электроны ванадия при возбуждении являются электронами проводи-

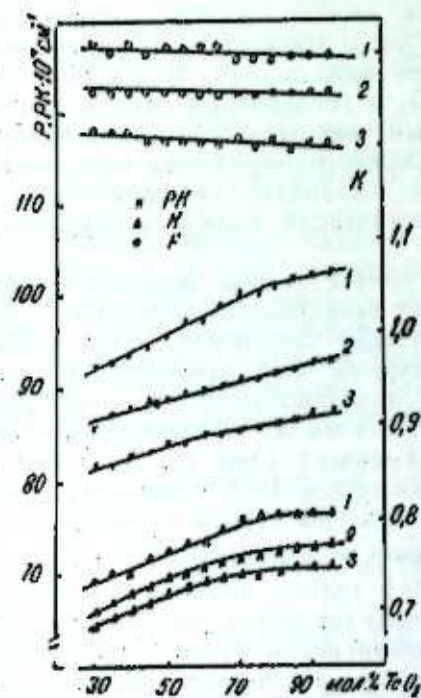


Рис. 3. Значения P , PK и K для стекол, подвергнутых термообработке

мости. У стекол, подвергнутых термообработке в зависимости от состава увеличивается электропроводность на один, два порядка в зависимости от состава, вследствие облегчения перескокового перехода $3d$ электронов от ионов V^{4+} к V^{6+} [1].

Определена концентрация $3d$ электронов в зависимости от состава стекол системы V_2O_5 — TeO_2 (рис. 2). Наблюдано, что второй максимум, ранее обнаруженный вблизи состава 35 V_2O_5 —65 TeO_2 , исчезает. Это явление по-видимому связано с тем, что образование соединение дителлурита ванадия [14], в процессе термообработки выше 670 К — разрушается. Разумно предположить также, что за увеличение концентрации V^{4+} с ростом температуры отжига во всех составах соответственно увеличение вероятности вылета кислорода из матрицы стекол.

В заключение следует отметить, что сопоставлением существующих экспериментальных данных и результатов наших исследований установлено, что теллуритные стекла обладают меньшей кристаллизационной способностью, чем фосфатные, силикатные и боратные.

Литература

- Иманов Л. М., Ибрагимов З. А. — Докл. АН АзССР, 1981, т. 37, № 2, с. 27.
- Каджар Ч. О., Ибрагимов З. А. Материалы Всесоюзн. конф. Стеклообразные полупроводники. — Л., 2—5 октября 1985, 219.
- Иманов Л. М., Ибрагимов З. А. Отчет Б. № 770997, ВИНИТИ, 1978. — 8 с. 4. Альтгидлер С. А., Козырев Б. М. ЭПР соединений элементов промежуточных групп. — М.: Наука, 1972. — 672 с. 5. Gladney H. M., Swalen J. D. — J. chem. Phys., 1965, 42, 1999. 6. Hochstrasser G. — Phys. Chem. Glass, 1900, 7, 178. 7. Kivillson D., Lee S. K. — J. Chem. Phys., 1964, 41, 1896. 8. Гарифьянов И. С., Токарева Л. В. ФТТ т. 6, 1964, 1453, вып. 5. 9. Каджар Ч. О., Ибрагимов З. А., Рагимова Р. А., Мирзоев Ф. Г. Материалы Всесоюзн. конф. Стеклообразные полупроводники. — Л., 2—5 октября 1985. 10. Марен И. Н., Дубров Ю. Н., Беляева В. К., Ермаков А. Н. — Журн. неорг. химии, 1972, 17, 2666. 11. Harry G., Stewens K. W. H. — Rep. Prog. Phys., 1963, 16, 108. 12. Ибрагимов З. А., Каджар Ч. О. — Изв. АН АзССР серия физ.-техн. и матем. наук, 1983, № 2, 79. 13. Kivillson D., Neiman R. — J. Chem. Phys., 1961, 32, 149. 14. Иманов Л. М., Ибрагимов З. А. — Докл. АН АзССР, 1978, т. 34, № 1, 13. 15. Харьюзов В. А., Яхкинд А. К. Стеклообразные состояния, 1970, т. V, вып. 1, ст. 41.

Поступило 18.1.1988

Институт физики АН АзССР

З. А. Ибрагимов, Ф. Г. Мирзоев, Ч. О. Гачар

ТЕРМИК ИШЛЭНМİŞ ВАНАДИУМ-ТЕЛЛҮР ШУШӘЛӘРИНИН ГУРУЛУШ ХҮССҮСИЛЛЕТЛӘРІ

Теллурит шүшәләринин техники чөйөтән ярапалык көстәричеси олар кристаллашма габиляләттән тә'јин етмок учып иккى компонентті V_2O_5 (100— n) TeO_2 системинде n 5 мол %-деңгешмаклә синтез едилмиш, шүшәләрни ЭПР спектрлари тәдгиг-едилмишdir. Бүтүн нұмудалар 4 сантиммуттанды 470, 670 және 870 К температураларда термик ишләнмешdir. Аксенал симметриялык спин-хамилтониан параметрләринин гијматларни асасын мұаффан едилмишdir ки, термик ишләмә бу шүшәләрде дөрдвалентли ванадиум ионларының яхшы әнатосинин симметрикаланасына көтирир.

Z. A. Ibragimov, F. G. Mirsoev, Ch. O. Qajar

STRUCTURAL FEATURES OF THERMALLY TREATED VANADIUM TELLURITE GLASSES

$n V_2O_5$ (100— n) TeO_2 binary system glasses synthesized in every 5 mol. % were EPR studied to determine their crystallizability as a factor of material technological utilization. Samples were annealed for 4 hours at 470, 670, and 870 K. Axial-symmetry spin Hamiltonian parameters aided in establishing that thermal treatment of the glasses resulted in symmetrization and ordering of the V^{4+} ion nearest environment.

Т. К. КАСУМОВ, Г. Д. ГУСЕЯНОВ, Ф. И. МАМЕДОВ, И. К. ГАСЫМОВ

ОТРИЦАТЕЛЬНАЯ ФОТОПРОВОДИМОСТЬ В
МОНОКРИСТАЛЛАХ AgGaSe_2

(Представлено академиком АН Азербайджанской ССР Г. Б. Абдуллаевым)

В работах [1, 2, 3] сообщалось об обнаружении в монокристаллах AgGaSe_2 инфракрасного и температурного гашения собственной фотопроводимости, сверхлинейной люксамперной характеристики, термостимулированной проводимости и т. д.

В данной работе содержатся результаты исследования впервые обнаруженной нами отрицательной фотопроводимости в этих кристаллах.

Исследования проводились на высокоомных ($\rho \leq 10^9 \Omega \cdot \text{см}$ при 300 К) монокристаллических образцах, обладающих n -типов проводимости, кристаллизующихся в структуре халькопирита (пространственная группа симметрии $\bar{4} \cdot 2 \cdot m$), полученных методом химической газотранспортной реакции, ширина запрещенной зоны 1,8 ЭВ при 77 К.

Средние размеры исследованных кристаллов составляли $1+0,5+6 \text{ mm}^3$. Полученные кристаллы имели игольчатую форму с зеркальными поверхностями. Контакты наносились втиранием расплавленного индия.

Исследования фотопроводимости были проведены по известной методике. Образцы однородно освещались линейно-поляризованным светом с использованием лампы накаливания СИ-8 и монохроматора МДР-2. Величина сигнала усиливалась электрометрическим усилителем В7-30 и регистрировалась самописцем Endim 621-02. При измерениях образцы помещались в металлический криостат, который позволяет изменять температуру от 100 до 400 К в вакууме.

На рис. 1 показаны спектральные распределения фототока, снятые при разных интенсивностях света и электрических полях в монокристаллах AgGaS_2 при 132 К. Как видно из кр. 1, с увеличением длины волны света после примесного максимума при 0,88 мкм чувствительность резко уменьшается и в области от 0,9 до 1,25 мкм наблюдается отрицательная фотопроводимость (ОФП) с максимумом при $\lambda = 1,0 \text{ мкм}$. Отметим, что ОФП получается именно в тех образцах, в которых примесный пик при $\lambda = 0,88 \text{ мкм}$ наблюдается отчетливо.

В спектральном распределении фотопроводимости того же образца при больших интенсивностях света и электрического поля ОФП исчезают и в области длины волны, где наблюдалась отрицательная фотопроводимость, появляются четко выраженные пики примесной фотопроводимости (рис. 1, кр. 2, 3).

Из рис. 1 видно, что красная граница отрицательной фотопрово-

димости, примесной фотопроводимости и инфракрасное гашение собственной проводимости [1] совпадают и равны 0,68 эВ.

Ширина запрещенной зоны AgGaSe_2 насыщена локальными уровнями с разными параметрами [4], связанные с вакансиями Ag и Se [5]. По-видимому, в запрещенной зоне AgGaSe_2 , как и в его аналогах [6], уровни верхней и нижней половин зоны взаимосвязаны, т. е. уров-

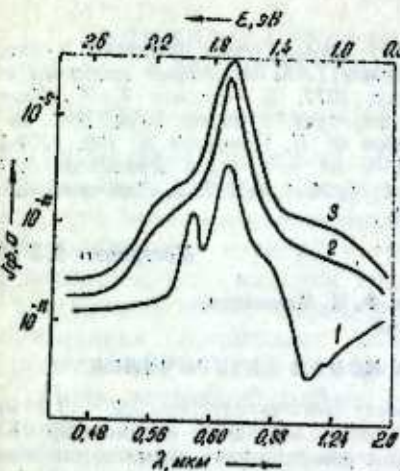


Рис. 1. Спектр фотопроводимости в монокристаллах AgGaSe_2 при 132 К:
1 — $E = 5 \text{ В/см}, L = 2 L_0$; 2 — $E = 5 \text{ В/см}, L = 26 L_0$; 3 — $E = 500 \text{ В/см}, L = 2 L_0$

ии располагаются симметрично относительно краев разрешенных зон, например, в запрещенной зоне AgGaSe_2 имеются уровни прилипания M (для основных носителей тока) и r -центры захвата (для неосновных носителей тока) (рис. 2). В AgGaSe_2 , как и в своих аналогах, r -центры в темноте заполнены электронами, M -центры только частично заполнены электронами [7]. Но при изучении фотопроводимости с увеличением длины волны света (от 0,68 до 0,90 мкм) r -центры освобождаются от электронов (наблюдается примесный пик максимумом $\lambda = 0,88 \text{ мкм}$) с дальнейшим увеличением длины волны, примесный свет поглощается уровнями прилипания r и M заполненными носителями, что приводит к переводу последних в соответствующую зону. При этом заброшенные в зону носители тока рекомбинируют через S -центры быстрой рекомбинации, другая часть повторно возвращается на уровень прилипания.

При низких интенсивностях света и электрического поля первый процесс превалирует над вторым и концентрация электронов по отно-

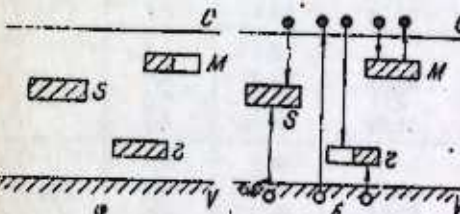


Рис. 2. Схема электронных переходов в запрещенной зоне монокристаллов AgGaSe_2 : а — термическое радиовесение; б — возможные переходы при стационарном возбуждении

шению к температурной концентрации в M -центрах уменьшается и получается отрицательная фотопроводимость (процесс аналогичен ИК-гашению собственной проводимости, только вместе фоновой концентрации электронов, основную роль играют электроны в M -центрах).

С увеличением электрического поля инжектированные электроны заполняют M -центр [4] и наблюдается примесная ФП (индуцированная примесная ФП). При высоких интенсивностях света заполнение M -центра происходит одновременно с действием примесного света (за счет повторного прилипания).

Литература

1. Гусейнов Д. Т., Касумов Т. К. — Изв. АН АзССР, серия физ.-техн. и матем. наук, 1976, № 6, с. 105.
2. Гусейнов Д. Т., Касумов Т. К. Некоторые проблемы экспериментальной и теоретической физики. — Баку, 1977.
3. Касумов Т. К., Тагиев Н. Т., Будагов В. Д. — Изв. АН АзССР, серия физ.-техн. и матем. наук, 1981, № 3, с. 63.
4. Гусейнов Г. Д., Касумов Т. К., Мамедов Ф. И. Препринт № 192, ИФАН АзССР, 1986.
5. Smith. — J de Physique, suppl., v. 36, p. 3—80.
6. Аркадьев Е. Н., Матвеев О. А., Мельников Е. В. — ФТП, 1980, т. 14, № 4, с. 722.
7. Любченко А. В., Шейикман М. К. — УФЖ, 1973, т. 18, № 1, с. 133.

Институт физики АН АзССР

Поступило 9. X 1987

Т. Г. Гасымов, Н. Ч. Гусейнов, Ф. И. Мамедов,
И. Г. Гасымов

AgGaSe₂ МОНОКРИСТАЛЛАРЫНДА МӘНФИ КЕЧИРИЧИЛИК

Илк дағы олары AgGaSe₂ монокристалларында далға узунлугунун 0,90 ± 1,20 мкм интервалында 132 к температурда мәнфи фотокечиричилик ашқар едилмишdir. Көстәрлімішdir ки, ишігүй интенсивлілігінен және электрик саңасинин артмасы иле мәнфи кечиричилик областында айдан мұшақнда еділән ашгар фотокечиричилик лиши жаралып. Мәнфи фотокечиричилигинін жаралма механизмы изан еділмишdir.

Т. К. Kasumov, G. D. Guseynov, F. I. Mamedov, I. K. Gasymov

THE NEGATIVE PHOTOCONDUCTIVITY IN THE MONOCRYSTALS AgGaSe₂

The negative photoconductivity (NPC) was found, for the first time in the wavelength region of 0.90–1.20 mkm peaks of impure conductivity appear in the region of wavelength where the NPC is observed along with the increasing of light intensity.

The mechanism of NPC formation was elucidated.

АЗӘРБАЙЧАН ССР ЕЛМЛӘР АКАДЕМИЯСЫНЫН МӘРҮЗӘЛӘРИ

ДОКЛАДЫ АКАДЕМИИ НАУК АЗЕРБАЙДЖАНСКОЙ ССР

ТОМ XLIV ЧИЛД

№ 9

1988

УДК 621. 762

ФИЗИКА ТВЕРДОГО ТЕЛА

А. Т. МАМЕДОВ

ВЛИЯНИЕ СТЕАРАТА ЦИНКА НА ФИЗИЧЕСКИЕ СВОЙСТВА ПОРОШКОВЫХ МАТЕРИАЛОВ

(Представлено академиком АН Азербайджанской ССР М. И. Алиевым)

Существует ряд путей повышения прочностных свойств конструкционных порошковых материалов. При этом было бы неверным считать, что возможности технологии однократного прессования — спекания порошковых изделий в этом плане уже исчерпаны. Так ранее [1, 2] показано, что изменяя содержание стеарата цинка ($C_nH_{2n-2}O_4Zn$) в прессуемой шихте можно управлять процессами поро- и структурообразования порошковых материалов при спекании, а следовательно и существенно изменять их прочностные свойства.

Цель настоящей работы — установить зависимости между содержанием $C_nH_{2n-2}O_4Zn$ в шихте, давлением ее прессования и физико-механическими свойствами порошкового материала ЖГрО, 8Д2Н1.

Состав изучаемого материала, методики приготовления шихты, ее прессования и спекания полностью соответствовали [1, 2]. Температу-

Зависимость пористости и дефекта массы спрессованных и спеченных образцов от содержания $C_nH_{2n-2}O_4Zn$ в шихте и давления ее прессования

Давление прессования шихты (P), МПа	Содержание $C_nH_{2n-2}O_4Zn$ в шихте, масс %	Пористость прессовок (P _{пр}), %	Пористость прессовок с учетом содержания $C_nH_{2n-2}O_4Zn$ (P _{пр}), %	Прирост пористости (ΔP _{пр}), %	Относительная погрешность (ΔP _{пр}), %	Пористость спеченных образцов (P _{сп}), %	Дефект массы образцов в процессе спекания (Δm), %
400	0,0	18,25	—	—	—	17,18	2,2
	0,5	17,30	17,70	0,4	2,3	17,43	0,595
	1,0	17,40	18,30	0,9	5,2	17,81	1,12
	1,5	17,80	19,00	1,2	6,7	18,32	1,55
600	0,0	11,03	—	—	—	10,94	1,01
	0,5	12,30	12,70	0,4	3,2	12,72	0,67
	1,0	13,90	14,70	0,8	5,8	13,74	1,12
	1,5	14,90	16,10	1,2	8,0	14,89	1,60
800	0,0	7,65	—	—	—	8,27	0,33
	0,5	10,10	10,60	0,5	5,0	10,36	0,675
	1,0	12,00	12,9	0,9	7,5	12,21	1,15
	1,5	13,90	15,10	1,2	8,6	13,87	1,63
1 000	0,0	5,86	—	—	—	7,12	0,124
	0,5	9,00	9,50	0,5	5,6	9,54	0,65
	1,0	11,10	12,05	0,95	8,6	11,58	1,12
	1,5	13,20	14,50	1,3	9,8	13,58	1,65
1 200	0,0	5,80	—	—	—	6,23	0,102
	0,5	8,00	8,50	0,5	6,2	8,65	0,67
	1,0	10,70	11,60	0,9	8,4	10,94	1,15
	1,5	13,10	14,40	1,3	9,9	13,36	1,58

ра спекания образцов была постоянная — 1150 °С, а температура точки росы эндогаза — +5—+8°. Для изучения физико-механических свойств прессовали призматические заготовки размером 10×10×55 мм, из которых после спекания вытаскивали цилиндрические образцы с рабочим диаметром 5 мм в соответствии с [3].

В таблице приведены, характеризующие зависимость пористости и дефекта массы спрессованных и спеченных образцов от содержания $C_{n}H_{2n-2}O_4Zn$ в шихте и давления ее прессования. Отметим сразу, что механизм столь существенных изменений пористости образцов в зависимости от содержания $C_{n}H_{2n-2}O_4Zn$ подробно объяснен в [2]. В данной работе новым представляется выявление постоянства прироста пористости прессовок за счет $C_{n}H_{2n-2}O_4Zn$ не зависящего от давления прессования шихты в широком диапазоне давлений 400—1200 МПа. Расчет прироста пористости и относительной погрешности определения пористости прессовок без учета содержащегося в них $C_{n}H_{2n-2}O_4Zn$ производился по формулам:

$$\Delta P_{\text{пр}} = P_{\text{пр}}^1 - P_{\text{пр}} \quad (\text{абс. \%}) \quad (1)$$

$$\delta P_{\text{пр}} = \Delta P_{\text{пр}} / P_{\text{пр}} \cdot 100\% \quad (2)$$

$$P_{\text{пр}}' = \left(1 - \frac{m'}{V}\right) \cdot 100\% \quad (4)$$

$$m' = m \left(1 - \frac{c}{100}\right),$$

где: $P_{\text{пр}}$ — общая пористость прессовок, %;

$P_{\text{пр}}'$ — расчетная общая пористость прессовок с учетом содержания $C_{n}H_{2n-2}O_4Zn$ в шихте, %;

$\Delta P_{\text{пр}}$ — расчетный прирост пористости прессовок за счет содержания $C_{n}H_{2n-2}O_4Zn$ в шихте, %;

$\delta P_{\text{пр}}$ — относительная погрешность определения пористости прессовок;

m — масса прессовки, г;

m' — масса прессовки без $C_{n}H_{2n-2}O_4Zn$, г;

V — объем прессовки, см³;

c — содержание $C_{n}H_{2n-2}O_4Zn$ в шихте, %.

Постоянство прироста пористости прессовок за счет $C_{n}H_{2n-2}O_4Zn$ при различном содержании последнего в шихтах (0,5; 1,0; 1,5%) не зависито от давления прессования, свидетельствует об эффективном уплотнении и текучести его самого в процессе прессования. Иными словами, $C_{n}H_{2n-2}O_4Zn$, имея высокую дисперсность в исходном виде, может уплотняться при прессовании до компактного состояния, а основная масса его, вытесняясь из зон контакта металлических частиц, располагается во внутриструктурных порах и в порах уже сформованной прессовки.

Достаточно точное соответствие прироста пористости прессовок ($\Delta P_{\text{пр}}$), определенное как абсолютная систематическая погрешность, заданному содержанию $C_{n}H_{2n-2}O_4Zn$ в шихте позволяет ввести поправку постоянное слагаемое (a), при расчете общей пористости прессовок и не сложным путем свести к минимуму относительную погрешность ее определения

$$P_{\text{пр}} = \left(1 - \frac{d}{d_k}\right) \cdot 100 + a, (\%), \quad (5)$$

где: d — плотность прессовки, г/см³;

d_k — плотность компактного материала прессовок, не содержащего $C_{n}H_{2n-2}O_4Zn$, г/см³;

$$a \approx 0,8 \text{ с. \%}.$$

Заметим здесь, что относительная погрешность определения пористости прессовок, без учета содержания $C_{n}H_{2n-2}O_4Zn$ в них тем больше, чем выше его содержание и чем выше достигаемая плотность прессовок.

Образцы из шихты без $C_{n}H_{2n-2}O_4Zn$ при спекании имеют тем меньший дефект массы, чем выше давление прессования. Это говорит о лучшей вентиляции при спекании высокопористых образцов защитным газом, а следовательно о их более эффективном восстановлении. Судя по данным таблицы, дефект массы прессовок из шихт со стеарином цинка в основном происходит за счет этого продукта, удалившегося в процессе спекания и уже не зависит от пористости прессовок. Понятно, наличие в прессовке $C_{n}H_{2n-2}O_4Zn$ подавляет процесс восстановления порошкового металла при его спекании за счет избыточного давления в объемной сетке поровых каналов, что может отрицательно сказываться на комплексе механических свойств последнего.

Литература

- Гайдаров В. А., Мамедов А. Т. Влияние стеарата цинка на свойства порошковых изделий. — Порошковая металлургия, 1987, № 8, с. 41—47.
- Дорофеев Ю. Г., Гайдаров В. А., Мамедов А. Т. Особенности получения порошковых материалов конструкционного и антифрикционного назначения. Порошковая металлургия, 1987, № 9, с. 51—56.
- ГОСТ 1497—84. Металлы. Методы испытания на растяжение. Введение. I. 1986.

ПО «Баккондиционер»

Поступило 16. XII 1987

А. Т. Мамедов

СИНК-СТЕАРАТЫН ОВУНТУ МАТЕРИАЛЛАРЫНЫН ФИЗИКИ ХАССАЛЭРИНЭ ТӘСИРИ

Синк-стеаратын овунту шихтасында мигдары, шихтэни пресләмә тәжиги вә алышан овунту нүмүнәләриниң физики хассасында асылылыг єрзинмишdir. Бу мигдарда дәмірласылы мис, никел вә графитде лекирләнниш чох компонентти ЖГрO , 8ДНІ шихтадан истифада едилмишdir. Шихтада синк-стеаратын мигдары 0-1,5%, онун пресләмә тәжиги 400-1200 МПа, алышыны посташларын бишмә температуралыса 1150°C олмушdur. Пресләмә нидравлик преседа, бишширилма иса конвејер тишли ендөгәз мүнтиңде ишилән собада апарылышында.

Тәдигатдан айдын олмушdur ки, гатышыгда синк-стеаратын тәркиби артдыгча нүмүнәләрниң месамәлилији да артыр. Өзү дә бу артым демек олар ки, сабит характер дашијыр. Кестәрләмийидир ки, овунту нүмүнәләриниң месамәлилијини тә'жиңи едән мөвчүд ДУИСТ бу асас шәрти изәрә алмыр. Анарылмыш тәдигатын көмәји да синк-стеаратын «чиј» нүмүнәләрин месамәлилијине тә'сирини изәрә алан эмсал тапылыш вә месамәлији дағы дәгиг тә'жиңи едән және дүстүр верилмишdir.

А. Т. Mamedov

THE INFLUENCE OF ZINC STEARATE ON PHYSICAL PROPERTIES OF POWDER SINTERED MATERIALS

The author studies physical properties of steel GrO , 8Д2Н1 sample dependences on zinc stearate content in powder sintering mixture and compacting pressure. It is shown that the changes of zinc stearate in powder sintering mixture in scope 0—1.5% have the influence on porosity of extrusion billets and mass defect of sintered samples. The constancy of porosity extrusion billets at the expense of zinc stearate under different content of zinc stearate in powder sintering mixture (0.5; 1.0; 1.5%) is observed. Taking as a basis experimental data, the coefficient considering the increment of porosity compaction at the expense of zinc stearate is determined and the new formula to find sample porosity is suggested.

ХИМИЯ НЕФТИ

Ф. И. САМЕДОВА, Б. М. АЛИЕВ, М. Ф. МИР-БАБЛЕВ, А. И. ГАСАНОВ

СОСТАВ И СТРУКТУРА НАФТЕНО-ПАРАФИНОВЫХ
УГЛЕВОДОРОДОВ ИЗ ОСТАТКОВ АЗЕРБАЙДЖАНСКИХ НЕФТЕЙ

(Представлено академиком АН Азербайджанской ССР Т. Н. Шахтахтиным)

Ввиду сложности состава и строения углеводородные компоненты высококипящих остаточных фракций нефти мало изучены. Особенно слабо исследованы нафтено-парафиновые углеводороды (НПУ). Сопоставительное изучение природы НПУ — наиболее трудно исследуемой части остатков нефти может явиться одним из путей выявления информации о генезисе нефти. Цель настоящей работы — определить состав и структуру НПУ, выделенных из остатков типичных нефтей Азербайджана, концентрация которых, во взятых на исследование нефтях, колеблется от 20 до 75 %.

Сортовые нефти месторождений Сангачалы-море, б. Лам, Нефтяные Камни, б. Дарвина, 28 Апреля, сурханская отборная и балаханская масленая разгоняли на узкие 50°-ные фракции и остатки, выкипающие выше 450°C на аппарате АРН-2 по ГОСТу 11011—64. Нефтяные остатки (выше 450°C) после деасфальтенизации по ГОСТу 11244-76 подвергали разделению на насыщенную (нафтено-парафиновую) и ароматическую части адсорбционной хроматографией на силикагеле АСК и активированной Al_2O_3 . Элементный состав полученных НПУ определяли на анализаторе Perkin — Elmer-240. Средние молекулярные массы НПУ измеряли методом криоскопии в нафталине при концентрации анализируемого вещества 0,25 мас. %. Спектры ПМР для НПУ, растворенных в CCl_4 , снимали на спектрометре BS 487C «TESLA» при 80МГц с использованием гексаметилдисилоксана в качестве внутреннего стандарта. Структурно-групповые параметры средних молекул обозначены и рассчитаны по методике, описанной в работе [1].

Молекулярная масса НПУ, выделенных из остатков, колеблется от 446 до 668 а. е. м., содержание углерода до 86,3, водорода до 14,2 масс. %. В состав молекул НПУ из остатков нефтий Сангачалы-море, б. Лам, б. Дарвина и балаханская масляная входит незначительное количество серы — до 0,19 масс. % (табл. 1).

Структуры молекул НПУ были идентифицированы методом спектроскопии ПМР. В табл. 2 приводятся рассчитанные структурно-групповые параметры, которые на наш взгляд, характеризуют некую усредненную молекулу, наиболее полно отражающую состав изученных компонентов. В спектрах ПМР всех изучаемых НПУ проявляются сигналы, соответствующие протонам следующих групп: метильных (H_3) в области 0,5—1,0 м. д. (в δ -шкале) и метилен-метиновых (H_β), находя-

Таблица 1

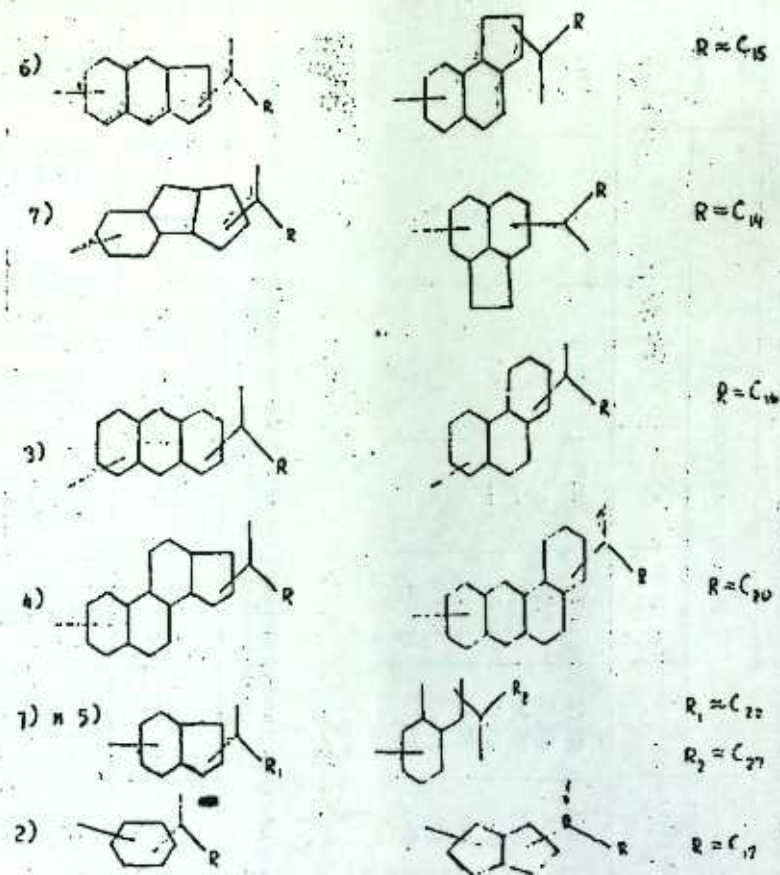
№ п.п.	Месторождение нефти	Молекулярная масса, а. е. м.	Элементный состав, мас. %				(Н/C) атом.	Эмпирическая формула средней молекулы $C_n H_{2n+2} S_4$
			C	H	N	S		
1	Сангачалы-море	560	85,75	14,12	—	0,13	1,95	$C_{40,0} H_{8,3} S_{0,02}$
2	б. Лам	446	85,70	14,21	—	0,09	1,97	$C_{31,8} H_{6,27} S_{0,01}$
3	Нефтяные Камни	540	86,30	13,70	—	—	1,89	$C_{38,8} H_{7,32} S_{0,04}$
4	б. Дарвина	668	86,17	13,64	—	0,19	1,88	$C_{17,9} H_{9,02} S_{0,04}$
5	28 Апреля	638	85,80	14,20	—	—	1,96	$C_{45,6} H_{8,2,7}$
6	Сурханская отборная	480	86,23	13,77	—	—	1,90	$C_{34,5} H_{6,5,4}$
7	Балаханская масляная	460	85,12	13,80	—	0,08	1,91	$C_{33,0} H_{6,2,9} S_{0,01}$

Таблица 2

№ п.п.	Месторождение нефти	H_β	H_3	C_4	C_n	C_3	C_1	C_{11}	C_{11}^* %	C_{3n}	K_n	X_3
1	Сангачалы-море	50,7	27,6	9,1	30,9	9,2	30,8	7,3	22,8	77,2	21,7	1,85
2	б. Лам	40,9	21,8	7,6	24,2	7,3	23,9	7,1	23,9	76,1	16,9	1,45
3	Нефтяные Камни	49,2	24,0	14,3	24,5	30,8	8,0	36,9	63,1	63,1	16,4	1,67
4	б. Дарвина	58,9	32,8	16,6	31,3	37,0	10,9	34,6	65,4	34,6	20,4	3,20
5	28 Апреля	58,8	30,9	8,7	36,9	35,3	10,3	19,1	80,9	26,6	17,5	1,59
6	Сурханская отборная	44,5	20,9	12,8	21,7	27,5	7,0	37,1	62,9	14,7	2,80	1,66
7	Балаханская масляная	42,44	20,5	—	—	—	—	—	35,8	64,2	14,4	2,55

щихся в циклических (насыщенных) и парафиновых цепях, поглощающих в области 1,0—2,0 м. д. Эти спектры заметно различаются по относительной интенсивности резонансного поглощения протонов отдельных видов.

Как видно из табл. 2, доля атомов С в нафтеновых структурах ($C_{n\%}$) для молекул НПУ из различных нефтей отличается. Для НПУ из остатков нефтей как месторождений (суша): Сураханская отборная и балаханская масляная, так и морских месторождений: Нефтяные



Средние структуры молекул НПУ из остатков различных нефтей (нумерация сохранена такая же, как в таблицах)

Камни и б. Дарвина величина ($C_{n\%}$)-доля атомов С в нафтеновых структурах близка и составляет от 34,6 до 37,1% от общего числа всех атомов С. Для указанных нефтей характерна и высокая цикличность усредненных молекул $K_n = 2,5 \div 3,8$ (см. рисунок):

Несмотря на то, что нефти Сангачалы-море, б. Лам и 28 Апреля по содержанию парафина резко различаются, в молекулах НПУ, выделенных из остатков указанных нефтей, доля углеродных атомов в алифатических структурах близка и составляет 76—81% при невысокой цикличности ($K_n = 1,45 \div 1,85$).

Сопоставление величин C_n и C_t , молекул НПУ (табл. 2) для всех рассматриваемых нефтей показывает, что они состоят из длинных, но слаборазветвленных цепей.

Более полная оценка степеней разветвленности алифатических цепей и замещенности нафтеновых циклов подсчитывается отношением $X_B = H_B/C_B$. Величины X для НПУ из всех остатков изменяются в узких пределах 1,59—1,67, что указывает на их структурную близость, при этом повышение количества конденсированных нафтеновых циклов, их замещенности и разветвленности заместителей приводят к уменьшению значения X_B . Наиболее разветвленные парафиновые цепи и конденсированные нафтеновые циклы характерны для молекул НПУ из остатков нефти б. Дарвина, Нефтяные Камни, сураханская отборная и балаханская масляная ($X_B = 1,59 \div 1,62$), что согласуется с найденными для них несколько увеличенными количествами конденсированных нафтеновых колец.

Анализ полученных результатов по составу и структуре молекул исследуемых НПУ показал, что независимо от расположения месторождения (суша или море) на структуру НПУ, выделенных из остатков, влияет в основном глубина залегания нефтей, т. е. молекулы НПУ, выделенные из остатков глубокопогруженных нефтей (Сангачалы-море, б. Лам и 28 Апреля — глубина залегания более 3500 м), содержатmono- и бициклические структуры. А для молекул НПУ из остатков менее погруженных нефтей (Нефтяные Камни, б. Дарвина, сураханская отборная и балаханская масляная — глубина залегания до 1500 м) характерны трициклические и тетрациклические (б. Дарвина) структуры. Изучаемые НПУ представлены циклопентановыми и циклогексановыми кольцами, суммарное число которых в усредненной молекуле составляет от 1 до 4. При наличии в молекулах нескольких насыщенных колец, последние, в большинстве своем сконденсированы в единий полициклический блок.

Таким образом, установлен химический состав и структура НПУ, выделенный из тяжелых остатков азербайджанских нефтей. Показано, что молекулы НПУ характеризуются слабой разветвленностью удлиненных парафиновых цепей и отличаются по цикличности нафтеновых структур. На основе полученных экспериментальных данных составлены гипотетические структуры для молекул НПУ, суммарное количество нафтеновых колец в которых колеблется от 1 до 4. Замечено, что на структуру рассматриваемых НПУ влияет глубина залегания исходных нефтей, независимо от их расположения.

Литература

Камынов В. Ф., Головко А. К., Юдина Н. В. — Труды института химии нефти СО АН СССР. — Томск, 1983, с. 83—91.

Институт нефтехимических процессов им. Ю. Г. Мамедалиева АН АзССР

Поступило 9. X 1987

Ф. И. Самедова, Б. М. Элиев, М. Ф. Мирбабаев, А. И. Йасенов

АЗЭРБАЙЧАН НЕФТЛЭРИНИН ГАЛЫГЛАРЫНДАН АЛЫНЫШ НАФТЕН ПАРАФИН КАРБОНИДРОКЕНЛЭРИНИН ТЭРКИБИ ВЭ ГУРУЛУШУ

Магадэ Азэрбајҹан нефтләринин агыр галыгларындан ајрылмыш нафтен-парафин карбонидрокенләринин (НПК) төркіб вэ гурлушуны єзрәмәјә наср одунмушдур. Алын-

мыш экспериментал мәлumatлар осасында нафтен һалғаларинин үмуми сағы 1-дән 4 гадәр дәйниән НПК молекулларының һигиетик гурулушлары то'жин едилемешдә Гејд олумышшур ки, наисы саһнәрда јерлашмасынан асылы олмајараг, бахылан НПКның гурулушларына башланғыч нефтәрик дәрнилик ятмы тә'сир едир.

F. I. Samedova, B. M. Aliyev, M. F. Mir-Babayev, A. I. Gasanov

COMPOSITION AND STRUCTURE OF NAPHTHENE-PARAFFIN HYDROCARBONS FROM AZERBAIJAN OILS RESIDUES

The composition and structure of naphthalene-paraffin hydrocarbons (NPH) extract from heavy residues of Azerbaijan oils are studied in the article. Hypothetical structures of naphthalene-paraffin hydrocarbon molecules with total number of naphthenic rings in a range of 1 to 4 are established on the basis of experimental data.

It is noted that the NPH structure is influenced by the depth of crude oils occurrence independent of their location.

АЗЭРБАЙЧАН ССР ЕЛМЛӘР АКАДЕМИЈАСЫНЫН МӘРУЗӘЛӘРИ

ДОКЛАДЫ АКАДЕМИИ НАУК АЗЕРБАЙДЖАНСКОЙ ССР

ТОМ. XLIV ЧИЛД

№ 9

1988

УДК 541.127

ХИМИЯ НЕФТИ И НЕФТЕХИМИЧЕСКИЙ СИНТЕЗ

А. Т. ШАХТАХТИНСКАЯ, И. М. МАРДАНОВА, З. М. МАМЕДОВА,
Ф. М. АЛИЗАДЕ, Ю. А. ПАНТЕЛЕЕВА

**ФИЗИКО-ХИМИЧЕСКИЕ И КАТАЛИТИЧЕСКИЕ СВОЙСТВА
ОКСИДНЫХ ВАНАДИЙСОДЕРЖАЩИХ СИСТЕМ
В РЕАКЦИЯХ ОКИСЛЕНИЯ СО И Н-БУТАНА**

(Представлено академиком АН Азербайджанской ССР В. С. Алиевым)

В настоящей работе обобщены результаты изучения кислотно-основных, адсорбционных и каталитических свойств сложных оксидных систем в реакциях окисления CO и н-бутина.

Катализаторы готовились пропиткой активированного γ -Al₂O₃ растворами солей активных компонентов. Активация носителя осуществлялась путем электролитической обработки соляной кислотой (pH2, 5) или гидроксидом аммония (pH12). Кислотно-основные характеристики определялись методом обратного титрования [1] с оценкой кислотности и основности в объеме зерна [2].

Адсорбционные характеристики катализаторов получены с помощью

Таблица 1

**Каталитическая активность образцов КМВС
в реакции окисления CO в CO₂**

Образец КМВС	Скорость превращения, л/л.ч	Кислотность, мг.экв/г	Основность, мг.экв/г	Уд. поверхность, м ² /г
A	100	0,30	0,42	80
B	60	0,35	0,08	100
C	76	0,40	0,30	82

Таблица 2

Каталитическая активность образцов НВС в реакции окислительного превращения н-бутина

Образец НВС	Скорость превращения, л/л.ч	Избирательность				Кислотность, мг.экв/г	Основность, мг.экв/г
		C ₄ H ₈	C ₄ H ₆ +C ₅ H ₈	CO	CO ₂		
A	104	0,33	0,77	0,06	0,15	0,38	0,24
B	62,3	0,30	0,83	0,05	0,09	0,40	0,03
C	90,0	0,49	0,89	0,03	0,05	0,48	0,15

метода температурно-программированной десорбции [3]. Адсорбция моно- и диоксида углерода проводилась при 273 К, а *n*-бутана при 298 К.

Опыты по испытанию катализитической активности выполнены безградиентном реакторе. Хроматографический анализ продуктов превращения CO и *n*-бутана осуществляется на последовательно расположенных колонках: в случае CO-полисорб и NaX, в случае *n*-C₄H₁₀-эфир триэтиленгликоля и *n*-масляной кислоты на ИНЗ-600 и NaX.

Результаты испытания катализитической активности приведены табл. 1, 2, где образцы A, B, C — это катализаторы, носитель которых подвергался обработке HCl, не подвергался электролитической обработке и подвергался обработке NH₄OH соответственно.

Нанесение активных компонентов, как видно из табл. 1, приводит в итоге к уменьшению удельной поверхности по отношению к исходному носителю почти вдвое.

Испытание активности системы KMBC (табл. 1) осуществлялось при 463 К, об. ск. по монооксиду углерода 100 ч⁻¹, мольн. отнош. CO:O₂=1:2 и условном времени контакта 3,2 с. Скорость превращения коррелирует с основностью (данные по кислотности и основности приведены в табл. 1, 2 на основе измерения в порошках).

Окислительное превращение *n*-бутана осуществлялось при 883 К об. ск. по *n*-бутану 650 ч⁻¹, мольн. соотнош. C₄H₁₀:O₂:H₂O=1:2:0,15 в условном времени контакта 0,35 с. Скорость превращения и в этом случае коррелирует с основностью. Избирательность по продукту парциального окисления коррелирует с кислотностью.

При сопоставлении образцов KMBC и NBC следует отметить, что синтез образцов с заданными кислотно-основными характеристиками достигается как путем подбора химического состава, так и активированным электролитическим воздействием на носитель. В рамках одной химической системы, повышая основность путем электрохимической активации носителя, можно усиливать дожиг CO в CO₂.

Большая кислотность при едином способе активации отвечает химической системе (в нашем случае NBC), обладающей большей избирательностью в парциальном окислении.

Относительная избирательность CO₂/CO (табл. 2) и скорость превращения CO в CO₂ (табл. 1), как видно из полученных результатов, одинаково коррелирует с кислотно-основными характеристиками образцов A, B и C.

Для оценки однородности распределения кислотных и основных центров в объеме гранулы определялись отношения [2]:

$$\varepsilon_k = \frac{h_k^{rp}}{h_k^{por}}; \quad \varepsilon_0 = \frac{h_0^{rp}}{h_0^{por}},$$

где h_k^{rp} , h_0^{rp} , h_k^{por} , h_0^{por} — значения кислотности и основности соответственно в гранулах и порошках по результатам параллельных определений.

При этом предполагалось, что область значений $\varepsilon_i > 1$ свидетельствует о сосредоточении центров *i*-го типа на поверхности; $\varepsilon < 0,5$ характеризует смещение кислотности или основности в глубь зерна, $0,5 < \varepsilon < 1$ — распределение, близкое к однородному. Наблюдаемые значения кислотности и основности на поверхности модифицированных носителей (табл. 3) заметно выше в случае кислотной обработки. Более

высокую относительно С° основность образца носителя A°, модифицированного HCl, можно объяснить вхождением атома хлора в структуру оксида алюминия с образованием соединений типа AlOHCl₂ и Al(OH)₂Cl.

Таблица 3

Кислотность и основность образцов NBC

Образец	Кислотность, $\frac{\text{мгЭКВ}}{\text{г}}$		ε	Основность, $\frac{\text{мгЭКВ}}{\text{г}}$	
	h_k^{por}	h_k^{rp}		h_0^{por}	h_0^{rp}
(A°) γ-Al ₂ O ₃ , обработан HCl	0,51	0,42	0,82	0,53	0,21
(C°) γ-Al ₂ O ₃ , обработан	0,38	0,27	0,71	0,41	0,18
A до работы	0,75	0,45	0,60	0,21	0,11
C до работы	0,69	0,32	0,46	0,06	0,23
A после работы	0,38	0,32	0,84	0,24	0,45
C после работы	0,43	0,33	0,69	0,15	0,14
A регенерирован	0,50	0,35	0,70	0,12	0,16
C регенерирован	0,51	0,33	0,65	0,10	0,13
					1,30

Образец C до работы характеризуется наиболее высоким значением $\varepsilon_0 = 3,83$, что свидетельствует о сосредоточении основных центров на внешней поверхности гранулы в случае щелочной обработки носителя. При соприкосновении с реакционной средой кислотность снижается и повышается основность, а однородность распределения возрастает.

Из полученных данных видно, что природа электролита, модифицирующего носитель, влияет на распределение кислотных и основных центров.

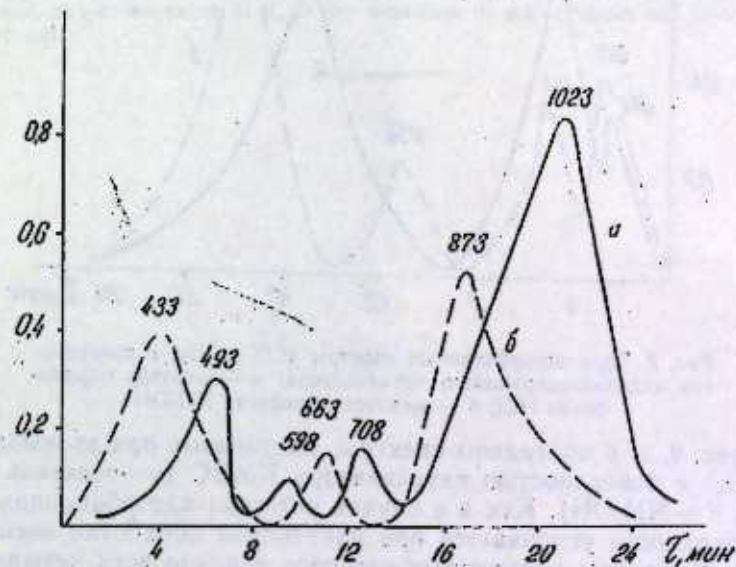


Рис. 1. Термодесорбционные спектры *n*-бутана с поверхности ванадийсодержащего катализатора: а — носитель обработан HCl; б — носитель обработан NH₄OH

цирующего носителя, обуславливает различное распределение активных центров, что должно сказываться на катализитических и адсорбционных свойствах синтезируемых контактов [4].

На рис. 1, а, б приведены спектры термопрограммированной десорбции, полученные при взаимодействии *n*-бутана с поверхностью ванадийсодержащего катализатора КМВС (а—носитель обработан HCl; б—NH₄OH). Приведенные спектры свидетельствуют об увеличении адсорбционной способности поверхности образца при щелочной обработке носителя. Хроматографический анализ полученных спектров показал наличие в спектрах с $T_{\max} \leq 573$ К—физически адсорбированного *n*-бутана, с $573 < T_{\max} < 773$ К—продуктов парциального окисления, а с $T_{\max} > 773$ —продуктов крекинга и глубокого окисления.

При сопоставлении спектров (а) и (б) можно утверждать, что в случае (а) катализатор проявляет более высокую селективность, чем в случае (б), что согласуется с данными по катализитической активности и с кислотно-основными характеристиками исследуемых катализитических систем. Кроме того, необходимо отметить, что в обоих случаях одним из основных компонентов высокотемпературных пиков является монооксид углерода.

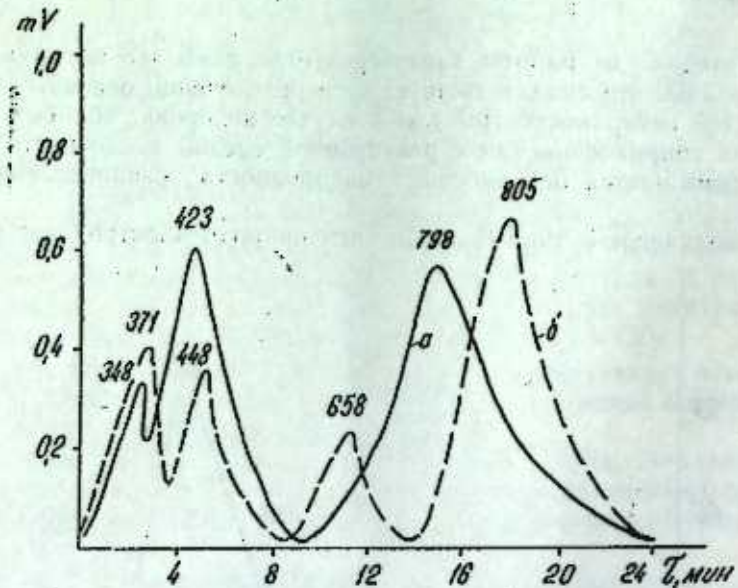


Рис. 2. Термодесорбционные спектры (CO + CO₂) с поверхностью ванадийсодержащего катализатора: а—носитель обработан HCl; б—носитель обработан NH₄OH

На рис. 2, а, б приведены спектры, полученные при взаимодействии (CO+CO₂) с поверхностью катализатора КМВС (а—носитель обработан HCl, б—NH₄OH). Как и в случае *n*-бутана адсорбционная способность поверхности усиливается при идентичной обработке носителя.

По результатам хроматографического анализа всех четырех пиков определено, что лишь первый пик содержит физически адсорбированный монооксид углерода, а остальные только диоксид, т. е. окисление CO в CO₂ на КМВС происходит уже при 423 К.

Литература

- Бородин В. Н. Журнал физической химии, 1977, т. 51, № 4, с. 928—929.
- Ризаев Р. Г., Марданова Н. М., Сейфуллаева Ж. М., Талышинский Р. М. Изучение и направление регулирование кислотно-основных свойств оксидных катализаторов. Рук. деп. ВИНИТИ, деп. № 2824-В-86, — Баку: ИНХП АН АзССР, 1986.—17 с.
- Шахтахтинская А. Т., Султанов Н. Т., Мамедова З. М., Гаджи-Касумов В. С.—Докл. АН АзССР, 1982, т. 38, № 35.
- Талышинский Р. М. Связь генезиса нанесенных катализаторов с кинетическими параметрами реакции. Рук. деп. ВИНИТИ, деп. № 25 86—В—87.—Баку: ИНФХ АН АзССР, 1987.—11 с.

Институт нефтехимических процессов АН АзССР

Поступило 21. XII 1987

А. Т. Шахтахтинская, Н. М. Марданова, З. М. Мамедова,
Ф. М. Элизаде, Ю. А. Пантелеева

СО В Э Н-БУТАНЫН ОКСИДЛЭШМЭ РЕАКЦИЯЛАРЫНДА ОКСИД ВАНАДИУМТЭРКИВЛИ СИСТЕМЛЭРИН ФИЗИКИ КИМЛЭВИ ВЭ КАТАЛИТИК ХАССЭЛЭРИ

Магадэ синтез заманы габагчадан тэмизлэнүүн дашыятычи илэ өндүрүлмүш катализаторун физики-кимлэвий хассалэринин тэдгигинэ нээр едилмишдир.

Электролитий тэсир гуввесиний эффектлий, дасыячынын модификацацийн, зэррэчиний номчиндэ актив фазанын пајланасы, онун формалашмасы ээ катализтик хассалэри мүэйжэн едилмишдир.

A. T. Shakhshakhtinskaya, N. M. Mardanova, Z. M. Mamedova,
F. M. Ali-zade, Yu. A. Panteleyeva

PHYICO-CHEMICAL AND CATALYTIC PROPERTIES OF VANADIUM OXIDE-CONTAINING SYSTEMS IN CO AND *N*-BUTANE OXIDATION

The results of physico-chemical studies of supported catalysis are presented taking into account preliminary treatment of the carrier in the course of synthesis. The effect of electrolyte nature modifying the carrier surface on the distribution of active phase in the granule volume and, as a consequence of it, on the formation of active phases and catalytic properties is found out.

Т. С. ГУСЕИНОВА

РАСПРЕДЕЛЕНИЕ НЕКОТОРЫХ МАЛЫХ ХИМИЧЕСКИХ ЭЛЕМЕНТОВ В ЭОЦЕНОВЫХ ОТЛОЖЕНИЯХ СРЕДНЕ-КУРИНСКОЙ ВПАДИНЫ И ИХ ПАЛЕОГЕОГРАФИЧЕСКОЕ ЗНАЧЕНИЕ

(Представлено академиком АН Азербайджанской ССР Ш. Ф. Мехтиевым)

Эоценовые отложения пользуются широким распространением на территории Азербайджана и представлены различными литолого-фациальными комплексами. Как установлено рядом исследователей [2, 3], в Предмалокавказском прогибе и Чатминской зоне поднятий, где расположены нефтегазоносные районы (междуречье Куры, Иори и др.), в раннем эоцене продолжается начавшаяся еще в палеоценовой эпохе трансгрессия моря. Она достигает максимума в среднем и верхнем эоцене, периодически заменяясь небольшими регрессиями. В связи с этим предэоценовые опускания охватили значительную территорию Среднекуринской впадины.

Из анализа распределения мощностей и фаций эоценовых отложений Западного Азербайджана видно, что в этот отрезок геологического времени междуречье Куры и Иори по сравнению с Евлах-Агджабединским прогибом, прилегающим с юго-востока, погружалось более интенсивно. В эоценовое время имело место изменение мощностей, перестройка структурного плана с изменением размеров и конфигураций ранее существовавших структурных элементов. В соответствии с геотектоническими условиями осадконакопления в районе междуречья Куры, Иори и Кировабадской зоны нижнему эоцену соответствуют терригенные песчано-глинистые нижнефорамениферовые слои, согласно залегающие на палеоценовых отложениях южной полосы междуречья. Отложения среднего эоцена представлены в туфогенно-терригенной фации и в изученных бурением районах их мощности не превышают 200 м. В начале верхнего эоцена на территории Среднекуринской впадины почти повсеместно преобладает терригенный материал, что свидетельствует о дальнейшем усилении поднятий. Во второй половине верхнего эоцена вновь происходит трансгрессия, и в условиях углубившегося бассейна происходит осадконакопление верхов верхнеэоценовых отложений, последние почти повсеместно залегают на среднеэоценовых и характеризуются также незначительной мощностью (150–300 м).

Нами были изучены малые элементы эоценовых отложений по образцам пород, отобранным из скважин ряда разведочных и нефтегазоносных площадей, исследованы многочисленные образцы пород из месторождений и разведочных площадей: Дамиртепе-Удабио, Саждаг, Тарсадалляр, Амирарх, Зардоб, Мурадханлы. Заметим, что наибольшее

количество образцов исследовано по месторождению Мурадханлы, которое расположено в зоне развития Талыш-Вандамского погребенного поднятия. Часть исследованных разведочных площадей находится в непосредственной близости от этого месторождения, а месторождение Тарсадалляр и другие разведочные площади находятся в междуречье Куры и Иори.

Известно, что распределение малых химических элементов обусловлено геотектоническими условиями и геохимической обстановкой среды осадконакопления. С другой стороны, химический состав пород и следовательно распространение малых элементов в них связано с процессами химической дифференциации вещества в бассейне седиментации. Естественно, поэтому содержание тех или иных элементов и их соотношения в породах могут с достаточной убедительностью свидетельствовать об условиях осадконакопления.

Во всех исследованных нами образцах пород эоценовых отложений были определены Fe, Ni, Co, V, Sr, Ba, Mn, Cr. Из литературных данных,

Таблица 1

Месторожд., площадь и № скв.	Глубина, м	Воз- раст	Тип породы	Отношение пары элементов		
				Sr Ba	Fe Mn	V Ni
Саждаг, 4	3540–3544	P ₂ ¹	Известник	3,192	69,94	1,010
Тарсадалляр, 6	3021–3031	•	Известник	1,045	19,35	0,862
Тарсадалляр, 6	3047–3057	•	Известник	1,609	15,11	0,824
Тарсадалляр, 5	282,2–827	•	Известник	1,846	10,909	0,833
Мурадханлы, 23	4170–4175	•	Известник	3,000	3,65	0,550
Мурадханлы, 23	4203–4208	•	Туфобрекчия	0,520	16,40	1,167
Мурадханлы, 28	4184–4190	"	Туфобрекчия	0,922	16,45	4,263
Саждаг, 4	2980–2988	P ₂ ¹	Глина	0,369	122,5	3,536
"	3035–3039	"	Туф, известковистый	1,119	84,84	2,256
"	3180–3189	"	Туф, известковистый	0,666	97,55	3,480
Саждаг, 3	3105–3110	•	Известник	1,955	46,77	1,494
"	3158–3163	•	Известник	1,590	94,56	2,931
Тарсадалляр, 11	2425–2495	•	Известник	0,394	16,32	1,905
Тарсадалляр, 16	2470–2480	•	Известник	3,714	117,45	1,842
Мамедтапе, 1	1640–1650	•	Известник	0,294	133,68	1,273
"	1695–1705	•	Глина	1,763	4,33	3,929
"	1762–1772	•	Глина	0,388	99,43	1,636
"	1792–1800	•	Глина	1,495	64,40	2,679
Дамиртапе— Удабио, 2	3582–3592	•	Туфит	0,574	280,05	2,171
"	3692–3700	•	Глина	1,125	123,95	4,60
"	3642–3645	•	Известник	0,821	194,45	3,862
"	3688–3694	•	Туф	1,575	192,63	2,875
Мурадханлы, 8	3720–3726	•	Известник	2,379	27,29	0,837
"	3855–3860	•	Известник	0,718	17,25	1,622
"	4048–4052	•	Глина	1,333	11,43	0,890
"	4172–4176	•	Глина	2,533	114,23	1,048

известно [1], что малые содержания в породах Sr (0,01—0,02%) свидетельствуют о пресноводном характере бассейна осадконакопления. Во всех же исследованных нами породах содержание Sr, как правило, превышает указанные выше значения (и большей частью составляет 0,04—0,06%), а в некоторых образцах туфогенных пород достигает 0,170% и более.

Таблица 2

Месторожд., площадь и № скв.	Глубина, м	Воз- раст	Тип породы	Отношение пары элементов		
				Sr Ba	Fe Mn	V Ni
Саждаг, 3	3221—3225	P ₂	Туф	0,743	48,09	3,333
>	3228—3302	.	Порфирит	1,318	42,03	2,666
>	3247—3254	.	Туф	1,272	55,16	5,555
>	3267—3274	.	Туф	1,918	40,88	4,194
>	3267—3274	.	Туф	1,000	60,84	4,412
>	3316—3318	.	Туф	0,090	45,09	15,791
>	3381—3388	.	Туф	0,102	33,86	14,545
>	3381—3388(а)	.	Туф	0,462	41,33	2,793
Тарсдалляр, 11	2485—2495(а)	.	Извести.	0,494	31,29	2,843
>	2514—2524	.	Извести.	1,581	21,40	2,278
> .16	2607—2614	.	Туф	1,294	123,44	3,458
>	2614—2622	.	Извести.	1,657	40,32	1,650
>	2622—2631	.	Туф	0,169	136,21	3,739
>	2652—2659	.	Туф	0,582	182,5	3,655
> .8	2652—2659(а)	.	Извести.	1,750	13,788	1,034
>	2881—2883	.	Туф	0,25	104,4	2,425
>	2883—2885	.	Туфит	0,196	78,382	1,440
>	2895—2900	.	Туф	0,489	35,657	1,933
Зардоб, 7	4400—4410	.	Глина	0,391	118,571	2,885
Зардоб, 4	4430—4440	.	Глина	0,161	110,00	0,934
Дамиртапе— Удабио, 2	3766—3774	.	Извести.	2,792	8,60	4,467
>	3801,5—3807	.	Туф	0,323	84,693	5,615
Мурадханлы, 23	3984—3989	.	Извести.	2,24	63,833	1,263
>	3985—3990	.	Туфоалеврол.	1,375	143,125	0,852
>	4054—4060	.	Туф	0,969	82,312	4,167
>	4060—4065	.	Туф	1,190	45,149	5,300
>	4093—4096	.	Аргиллит	1,291	46,404	3,467
>	4150—4155	.	Туф	0,581	23,537	1,692

Исходя из данных следует признать, что эоценовый бассейн осадконакопления был не пресноводным, а нормально морским бассейном, в котором имели место периодические подводные извержения вулканов.

Отношение $\frac{Sr}{Ba}$ также является важным показателем для суждения о

характере бассейна седиментации. Известно, что это отношение в осадках пресноводных бассейнов, как правило, меньше единицы, а в морских больше единицы. Из табл. 1 видно, что в разрезе нижнеэоценовых пород, наряду с нормально-осадочными породами, присутствуют и туфогенные. Отношение $\frac{Sr}{Ba}$ в исследованных нами нижнеэоценовых нормально-осадочных породах находится в пределах 1,045—3,000, в туfo-

генных же породах нижнего эоцена это отношение выражается величинами меньше единицы — от 0,520 до 0,922. Таким образом, судя по величине отношения $\frac{Sr}{Ba}$ в нормально-осадочных породах нижнего эоцена можно считать, что бассейн седиментации в этот отрезок времени был нормальным морским бассейном.

Судя по отношениям $\frac{Sr}{Ba}$ в среднеэоценовых нормально-осадочных

породах (табл. 2), выражающихся величинами преимущественно от 1 до 2 и лишь редко превосходящих цифру 2, можно считать, что бассейн седиментации оставался нормальным морским, но несколько опресненным по сравнению с нижнеэоценовым бассейном.

Отношения $\frac{Sr}{Ba}$ в породах верхнего эоцена (табл. 1) по величине превосходят данные отношения в породах среднего эоцена и преимущественно выражаются значениями, приближающимися к 3, а в некоторых образцах пород и более 3; 7; 14. Следовательно, можно предположить, что имело место некоторое осолонение бассейна в начале верхнего эоцена. Результаты рентгено-структурного анализа показывают, что содержание Sr возрастает от глинистых пород к карбонатным. Подтверждается также закономерность в распределении Ba — наибольшее содержание в глинах и постепенное уменьшение к карбонатным породам. Содержание Sr в среднеэоценовых породах в целом несколько превосходит его содержание в верхне- и нижнеэоценовых отложениях. Это, по-видимому, обусловлено более пышным развитием органической жизни в среднем эоцене и соответственным увеличением этого элемента в процессе биогенного накопления. V, Ni, Cr концентрируются в относительно больших количествах в глинах. Так, содержание Ni в ряде образцов верхнеэоценовых глин составляет сотые доли процента, а в песчаниках и алевролитах его содержание выражается в тысячных и десятитысячных долях процента. Количество Cr в глинах также заметно превышает его содержание в других породах.

Содержание V не только в глинах, но известняках и туфогенных породах несколько превышает его содержание в песчаниках и алевролитах.

В целом же следует отметить, что не во всех исследованных образцах глин и песчаников удается наблюдать существенное отличие в концентрации одних и тех же малых элементов.

Отношение $\frac{V}{Ni}$ за редким исключением почти во всех образцах эоценовых пород выражается цифрами, доходящими до 3 и 4, а в некоторых образцах туфогенных пород даже до 14 и 15. Это означает, что нормально осадочные породы относительно обогащены ванадием, а туфогенные породы значительно обеднены этим элементом.

Как видно из таблиц, отношение $\frac{V}{Ni}$ в среднем эоцене значительно превосходит это отношение в нижнем, а также в верхнем эоцене.

Судя по отношениям $\frac{V}{Ni}$ в месторождениях Мурадханлы, Тарсдалляр и в особенности площадях Саждаг, Дамиртапе-Удабио можно утверж-

даты, что в этот отрезок эоценового времени условия осадконакопления были восстановительными. К концу нижнего эоцена они сменились на слабовосстановительные. Что касается верхнего эоцена, то седиментация происходила также в восстановительных условиях.

Литература

1. Катченков С. М. Малые химические элементы в осадочных породах и нефтях.—Л.: Гостоптехиздат, 1950.—269 с. 2. Мехтиев Ш. Ф., Гасанов А. Г., Гезалов Ф. А. и др. Месторождения нефти Мурадханлы. Сб. Нефтегазоносность Западного Азербайджана.—Баку: Элм, 1983, с. 4—60. 3. Салаев С. Г., Авербух Б. М., Мамедов С. Б., Керимов И. А., Чикованы Э. В. Перспективы нефтегазоносности палеоген-эоценовых отложений Западного Азербайджана и направление дальнейших поисково-разведочных работ. Сб. Нефтегазоносность Западного Азербайджана.—Баку: Элм, 1983, с. 70—104.

Институт геологии АН АзССР

Поступило 31. III 1988

Т. С. Гусейнова

ОРТА КУР ЧӨКӘКЛИЈИННИҢ ЕОСЕН ЧӨКҮНТҮЛӘРІНДӘ БӘЗИ АЗ РАСТ КӘЛИНӘН ЕЛЕМЕНТЛӘРІН ПАЛАНМАСЫ ВӘ ОНЛАРЫН ПАЛЕОЧОГРАФИ ЭҮӘМИЛЛӘТИ

Мәгәләдә Азәрбајҹан әразисинде кениш яјылмыш еосен чөкүнтуләрінде бәзин аз раст кәлинән кимәві элементләрин (Fe, Ni, Co, V, Sr, Ba, Mn, Cr) палланмасы сәнгүйеләндирилүр вә бунун әсасында палеочографи потичәләр чыхарылып. Тәдгиг олунан әразинин бир сырға нефт жатаглары јерләшшөн саһесинде үст вә орта еосен чөкүнтуләрін седиментасына просеси, әсасы, редуксија шәрантнда кетмишdir. Бу шәрант алт еосен дөврүнде исә инсбетан зөнф олмушшудur.

T. S. Guseinova

THE DISTRIBUTION OF SOME MICRO CHEMICAL ELEMENTS IN THE EOCENE DEPOSITS OF MIDDLE KURA DEPRESSION AND THEIR PALEOGEOGRAPHIC SIGNIFICANCE

The article considers the distribution of some micro chemical elements (Fe, Ni, Co, V, Sr, Ba, Mn, Cr) in the Eocene deposits of Middle Kura depression. The conclusions on the paleogeographic conditions of sedimentation are made.

In the process of sedimentation in Middle and Upper Eocene the conditions of sedimentation are being restored. In the basin of Lower Eocene time sedimentation occurred in weakly restoring conditions.

АЗӘРВАҖЧАН ССР ЕЛМЛӘР АКАДЕМИЈАСЫНЫН МӘРҮЗӘЛӘРИ

ДОКЛАДЫ АКАДЕМИИ НАУК АЗЕРБАЙДЖАНСКОЙ ССР

ТОМ XLIV ЧИЛД

№ 9

1988

УДК 519.2:622.1—03

РУДНЫЕ МЕСТОРОЖДЕНИЯ

И. С. ДЖАФАРОВ, Э. Д. ДЖАВАДОВ

РАСЧЕТ ВАРИОГРАММ ВЕСОВЫХ СОДЕРЖАНИЙ ПОЛИМЕТАЛЛОВ РУДНОГО ПОЛЯ

(Представлено академиком АН Азербайджанской ССР Э. Ш. Шихалибейли)

В последние годы, наряду с традиционными методами математической статистики и теории вероятности, в геологии и геофизике широкое распространение получили методы матерновской геостатистики [1, 2, 3].

Основой обработки исходной геолого-геофизической информации методами геостатистики является расчет и определение параметров вариограммы, которая является результатом пересчета исследуемого поля и характеризует ее в конкретном направлении. Для наглядного представления вариограммы воспользуемся разбором примера.

Наиболее естественный путь сравнения двух значений, например, содержаний $Z(x)$ и $Z(x+h)$ в точках x и $x+h$, находящихся на расстоянии h , заключается в нахождении абсолютного значения их разности. Однако при сравнении значений, предпочтительней знать среднее различие между содержаниями во всех парах точек, находящихся на расстоянии h , т. е. математическое ожидание:

$$E |z(x) - z(x + h)|.$$

Так как абсолютными значениями трудно оперировать, лучше находить квадраты разностей, что и приводит к следующей, характеризующей различие, функции:

$$2\gamma(\vec{h}) = E [z(x) - z(x + \vec{h})]^2, \quad (1)$$

которая может быть представлена в виде:

$$2\gamma(\vec{h}) = \frac{1}{V} \int_V [Z(x) - Z(x + \vec{h})]^2 dx, \quad (2)$$

где V —объем исследуемого поля.

Функция $2\gamma(\vec{h})$ называется вариограммой, и, как видно из выражения [2], зависит от расстояний и направления. Из изложенного можно сделать вывод, что вариограмма характеризует изменчивость поля по конкретному направлению.

В общем случае определение функции $2\gamma(\vec{h})$ основывается на тройном интеграле, вычисляемом по всему объему исследуемого поля. На практике этот интеграл оценивается по выборочным данным. Предположим, что имеется всего $N(\vec{h})$ пар проб, находящихся на расстоянии h и

отвечающих требованиям направленности вариограммы. Тогда численное уравнение вариограммы можно представить в виде:

$$2\gamma(\vec{h}) = \frac{1}{N(\vec{h})} \sum_{i=1}^{N(\vec{h})} [z(x_i) - z(x_i + \vec{h})]^2.$$

Вариограммы, в зависимости от их формы, могут быть отнесены к какой-либо теоретической модели, а именно, сферической, линейной, модели Де-Вийса, степенной модели и т. д.

Из данного определения вариограммы и выражения [3] следует, что вариограммы, в зависимости от однородности среды могут различаться. В частности, вариограммы изотропной среды по всем направлениям одинаковы.

На основе выражения [3] составлен алгоритм и реализована программа расчета вариограмм VARGRAF на алгоритмическом языке Фортран-4 для ЭВМ типа ЕС.

Помимо изучаемых исходных данных (координаты точек и значения исследуемого параметра) необходимыми для работы программы являются:

AFI — угол (в градусах), определяющий направление вариограммы,

DFI — допустимый угол отклонения,

S_1, S_2 — левая и правая границы расчета вариограммы,

SH — шаг вариограммы,

OH — допустимое отклонение от шага.

В процессе работы программы VARGRAF производится расчет и графическое представление на печатающем устройстве вариограммы, дисперсии полной выборки данных и дисперсии выборки данных, участвующих в формировании данной вариограммы.

Для расчета вариограммы и дисперсии по указанной программе были взяты данные содержаний цинка по рудному полю в Азербайджанской ССР. Расчет производился по направлениям:

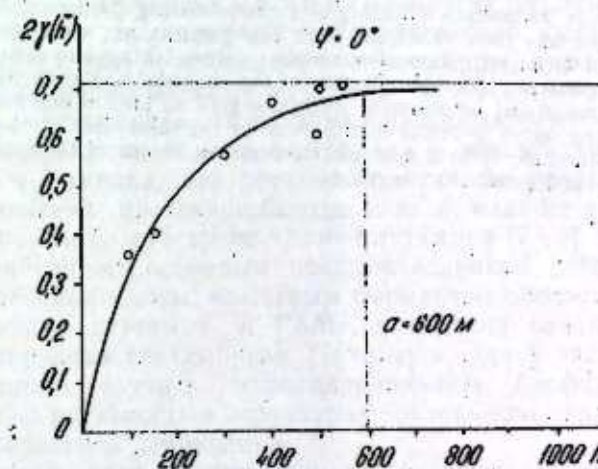
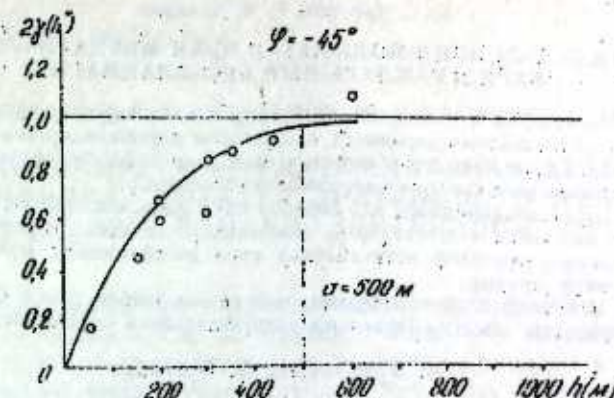
$\varphi_1 = -45^\circ, \varphi_2 = 0^\circ, \varphi_3 = +90^\circ$.

Количество точек вариограммы по направлению $\varphi_3 = +90^\circ$ было недостаточным для убедительного построения последнего, что объясняется малым количеством данных в указанном направлении. По направлениям $\varphi_2 = 0^\circ$ и $\varphi_1 = -45^\circ$ были получены (рисунок) достаточно убедительные вариограммы, из сравнения которых можно сделать вывод об анизотропии среды и приблизительно рассчитать коэффициент анизотропии.

Изменчивость исследуемого параметра вдоль главных осей анизотропии будет различна, а вариограмма, как мы знаем, отражает именно эту изменчивость. Соотношение зон влияний вариограмм, в случае сферической модели, вдоль указанных осей будет равно коэффициенту анизотропии. В случае же несовпадения направлений вариограмм с главными осями анизотропии, вариограммы будут различаться, при этом соотношение зон влияний будет больше коэффициента анизотропии.

Приведенные на рисунке вариограммы можно отнести к сферической модели. Тогда из этих же графиков можно определить зону влияния пробы и дисперсию проб, которая примерно совпадает со значением дисперсии, рассчитанным по программе VARGRAF.

Как видно из приведенных на рисунке вариограмм, зона влияния для $\varphi_1 = -45^\circ$ равна $a_1 \sim 500$ м, а для $\varphi_2 = 0^\circ$ $a_2 = 600$ м, что свидетельствует об анизотропии среды с коэффициентом анизотропии, равным $k = a_1/a_2 = 500/600 \sim 0.8$. Дисперсия полной выборки равна



Вариограмма распределения весовых содержаний полиметаллов

$\sigma^2 = 1.13$, а дисперсия выборки данных, участвовавших в формировании вариограммы, равна: для $\varphi_1 = -45^\circ, \sigma^2 = 1.05$; для $\varphi_2 = 0^\circ, \sigma^2 = 0.75$.

Вывод

Результаты проведенных исследований по использованию матерновской геостатистики, разработанные алгоритм и программы для расчетов вариограмм весовых содержаний лягут в основу методики подсчета запасов твердых полезных ископаемых.

Литература

1. Матерон Ж. Основы прикладной геостатистики. — М.: Мир, 1968.
2. Марголин Л. М. Методы геометризации разведуемых запасов полезных ископаемых. Усовершенствованная процедура Крайгинга. — Матем. методы исслед. в геологии. Обзор ВНИИ

экон. минер. сырья и геол.-развед. работ ВИЭМС.—М., 1983. 3. Давид М. Геостатистические методы при оценке запасов руд.—Л.: Недра, 1980.

Институт проблем глубинных нефтегазовых месторождений АН АзССР

Поступило 22. XII 1987

И. С. Чәфәров, Е. Ч. Чавадов

ФИЛИЗ САҢӘСИННИН ПОЛИМЕТАЛ ЧӘКИ МИГДАРЛАРЫНЫН
ВАРИОГРАМЛАРЫНЫН ҮСАСЛАМMASЫ

Кеология объектларни хассаларни экс етдириен вә сочијјәләндирәп параметрләрни тәдгигнәндә оналарын гијметләндиримләсү илә јанаши дәйншкәнилийнин дә нәзэрә алымасы вачиб шәртләрдән биридир. Кеостатик методлар мәңгүл бу параметрләрни дәјишкәнилийнин дә нәзэрә алымагла сочијјәләндиримләсүнә эасасланып.

Саңәлорни гијметләндиримләсн илә бәрәбәр опун дојишкәнилийнин дә график сурәтдә экс етдириен вә кеостатик тәдгигатларны апарылмасында илккин гијметлән мәлумат вәрон варнограмларын мухтәлиф истигамәтләр учун үсәсламасы мүһитин анизотропиялыгы нәгда тәсәввүр ярадыр.

Кеостатик методларнын вә варнограмларын кешиш тәтбиг олуна билән саңәләрдән бири дә бәрк фаядалы газытын јатагларынан үсәсламасындыр.

I. S. Djafarov, E. D. Djavadov

CALCULATION OF VARIOGRAMS OF POLYMETALS
WEIGHT CONTENT IN AN ORE FIELD

In order to study parameters reflecting and characterizing geological objects it is necessary to know not only their values but their changeability as well. Geostatistics methods are based just on investigation of parameters values taking into account their changeability. A variogram is a graphic reflection of the character and changeability of given field. Variograms calculated for different directions give an idea of environmental anisotropism. A variogram serves as initial information for the subsequent studies using geostatistics methods. Estimation of hard minerals reserves can be one of the spheres of application of variograms and geostatistics methods.

АЗӘРБАЙЧАН ССР ЕЛМЛӘР АКАДЕМИЯСЫНЫН МӘРУЗӘЛӘРИ

ДОКЛАДЫ АКАДЕМИИ НАУК АЗЕРБАЙДЖАНСКОЙ ССР

ТОМ XLIV ЧИЛД

№ 9

1988

УДК 612.8.015+612.84+591.35+158.4

БИОХИМИЯ

Чл.-корр. АН АзССР Р. А. БАБАХАНОВ, Ш. И. ГАСАНОВА, Т. М. АГАЕВ

ФОСФАТАКТИВИРЕУМАЯ ГЛУТАМИНАЗНАЯ АКТИВНОСТЬ
В МИТОХОНДРИЯХ СТРУКТУР ЗРИТЕЛЬНОГО АНАЛИЗАТОРА
МОЗГА СОБАК ПРИ РАННЕЙ ЗРИТЕЛЬНОЙ ДЕПРИВАЦИИ

Световая импульсация играет существенную роль в метаболизме системы глутаминовой кислоты. Лишение животных световой импульсации на раннем этапе постнатального развития приводит к подавлению общей активности ряда групп митохондриальных ферментов, в частности: глутаматдекарбоксилазы (КФ 4.1.1.15), ГАМК-трансаминазы (КФ 2.6.1.19), глутаматдегидрогеназы (КФ 1.4.1.2.), аспартат-аланин-аминотрансферазы (КФ 2.6.1.1 и 2.6.1.2) и других ферментов, участвующих в биосинтезе глутаминовой и аспарагиновой кислот и ГАМК в митохондриях структур зрительного анализатора и разных областях коры головного мозга млекопитающих [1—6]. Известно, что фосфатактивирующая глутаминаза (*L*-глутамин-амидогидролаза — КФ 3.5.1.2) катализирует реакцию гидролаза-глутамина с образованием глутаминовой кислоты и амиака. Эта реакция практически необратима, энергетически независима, протекает быстро и не нуждается в кофакторах и в другом каком-либо субстрате кроме глутамина [7—8]. В связи с тем, что глутамин служит основным предшественником нейротрансмиттерной глутаминовой кислоты, ключевым ферментом образования глутаминовой кислоты в глутамат- и ГАМК-ergicических синапсах является фосфатактивируемая глутаминаза. Поэтому в задачу настоящего исследования входило изучить митохондриальную фосфатактивируемую глутаминазную активность в структурах зрительного анализатора мозга собак при зрителльной депривации.

Исследовали фосфатактивируемую глутаминазную активность в митохондриях зрителльной коры (поле 17), переднего двухолмия и наружного коленчатого тела у 45- и 90-суточных зрителю депривированных собак. С момента рождения до 45 и 90 суток опытные группы животных находились в темновых камерах, а контрольные группы содержались в обычных световых режимах. Обе группы животных подкармливались одинаковым рационом. Активность фосфатактивируемой глутаминазы определялась по методу [9]. Митохондрии выделяли 0,32 М сахарозы методом дифференциального центрифугирования [10]. Цифровой материал обработан статистически.

Результаты проведенных исследований (таблица) показывают, что при 45-суточной зрителльной депривации общая активность фосфатактивируемой глутаминазы достоверно повышается в исходных митохондриальных фракциях всех исследованных структур зрительного анализатора мозга собак. Причем, это повышение особенно заметно в митохондриях зрителльной коры (поле 17), переднего двухолмия и составляет

соответственно 84 и 150%, после чего — в наружном коленчатом теле на 15% больше по сравнению с нормой.

Общая активность фосфатактивируемой глутаминазы при 90-суточной зрительной депривации наиболее высока в исходной митохондриальной фракции зрителного анализатора мозга собак при зрительной депривации (мкмоль N-NH₃ на массу митохондрий, выделенных из 1 г свежей ткани и 1 мг белка за 1 ч)

Возраст, дни	Условия опыта	Зрительная кора (поле 17)	Переднее двухолмие	Наружное коленчатое тело
Общая активность				
45	Норма Депривация	358±8,23 658±9,42 <i>P</i> <0,001	310±4,20 776±6,72 <i>P</i> <0,001	426±10,20 448±0,96 <i>P</i> <0,001
90	Норма Депривация	308±10,80 729±9,61 <i>P</i> <0,001 <i>P</i> <0,001	293±5,10 556±4,25 <i>P</i> <0,001	392±4,80 364±9,02 <i>P</i> <0,02 <i>P</i> <0,001
Удельная активность				
45	Норма Депривация	17,2±0,19 34,09±0,48 <i>P</i> <0,001	12,5±0,17 28,13±0,24 <i>P</i> <0,001	20,5±0,34 20,20±0,28 <i>P</i> >0,5
90	Норма Депривация	9,7±0,34 24,30±0,32 <i>P</i> <0,001 <i>P</i> <0,001	10,5±0,13 21,07±0,16 <i>P</i> <0,001 <i>P</i> <0,001	13,8±0,05 14,45±0,36 <i>P</i> >0,1 <i>P</i> <0,001

Примечание. *P* — достоверность различий между данными для нормы и опыта; *P*₁ — между данными для 45- и 90-дневных подопытных животных.

дриальной фракции зрителной коры (поле 17), затем в переднем двухолмии соответственно на 137 и 90% по сравнению с нормой, тогда как в наружном коленчатом теле наблюдалось незначительное снижение общей активности фосфатактивируемой глутаминазы.

Сопоставляя данные, полученные при 45- и 90-суюточной зрителной депривации, видно, что общая активность фермента достоверно повышается в исходной митохондриальной фракции зрителной коры (поле 17) на 53%, а в исходных митохондриях переднего двухолмия и наружного коленчатого тела снижается на 60 и 22%.

Таким образом, обнаружены различия в общей активности митохондриальной фосфатактивируемой глутаминазы в условиях зрителной депривации, особенно при удлинении ее сроков.

Характерен тот факт, что закономерности, наблюдавшиеся в общей активности фосфатактивируемой глутаминазы в исходных митохондриальных фракциях структур зрителного анализатора мозга собак при ранней зрителной депривации, также обнаружены в удельной активности фермента.

Удельная активность фермента в исходных митохондриальных фракциях зрителной коры (поле 17) и переднего двухолмия достоверно повышается на 98 и 125% и остается неизменной в наружном коленча-

том теле при 45-суюточной зрителной депривации. Характерен тот факт, что при удлинении срока зрителной депривации до 90 суток удельная активность фермента резко возрастает в исходных митохондриальных фракциях зрителной коры (поле 17), переднего двухолмия соответственно на 151 и 101%, но в переднем двухолмии уровень ее по сравнению с 45-суюточной зрителной депривацией на 24% ниже, тогда как в наружном коленчатом теле удельная активность фосфатактивируемой глутаминазы как у 45-, так и 90-суюточных зрително депривированных животных находится на уровне контрольных групп животных.

Таким образом, выявлено, что при 45-суюточной зрителной депривации общая и удельная активность фосфатактивируемой глутаминазы достоверно повышается в исходных митохондриальных фракциях структур зрителного анализатора мозга собак, за исключением наружного коленчатого тела, где удельная активность фермента находится на уровне нормы. При удлинении сроков зрителной депривации до 90 суток наблюдается значительное повышение общей и удельной активности фермента в исходной митохондриальной фракции зрителной коры (поле 17) и их снижением в переднем двухолмии при сравнении с 45-суюточной зрителной депривацией.

В условиях зрителной депривации в митохондриях исследованных структур зрителного анализатора мозга собак общая и удельная активности фосфатактивируемой глутаминазы изменяются по-разному, что связано с функциональными особенностями этих структур зрителного анализатора мозга собак, подвергающихся зрителной депривации с момента рождения до 45- и 90-дневного возраста.

Итак, при удлинении сроков зрителной депривации до 90 суток фермент фосфатактивируемая глутаминаза, с одной стороны, более интенсивно дезамидируя глутамин, превращает его в глутаминовую кислоту, с другой стороны, увеличивается уровень аммиака в митохондриях зрителной коры (поле 17) и наружном коленчатом теле.

Высокая чувствительность фосфатактивируемой глутаминазы в митохондриях структур зрителного анализатора при зрителной депривации имеет большое функциональное значение, позволяя регулировать фермент по принципу отрицательной обратной связи при малых изменениях концентрации продуктов реакции [11]. Таким образом, при зрителной депривации фермент фосфатактивируемая глутаминаза в митохондриях зрителной коры (поле 17) и наружном коленчатом теле находится в более активном состоянии, чем в митохондриях переднего двухолмия.

Литература

- Агаев Т. М. — Укр. биохим. журн., 1979, 51, № 1, с. 31—34.
- Агаев Т. М. — Укр. биохим. журн., 1982, 54, № 4, с. 414—417.
- Агаев Т. М. Закономерности возрастного формирования системы глутаминовой кислоты в зрителном анализаторе мозга. Автореф. докт. дисс. — Л.: ЛГУ, 1983, с. 41.
- Бусник М. М. — Сб. научн. трудов Ин-та мозга АМН СССР. — М., 1975, 4, с. 220—227.
- Бусник М. М., Пигарева З. Д. — Ж. нейропатологии и психиатрии, 1974, т. 74, № 9, с. 1345—1349.
- Кунерт Э., Доведова Е. Л. — Вопр. мед. химии, 1979, 24, № 4, с. 460—465.
- Кватте Е. Glutamine/Hendbook of neurochemistry. — New York, London, 1993, v. 3, p. 405—422.
- Кватте Е. Enzymes of cerebral glutamine metabolism/Glutamate metabolism in mammalian tissues. — Berlin, 1984, p. 32—48.
- Магеррамов А. Г., Зайкин А. А., Блева Л. В. — Укр. биохим. журн., 1979, т. 51, № 5, с. 549—551.
- Do Robertis E. — Science, 1967, 156, № 3777, p. 907—914.
- Kvatte E., Lenda K. — Neurochem Res. 1982, v. 7, № 7, p. 667—678.

Азербайджанский медицинский институт

Поступило 13.IV.1988

ЕРКЭН ПОСТНАТАЛ ОНТОКЕНЕЗДЭ ИШЫГДАН МӘҮРҮМИЙЛӘТИ
ЗАМЛАНЫ ИТИН КӨРМә АНАЛИЗАТОРУНУН СТРУКТУРЛАРЫНЫН
МИТОХОНДРИЈАСЫНДА ФОСФАТӘЛАГӘЛИ ГЛУТАМИНАЗА
ФЕРМЕНТИНИН ФӘЛЛЛÝГÝ

Мәгәләдә мүэйжән олумышында ки, күчүкләр анадан дөгүлдүгдан соңра 45 күн гаранинда сакланылдырга (ишигдан мәйрум едиликкә), харичи дизәнзәр теро-
мосын мүстәсис олмагла, көрмә анализаторунуң башы шәбәләринин митохондријасын-
да фосфаталагали глутаминаза ферментинин умуми фәлллýгы чидди јүксәлир.

Көрмә анализаторунун ишигдан мәйрумийтенин 90-чы күнүндә фосфаталагали
глутаминаза ферментинин умуми ва хүсуси фәлллýгы көрмә габыгынын 17 сабасинин
митохондријасында норма яисбәтән кифајет дәрәчәдә јүксәләр. Лакин бу мүлдәтдә
би гоша тәнәнни митохондријасында ферментин умуми ва хүсуси активилиги 45 күнлүк
ишигдан мәйрумийттә иисбәтән хәләл азалып ва бу дајишниклик ногиги дајишниклик
дир. Белолика, ишигдан мәйрумийтени оңтөкенетик инкизатын мухтәлиф мүддәт-
ләрнәнде (45 ва 90 күннән кимн) көрмә анализаторунун айры-айры шәбәләринин мито-
хондријасында фосфаталагали глутаминаза ферментинин фәлллýгынын дәјишилмәснин-
дәки гапунаујуулуглар һәмни структурларын функциясы илә сыйхы алагәдәрдым.

R. A. Babakhanov, Sh. I. Gasanova, T. M. Agaev

PHOSPHATE-ACTIVATED GLUTAMINASE ACTIVITY IN MITOCHONDRIA OF
THE DOG VISUAL ANALYZER STRUCTURES DURING
EARLY VISUAL DEPRIVATION

During 45 day visual deprivation overall and specific activity of phosphate-activated
glutaminase were shown to increase considerably in the dog initial mitochondrial fractions
of the brain visual analyzer, the exception was formed by the exterior geniculate body
with specific enzyme activity at a normal level. Under prolonged visual deprivation up
to 90 days considerable increase in overall and specific enzyme activity in the initial mi-
tochondrial fraction of the visual cortex (field 17) and decrease in the superior colliculus,
as compared to 45 day visual deprivation, was shown.

Under visual deprivation in mitochondria of the investigated structures of the dog
visual analyzer, overall and specific activity of phosphate-activated glutaminase was found
to change differently, this is associated with functional peculiarities of the visual analy-
zer structures subjected to visual deprivation from the moment of birth up till 45 and
90th postnatal day.

Чл.-корр. АН АзССР А. Н. ГЮЛЬХАМЕДОВ, А. И. БАЕВА,
З. А. МУГАЛИНСКАЯ, А. А. ХАЛИЛОВА

ТЯЖЕЛЫЕ МЕТАЛЛЫ В ПОЧВАХ ЗОНЫ ТЕХНОГЕННЫХ
ВЫБРОСОВ СУМГАЙТСКОГО СУПЕРФОСФАТНОГО ЗАВОДА

Загрязнение планеты токсическими химическими соединениями является одной из причин деградации освоенных экосистем и главным отрицательным результатом воздействия человека на окружающую среду.

В последние годы прочно установлен термин «антропогенные биогеохимические аномалии» — территории, на которых установлено резкое повышение концентрации отдельных элементов в почвах по сравнению с естественными, вследствие техногенного загрязнения окружающей среды. Содержание металлов в почве в макролючествах становится токсичным для растительности.

В этой связи проводятся изыскательные работы по изучению содержания тяжелых металлов в почвах вблизи промышленных, химических предприятий, предприятий цветной и тяжелой металлургии, нефтепромыслов и транспортных артерий. Исследования по вопросам загрязнения окружающей среды проводятся в различных аспектах.

Так, Б. Н. Золотарева, В. Е. Остроумов (1982) провели оригинальные работы по определению потока элементов из атмосферы в почвы лесостепной зоны. Ими установлено, что выпадение меди и цинка в растворимой форме сопоставимо с выпадением этих элементов с пылью, в то время как никель и серебро оседают с пылеватыми частицами, V. Soon., T. Bales (1982) в результате своих исследований указывают, что поступление тяжелых металлов в растения связано с кислотно-растворимыми группами металлов, загрязняющих почву.

Указывается, что на территории, прилегающей к металлургическому заводу, происходит сильное загрязнение почв свинцом. Повышенное содержание свинца в почвах доходит до 4004 мг/кг почвы. По мере удаления от источника загрязнение почв свинцом слабеет и концентрация его падает до 872 мг/кг почвы (H. Zehn, 1982).

По мнению B. A. Whilton, P. Y. Say (1975) токсичность тяжелых металлов определяется эффектом комплексообразования. Поступление тяжелых металлов в живой организм в большой степени зависит от содержания органического вещества, pH, жесткости воды, насыщенности водоемов кислородом, температуры и других факторов.

В работе B. И. Ильина и M. Степановой (1982) отмечается, что высокая дисперсность почв и их гумусность являются защитными свойствами поступления тяжелых металлов в растения.

Установлен ряд закономерностей технофильности многих химических элементов, в том числе таких, как свинец, кадмий, ртуть и др. B. Н. Золотарева, И. И. Скрипниченко (1981) отмечают, что про-

исходит накопление тяжелых металлов в лесной подстилке, гумусово-аккумулятивном и иллювиальном горизонтах, а также на геохимических барьерах. При этом авторы указывают, что кислая среда способствует миграции тяжелых элементов в ландшафтах, а илистая фракция почв закрепляет эти металлы и уменьшает миграцию их в почвенном профиле.

И. Г. Важенин (1981) отмечает, что концентрация тяжелых металлов, в частности, марганца, хрома, цинка, меди, никеля, стронция, свинца и др. всегда в почвах вблизи промышленных предприятий. При этом загрязнение почв обусловливается химическим составом, физическими свойствами техногенных выбросов, высотой заводских труб, направлением и скоростью ветра, температурой, количеством осадков и рельефом местности. И. Г. Важенин подчеркивает, что основное количество загрязнителей осаждается в самом верхнем слое почв (1–5 см).

Имеются сведения, что в основном метровая толща почвы более обогащается ртутью и свинцом по сравнению с почвообразующей породой. В щелочных и карбонатных свинец прочно закрепляется, такие почвы некоторые авторы называют фиксаторами (J. J. Hurinak, Saultian—Medrano, 1974).

В промышленном районе Зауралья проведены исследования, которые показывают, что максимальная плотность цинка, свинца и кадмия отмечена в зоне радиусом 1 км от цинкового завода. По мере удаления от источника загрязнения по радиусу выпадение тяжелых металлов уменьшается.

Исследования Р. Р. Султанова (1983) проведены на Апшеронском полуострове и посвящены геохимии антропогенных ландшафтов в его северо-западной части. Автор отмечает, что аккумуляция металлов в почвах и растениях носит прямую связь с направлением господствующих ветров.

Наши исследования проведены с целью выявления влияния выбросов отдельного завода на содержание тяжелых металлов в почвах Сумгайтского промышленного комплекса.

Исследования проводились по четырем основным рубам с центром производственного предприятия — суперфосфатный завод. Для исследований почвенные образцы отбирались по методике для определения тяжелых металлов (И. Г. Важенин, 1981). Глубина отбора почвенных образцов составляла в основном 50 см с интервалом 10 см. Смешанные образцы составлялись из 5–10 точек на глубину 0–5 см. Общее содержание тяжелых металлов определялась спектрометрически. Коэффициент концентрации (КК) для каждого металла рассчитывался по отношению к кларковому значению элемента.

На основании наших исследований (1983–1985 гг.) установлено, что содержание и распределение тяжелых металлов по северному, южному, западному и восточному радиусам на расстоянии 5 км от завода лежит в различных интервалах. Для каждого радиуса исследований характерен свой ряд концентраций элементов. Однако следует подчеркнуть, что для всех почв, независимо от направления исследований, характерно повышенное содержание молибдена в почвах. Последнее, в определенной степени, определяется геологоморфологическим строением Апшеронского полуострова.

В почвах северного радиуса по содержанию валовой формы эле-

ментов их можно расположить в следующий убывающий ряд: медь (КК 200–1000), свинец (КК 166–583), молибден (КК 150–400), кобальт (КК 100–250). По данным коэффициента концентрации на глядко видно загрязнение почвы северного радиуса указанными элементами. Особенно это подчеркивается тем, что другие тяжелые металлы, такие как марганец, никель, цинк и цирконий содержатся в почвах на уровне кларковых значений и ниже.

Для почв южного радиуса характерно загрязнение молибденом (КК 350–4500), медью (КК 50–1750), цинком (КК 60–500) и кобальтом (КК 87,5–312). При этом в почвах этого радиуса наблюдается недостаточность валовых форм марганца и никеля.

По восточному радиусу выделяются почвы отрицательных форм рельефа. В них отмечается повышенное содержание меди (КК до 10 000), цинка (КК до 4 000), свинца (КК 125–1666), локально стронция и молибдена (КК до 500). В целом же для почв западного направления характерно содержание тяжелых металлов в пределах кларка. Наблюдается низкое содержание таких элементов, как цирконий, марганец, никель и ванадий — меньше кларковых величин.

Почвы восточного радиуса имеют только высокое содержание молибдена (КК 250–2750). В почвах отрицательной формы рельефа этого направления наблюдается некоторая концентрация меди, цинка и кобальта. В то же время в почвах данного направления фиксируется низкое содержание марганца и никеля.

Отдельно стоит рассматривать почвы территории завода и прилегающие к ограде, ограничивающей эту территорию. На территории завода выделяется локальная концентрация тяжелых металлов в почвах, приуроченных к складским помещениям и транспортным артериям. Здесь накапливаются цинк, свинец, медь, цирконий и стронций. В отдельных образцах обнаруживается ртуть. Следует также отметить, что при высоком содержании свинца в почвах отмечается определенная сопряженность его с содержанием серебра.

Как правило, наибольшая концентрация тяжелых металлов отмечается в 0–5-сантиметровом слое почв.

Проникновение тяжелых металлов чаще всего ограничивается глубиной 20 см от поверхности, что говорит о техногенном происхождении загрязнения почв. Ограниченностю миграции элементов способствует высокая карбонатность почв, так как тяжелые металлы имеют тенденцию к образованию подвижных соединений в кислой среде. Важную роль в этом играют также климатические условия — малое количество осадков и сильные ветры. С последним связано наиболее выраженное загрязнение почв северного радиуса исследования.

Резюмируя сказанное, следует отметить что: 1) для зоны техногенных выбросов Сумгайтского суперфосфатного завода наиболее характерно загрязнение почв молибденом и медью; 2) отмечается локальное загрязнение почв свинцом, цинком, цирконием и стронцием у складских помещений завода и по периметру его территории.

Азәрб. ССР ЕА мүхбүр үзүү Э. Н. Күләһмәдов,
А. И. Бајева, Е. Э. Мугалинскаја, А. А. Хәлилова

**СҮМГАЙЫТ СУПЕРФОСФАТ ЗАВОДУНУН ТЕХНОКЕН ТУЛЛАНТЫЛАРЫ
ЗОНАСЫНЫН ТОРПАГЛАРЫНДА АҒЫР МЕТАЛЛАР**

Сүмгайыт суперфосфат заводунун технокен туллантылары зонасы үчүн молибден
ва миңелә чиркәләмә соңғыевидир.

Гургушун, синк, спирониум ва строисиумла чиркәләмәләр эразинин периметри ва
 завод антарларына яхын саңәләрдә мүшәниде олунур.

A. N. Giulakhmedov, A. I. Baeva, E. A. Mugalinskaya, A. A. Khalilova

**HEAVY METALS IN THE SOILS OF THE ZONE OF TECHNOGENE
PRODUCTS OF THE SUMGAIT SUPERPHOSPHATE WORKS**

The position of the soil by molybdenum and copper is characteristic to the zone of
technogene products of the Sumgait works.

The local pollution of the soils by lead, zinc, zirconium and strontium near the storage
facilities of the works and on its whole area is shown.

АЗӘРБАЙЧАН ССР ЕЛМЛӘР АКАДЕМИЈАСЫНЫН МӘРҮЗӘЛӘРИ

ДОКЛАДЫ АКАДЕМИИ НАУК АЗЕРБАЙДЖАНСКОЙ ССР

TOM XLIV ЧИЛД

№ 9

1988

УДК 616. 12—008. 331. 1—07

МЕДИЦИНА

В. В. СТРЕКАЛОВА, Ю. И. СУВОРОВ, А. Н. ДЕДЕНКОВ,
Дж. Г. ХАЧИРОВ, З. М. МУСАЕВ

**ВЛИЯНИЕ ФУРОСЕМИДА НА ОБМЕН НАТРИЯ У КРЫС
ЛИНИИ ВИСТАР В УСЛОВИЯХ ДЛЯТЕЛЬНОЙ СОЛЕВОЙ
НАГРУЗКИ В СОЧЕТАНИИ С ДЕФИЦИТОМ БЕЛКА И ДИЕТЕ
ПО ДАННЫМ РАДИОМЕТРИИ ВСЕГО ТЕЛА С Na-22**

(Представлено академиком АН Азербайджанской ССР М. Д. Джавадзаде)

Как известно, основным механизмом действия диуретиков является их влияние на водно-солевой обмен, приводящее в свою очередь к перестройке целого ряда регулирующих систем как нервных, так и гуморальных. Вместе с тем, исследований, направленных на изучение состояния обмена натрия в этих условиях в организме человека крайне мало. В какой-то мере это можно объяснить сложностью современных методических подходов к изучению обмена натрия в клинике. В то же время, изучение обмена натрия в эксперименте не смогло оказать практической помощи в понимании патогенетических механизмов, лежащих в основе развития артериальной гипертензии (АГ), так как адекватных экспериментальных моделей, позволяющих исследовать нарушения водно-электролитного обмена и их роль в развитии АГ, по существу, нет. Модели «солевой» гипертензии, предложенные в 50—60 годы, не получили развития в связи с тяжелыми побочными эффектами необходимых солевых нагрузок, значительно превышавших уровень физиологической потребности [4, 5, 8, 11]. Снижение же уровней солевых нагрузок не позволяет индуцировать экспериментальную гипертензию без дополнительных воздействий (уменьшение почечной массы, адреналэктомия, введение дезоксикортикостерона или индометацина), что ограничивает значение данных моделей изучением роли отдельных систем контроля артериального давления (АД) в организме [1, 2, 10, 13].

В настоящей работе проведено изучение влияния фуросемида на обмен натрия у животных с экспериментальной гипертензией, развивающейся спонтанно в условиях хронической солевой нагрузки, незначительно превышающей физиологический уровень благодаря сочетанию с низкобелковой диетой (НБД).

МАТЕРИАЛ И МЕТОДЫ

Работу проводили на крысах-самцах линии Вистар, с 1,5-месячного возраста получавших НБД (6—8% белка против 23—24% в норме) и солевую нагрузку в виде 2%-ного раствора поваренной соли

вместо воды для питья в свободном доступе. Исходное количество животных — 25.

Предварительно нами было проведено исследование влияния сочетания хронической солевой нагрузки в виде 1—2%-ного растворов поваренной соли для питья с НБД на динамику АД у крыс (самцов) линии Вистар. Измерение АД систолического проводили неинвазивным способом у наркотизированных животных с помощью хвостовой манжеты и резистивного датчика по классической методике [6]. Было установлено, что НБД, с одной стороны, модулирует питьевое поведение животных, вследствие чего прием солевых растворов, а значит, и уровень потребления натрия, существенно снижаются и приближаются к физиологическому уровню; с другой стороны, по-видимому, снижается «порог» гипертензогенного действия избыточного потребления поваренной соли, так как при этих условиях у экспериментальных животных спонтанно начинает повышаться уровень систолического АД (через 2—3 мес. такого режима), до 9—12 мес. гипертензия носит лабильный характер, затем стабилизируется. Как правило, уровни АД не превышают 160—170 мм рт. ст. (при 115—120 мм рт. ст. у интактных крыс-самцов линии Вистар в условиях стандартной лабораторной диеты, то есть, полноценного питания, и воды для питья в свободном доступе).

Таким образом, в условиях хронической солевой нагрузки в сочетании с НБД у экспериментальных животных развивается спонтанная гипертензия мягкого характера, отличающаяся стадийным течением и имеющая определенное клиническое сходство с гипертонической болезнью (ГБ) человека. Наряду с приближением уровней солевой нагрузки к физиологическому, это позволяет рассматривать данную модель как наиболее адекватную для изучения роли нарушений водно-солевого обмена в патофизиологических механизмах первичной АГ, а также для изучения некоторых механизмов действия антигипертензивных препаратов.

Влияние фуросемида на обмен натрия исследовали у животных в возрасте 16—18 мес. (стадия стабильной гипертензии), с помощью радиометрии всего тела с ^{22}Na , по методике, описанной ранее [3]. Первое исследование обмена ^{22}Na проводили в течение 3 недель, в конце этого периода регистрируемая активность тела животного снизилась до фонового уровня во всех случаях. После измерения систолического АД (в течение трех дней) начали курс фуросемида. Начальная доза составляла 1,5 мг на кг м. т., постепенно она была увеличена до 2 мг на кг м. т. Введение производили раз в сутки, вводя суточную дозу в 2 приема, с интервалом между ними 6—8 ч. Ежедневно контролировали уровни потребления 2%-ного раствора поваренной соли. После стабилизации изменений уровня потребления солевого раствора приступили к повторному исследованию обмена ^{22}Na , курс фуросемида не прекращали. Учитывая форсирующее действие фуросемида на почечную экскрецию натрия, количество вводимого препарата ^{22}Na увеличили до 7—8 мкКи (0,3 кБк).

Анализ кривых выведения ^{22}Na из организма животных проводили на ЭВМ EC-1033, пакет-программ BMDP, США. В соответствии с 3-я экспонентами, сумма которых позволяла наилучшим образом описать экспериментальные кривые, нами разработана 3-камерная модель обмена ^{22}Na в организме. Как мы полагаем, 1-я экспонента (быстрая)

Таблица 1

Уровень артериального давления, показатели обмена натрия, в зависимости от типа обмена натрия, у животных с экспериментальной гипертензией ($M \pm s$)

Тип обмена натрия	Распределение натрия в группах, %	Погребение		Показатели обмена $^{22}\text{-натрия}$							
		АД, мм рт. ст	2% -ный NaCl , мг/день	A_1 , %	A_2 , %	A_3 , %	S_1	S_2	S_3	$T_{1/2}$, дни	
A	30	141 \pm 11	31 \pm 11	26,6 \pm 8,7	15,5 \pm 6,1	70,5 \pm 10,7	14,0 \pm 8,8	0,17 \pm 0,04	436 \pm 107	79 \pm 51	5,15 \pm 0,55
C	40	136 \pm 5	55 \pm 27	39,1 \pm 20,9	50,3 \pm 17,0	37,8 \pm 14,6	11,9 \pm 5,2	38 \pm 10	225 \pm 83	77 \pm 30	3,41 \pm 0,82
B	30	129 \pm 3	41 \pm 16	30,7 \pm 13,1	56,6 \pm 9,9	37,5 \pm 15,1	7,0 \pm 5,3	24,9 \pm 16,8	219 \pm 55	49 \pm 41	5,17 \pm 0,17

Приложение: Здесь и в табл. 2, 3
 A_1 , A_2 , A_3 — распределение натрия в организме — сосудистое, интерстициальное и тканевое;
 S_1 , S_2 , S_3 — скорость выведения (плющадь под кривой) ^{22}Na из сосудистой, интерстициальной и тканевой камеры организма;
 $T_{1/2}$ — кругооборот ^{22}Na во всем организме.

Таблица 2

Исследование, дата	АД систолич., мм рт. ст.	Погребение		Показатели обмена $^{22}\text{-натрия}$				
		2% -ный NaCl , мг/день	Na^+ , мкб/день на кг м. т.	A_1 , %	A_2 , %	A_3 , %	$T_{1/2}$, дни	
До фуросемика	135 \pm 3	44 \pm 12	32,8 \pm 8,3	47,5 \pm 8,8	47,5 \pm 8,3	13,9 \pm 2,4	4,46 \pm 0,63	
После фуросемика	117 \pm 3	47 \pm 7	34,1 \pm 5,3	75,3 \pm 8,8	26,8 \pm 8,3	—	2,77 \pm 0,62	
P	<0,01	>0,05	—	—	<0,001	<0,01	—	<0,01

Таблица 3

Исходный тип обмена Na	АД, мм рт. см	Потребление		A_1 , %
		2%-ный NaCl, мл/день	Na, мэбв/24 на кг м. т	
<i>A</i>	121 ± 6	39 ± 20	32,1 ± 13,3	64,9 ± 27,7
<i>C</i>	114 ± 5	67 ± 14	44,4 ± 9,6	94,8 ± 3,6
<i>B</i>	118 ± 10	29 ± 12	22,3 ± 6,5	62,6 ± 7,5

обусловлена выведением радионуклида из сосудистого русла сразу после всасывания его в желудочно-кишечном тракте (сосудистая камера), 2-я экспонента (средняя) — процессом выведения ^{22}Na , распределившегося в виде свободных ионов в интерстициальной жидкости (интерстициальная камера), 3-я (медленная) — выведением препарата, образовавшего лабильные комплексы с некоторыми тканевыми внеклеточными структурами (гликозаминогликанами основного вещества сосудистой стенки, кожи — тканевая камера).

Параметры экспонент позволяют рассчитать некоторые показатели обмена ^{22}Na : распределение между камерами в % (амплитуды экспонент, A), скорость (темперы) обмена каждой камеры в % в день, (V), скорость выведения из каждой камеры (площадь под кривой, S), кругооборот ^{22}Na во всем организме, в днях ($T_{1/2}$):

$$V = A : T \times 0,693,$$

где T — период полуыведения экспоненты,

$$S = A \times T;$$

$$T_{1/2} = S_{\text{общ}} : 100.$$

РЕЗУЛЬТАТЫ И ОБСУЖДЕНИЕ

Исследование обмена натрия до фуросемида выявило неоднородность группы животных и позволило выделить 3 типа обмена, условно названные *A*, *C* и *B*. Если положить в основу характеристики обмена натрия скорость выведения ^{22}Na из сосудистой камеры, то тип *A* можно назвать быстрым, тип *C* — умеренным, тип *B* — медленным (табл. 1).

Как мы полагаем, скорость выведения ^{22}Na из сосудистой камеры определяется 2-мя основными процессами: реальной экскрецией и транскапиллярным обменом. Следовательно, высокая скорость выведения при равных условиях поступления натрия извне, по-видимому, отражает повышение капиллярной проницаемости для натрия, об этом же может свидетельствовать и увеличение интерстициального распределения ^{22}Na наряду с замедлением его выведения из 11 камеры (табл. 1). В отличие от типа *A*, типы *C* и *B* характеризуются до-

Показатели обмена $^{22}\text{-натрия}$

A_1 , %	A_2 , %	S_1	S_2	S_3	$T_{1/2}$, дни
30,0 ± 23,9	—	88 ± 52	135 ± 129	—	2,58 ± 0,62
4,0 ± 3,0	—	129 ± 13	20 ± 13	—	1,53 ± 0,27
36,0 ± 9,7	—	278 ± 92	154 ± 37	—	4,63 ± 1,08

минированием сосудистого распределения, но для типа *B* характерно значительно более медленное выведение ^{22}Na из сосудистой камеры (табл. 1). Кругооборот ^{22}Na во всем организме у животных с обменом натрия типа *C* оказался достоверно короче, чем у остальных ($p < 0,01$), тогда как по уровню потребления натрия отличие недостоверно. Можно предположить, что это обусловлено более высоким уровнем натрийуреза у данных животных. Средний уровень АД оказался наиболее высоким у животных с обменом натрия типа *A* и самым низким — с обменом натрия типа *B* (хотя из-за значительной вариабельности, в какой-то мере обусловленной и относительной малочисленностью подгрупп животных, отличия недостоверны). Под влиянием фуросемида уровень АД у 80% животных в той или иной степени снизился, у остальных — не изменился. Среднее снижение АД в группе составило около 20 мм рт. ст. (табл. 2). Для показателей обмена натрия было характерно: перераспределение ^{22}Na из интерстициального пространства во внутрисосудистое и значительное замедление тканевого обмена ^{22}Na . Кругооборот ^{22}Na во всем организме сократился почти вдвое.

Вместе с тем, существенные особенности реакции на фуросемид обнаружены в зависимости от исходного типа обмена натрия (табл. 3). У животных с обменом натрия типа *A* произошло наиболее выраженное перераспределение ^{22}Na из интерстициального пространства во внутрисосудистое относительно исходных показателей, при этом, как и следовало ожидать, выведение из сосудистой камеры оказалось более медленным, а из интерстициальной — наоборот. Это еще раз подтверждает высказанное предположение о том, что в основе обмена натрия указанного типа лежит нарушение транскапиллярного обмена. По-видимому, под влиянием фуросемида эта основа в значительной мере устраняется, что может быть отражено изменчившимся характером распределения ^{22}Na у животных с исходным обменом натрия типа *A*.

У животных с исходным обменом натрия типа *C* на фоне фуросемида сосудистое распределение ^{22}Na оказалось повышенным, а кругооборот во всем организме — еще более укороченным. Возможно, это свидетельствует о наиболее интенсивном ответе почек на фуросемид у данной подгруппы животных. Вместе с тем, увеличение сосудистого распределения ^{22}Na может быть обусловлено перемещением части ин-

терстициальной жидкости во внутрисосудистое пространство, что, по всей вероятности, может привести к неблагоприятным последствиям, например, возможному увеличению объема циркулирующей плазмы.

У животных с обменом натрия типа В изменения показателей обмена ^{22}Na под влиянием фуросемида оказались минимальными и по существу коснулись лишь тканевой фазы.

Таким образом, можно заключить, что фуросемид, вероятно, вызывает существенное перераспределение натрия из интерстициального пространства во внутрисосудистое (и как следствие — перераспределение внеклеточной жидкости); усиление ренальной экскреции, степень которого, по-видимому, зависит от исходного типа обмена натрия, а также замедление тканевого обмена натрия, то есть, увеличение его связанной, депонированной фракции. Последнее обстоятельство, как можно полагать, имеет двоякое значение: с одной стороны, это, по-видимому, способствует снижению уровня свободного обменоспособного натрия в организме, что особенно важно при недостаточной интенсивности ренального ответа, с другой стороны, увеличение связанной фракции натрия, например, в сосудистой стенке, возможно, негативно отражается на морфологических и функциональных свойствах сосудов. Полученные данные в какой-то мере могут быть привлечены к объяснению известного парадокса: несмотря на эффективное снижение АД, достигаемое у большинства больных с ГБ с помощью диуретиков, по данным многих исследований, риск сердечно-сосудистых осложнений у таких больных все же заметно не снизился [7, 9, 12]. Возможно, длительное применение диуретиков у больных ГБ сопровождается нарушениями обмена натрия, о которых можно предполагать, исходя из экспериментальных данных, перераспределением натрия и, видимо, воды из интерстициального пространства во внутрисосудистое, способное в ряде случаев привести к относительному увеличению объема циркулирующей плазмы, а также накоплению связанного натрия во внеклеточных структурах.

Литература

- Грольман А. Гипертоническая болезнь.—М., 1953.
- Геллер Р., Мак Гифф Дж. Артериальная гипертензия.—М., 1980, с. 102—108.
- Стрекалова В. В., Хачиров Дж. Г., Деденков А. Н., Каплан Н. А.—Cor et vas, т. 29, № 1, 1987, с. 56—63.
- Dahl L., Schackow E.—Can. Med. Assoc. J., 1964, v. 90, p. 155—161.
- Dahl L., Knudsen K., Heine M., Leit G.—Circ. Res., 1968, v. 22, p. 11—18.
- Friedman M., Freed S.—Proc. Soc. Exptl. Biol. Med., 1949, v. 70, p. 670—673.
- Kaplan N.—Am. J. Cardiol., 1984, v. 53, p. 2A—8A.
- Koletsky S.—Ibid, 1961, v. 8, p. 576—581.
- Mc Carron D.—Ibid, 1984, v. 53, p. 9A—11A.
- Meneely G., Tucker R., Darby W., Auerbach S.—J. Exptl. Med., 1953, v. 98, p. 71—76.
- Sapirstein L., Brandt W., Drury D.—Proc. Soc. Exptl. Biol. Med., 1950, v. 73, p. 82—85.
- Toth T., Horwitz R.—Amer. J. Med., 1983, v. 75, p. 482—488.
- Wilgram G., Ingl D.—Amer. J. Cardiol., 1961, v. 8, p. 576—581.

Институт мед. радиологии АМН СССР

Поступило 3. II 1988

В. В. Стрекалова, Ю. И. Суворов, А. Н. Деденков, Д. Г. Хачиров, З. М. Мусаев

РАДИОМЕТРИК МӨЛҮМНАТ УЗРЭ $\text{Na} - 22$ ДИНЕТАСЫНДА ОЛАН ВИСТАР ЧИНСЛИ СИЧОВУЛЛАРЫН ЗУЛАЛ ЧАТМАМАЗЛЫГЫ ИЛЭ БӘРЛӘР УЗУН-МУДДӘТЛІ ДУЗЛА ДОДДУРУЛМАСЫ ШӘРАТИНДӘ НАТРИ МУБАДИЛӘСИНӘ ФУРОСЕМИДИН ТӘСИРИ

Тәдгигаттар көстөрүр ки, фуросемид натри вэ мајесин дахили сөтниндән дамар дахилинэ пајланмасына, натринин харич олмасынын сүр'этленмәсінэ, һәм шинин онун бирләшмә фракциясынын артмасына сәбәб олур. Бу бир тәрәфдән јәғи ки, организмде

сәрбәст мубадилә габилийтли натри сәвијїесинин етмасын көтириб чыкарыр ки, бу да ренал чавабын интенсивліккін чатмамазлығы заманы хүсусын вачибдир. Дикәр тәрәфдән фуросемидин дамар диварында натринин бирләшдиричи фракциясынын артмасына сәбәб олмасы, онун дамарларын морфологияның функционал тәркибинде мәнфи экз олумасына имкан жарадыр.

V. V. Strekalova, Yu. I. Suvorov, A. N. Dedenkov,
G. G. Hachirov, Z. M. Musayev

INFLUENCE OF FUROSEMIDE ON SODIUM METABOLISM IN VISTAR RATS UNDER THE PROLONGED SALT LOADING IN COMBINATION WITH LOW-PROTEIN DIET ACCORDING TO $\text{Na}-22$ BODY RADIOMETRY DATA

The investigation revealed that furosemide induced intrinsic sodium and water redistribution from interstitial into intravascular space, renal sodium excretion increase and increase of sodium's fixed fraction in tissue depot. On the one hand this, probably, contributes to body free sodium decrease which is particularly important during lack of renal excretion rate, and on the other hand the increase of sodium's fixed fraction in vascular wall probably has a negative effect on functional and morphological properties of vessels.

Р. А. АБДУЛЛАЕВ, Х. М. МИРЗОЕВ

**ВЛИЯНИЕ ПРЕПАРАТА РАСТОРОПШИ ИЗ ФЛОРЫ
АЗЕРБАЙДЖАНА НА СОСУДЫ ИЗОЛИРОВАННОГО
СЕРДЦА КРОЛИКОВ**

(Представлено академиком АН Азербайджанской ССР Г. Г. Гасаковым)

Большой интерес представляет всестороннее изучение богатой растительной флоры Азербайджанской ССР.

Одним из широко распространенных в нашей республике растений является расторопша пятнистая из семейства сложноцветных. Она также широко произрастает в южных районах европейской части СССР, на Кавказе, в Средней Азии и в Западной Сибири [4].

В литературе имеются сведения об использовании семян расторопши пятнистой при некоторых заболеваниях печени и желчевыводящих путей. Масло из семян расторопши также применяют в быту [5, 8].

А. И. Караев и соавторы [6], Р. К. Алиев, П. А. Юзбашинская [3] исследовали семена расторопши пятнистой из флоры Азербайджана в химическом и фармакологическом отношении. Ими было установлено, что в семенах расторопши содержится жирное масло (32%), алконоиды, около пяти флавоноидов, сапонины, горькие вещества, органические кислоты, витамины С, К и др. Полученные им галеновые препараты из семян расторопши пятнистой усиливают сократительную активность гладкой мускулатуры кишечника, матки и других гладкомышечных органов [3, 6].

Р. А. Абдуллаев и соавторы [1, 2], изучив некоторые фармакологические действия семян расторопши пятнистой отмечают, что жидкий спиртовой экстракт из семян в дозе 2 мл/кг перорально способствует снижению содержания сахара в крови интактных животных, особенно сильно у животных с аллоксановой гипергликемией. Этими же исследователями было установлено, что испытуемый препарат не является токсичным, в дозах 0,75—1 мл/кг внутривенно вызывает снижение артериального давления на 60—70 мм рт. ст. с незначительным кратковременным угнетением дыхания. На электрокардиограмме частота и амплитуда сокращений сердца под действием препарата не изменяются.

Особенно большое практическое значение имеет силибинин (легалон) — флавоноидное вещество, выделенное из расторопши пятнистой, оказывающее гепатозащитное действие, улучшающее обменные процессы печени, способствующее улучшению пищеварения. Этот препарат широко применяют в медицинской практике при острых и хронических гепатитах и церрозах печени [7].

Из приведенных литературных сообщений видно, что расторопша пятнистая в фармакологическом отношении изучена недостаточно, особенно мало исследований по изучению влияния препаратов этого расте-

Таблица I

Влияние препарата расторопши на сосуды изолированного

№ оп.	Строгисти-ческий показатель	Раствор Рингера (нс.)	Конц. препар. 1:5000	№ оп. Рингера (нс.)	Раствор Рингера (нс.)	Конц. препар. 1:1000	№ оп.	Раствор Рингера (нс.)	Конц. препар. 1:500	№ оп.	Раствор Рингера (нс.)	Конц. препар. 1:100	
1		2,10	1,90	7	2,05	1,30	13	2,55	2,30	19	2,0	0,85	
2		1,45	0,90	8	2,70	1,40	14	1,85	1,30	20	2,05	0,60	
3		3,20	2,10	9	2,30	1,90	15	4,15	3,10	21	3,20	1,65	
4		1,85	1,35	10	2,70	2,0	16	1,40	0,90	22	2,10	0,85	
5		2,40	1,80	11	2,45	2,15	17	3,30	2,45	23	2,80	1,60	
6		1,90	1,40	12	2,50	2,30	18	2,50	1,75	24	2,20	0,90	
<i>M ± m</i>		2,15 ± 0,9	1,58 ± 0,6		2,45 ± 0,10	1,84 ± 0,7		<0,01	2,62 ± 0,10	1,96 ± 0,7	<0,01	2,39 ± 0,10	1,07 ± 0,4

Таблица 2

Влияние ярепарата расторопши на сосуды изолированного остановленного сердца кроликов

Статистический показатель	Количество оттекающей жидкости, м.л./мин						
	№ оп.	Раствор Рингера (исх.)	Конц. препар. 1:5000	№ оп.	Раствор Рингера (исх.)	Конц. препар. 1:1000	№ оп.
1	2,10	1,80	7	3,10	2,65	13	2,20
2	1,40	1,10	8	2,10	1,40	14	2,20
3	1,55	1,10	9	2,60	1,30	15	2,25
4	1,60	1,10	10	2,55	1,30	16	1,35
5	2,20	1,80	11	3,05	2,05	17	2,60
6	1,50	1,0	12	2,40	1,60	18	2,50
$M \pm m$		$1,70 \pm 0,6$		$2,60 \pm 0,11$		$1,70 \pm 0,6$	

ния на сердечно-сосудистую систему.

В настоящей работе мы задались целью изучить влияние жидкого спиртового экстракта из семян расторопши пятнистой на сосуды изолированного сердца кроликов.

Действие препарата из семян расторопши пятнистой нами было изучено на реакцию сосудов как изолированного по Лангендорфу сокращающегося сердца, так и остановленного по Н. П. Кравкову сердца кроликов.

Состояние венечных сосудов в условиях сокращающегося сердца определяется его ритмической деятельностью и обменом веществ. Н. П. Кравков предположил метод изучения венечных сосудов на остановленном строфантином сердце.

Исследования проводились на здоровых сердцах 48 кроликов весом 2,2 до 3,5 кг.

Перфузию сосудов изолированного сердца животных мы производили жидким спиртовым экстрактом из семян расторопши пятнистой на жидкости Рингер-Локка в концентрациях 1:5000, 1:1000, 1:500, 1:100.

Результаты этих исследований приведены в табл. 1,2.

Из приведенной табл. 1 видно, что препарат из семян расторопши пятнистой в концентрациях 1:5000, 1:1000, 1:500, 1:100 способствует уменьшению количества жидкости, оттекающей из сосудов изолированного сокращающегося сердца кроликов, т. е. сужению венечных сосудов. Причем, наблюдаемое сужение сосудов изолированного сокращающегося сердца находится в прямой зависимости от примененной концентрации препарата. Например, если исследуемый препарат в концентрации 1:5000 уменьшает количество жидкости, оттекающей из сосудов изолированного сокращающегося сердца на 26,5%, в концентрации 1:1000 — на 24,5%, в концентрации 1:500 — на 25,2%, то в концентрации 1:100 — на 44,7%.

Почти аналогичная картина, но с более выраженным действием, наблюдается при использовании препарата из семян расторопши пятнистой на сосуды изолированного, остановленного строфантином сердца кроликов. Из табл. 2 видно, что препарат расторопши в концентрации 1:5000, способствует уменьшению количества жидкости, оттекающей из сосудов остановленного сердца на 23,5%, в концентрации 1:1000 на 34,6%, в концентрации 1:500 на 36,8%, а в концентрации 1:100 на 53,4%.

На основании проведенных исследований можно сделать следующие выводы.

Жидкий спиртовый экстракт из семян расторопши пятнистой в концентрациях 1:5000, 1:1000, 1:500, 1:100 суживает сосуды как изолированного сокращающегося, так и остановленного строфантином сердца кроликов. Сосудосуживающий эффект препарата расторопши зависит от примененной концентрации. Чем выше концентрация препарата в перфузии жидкости, тем сильнее происходит сужение сосудов изолированного сердца кроликов.

Литература

1. Абдуллаев Р. А., Гусейнов Д. Я., Мирзоев Х. М. — Азмединский журнал, 1985, № 5, с. 7.
2. Абдуллаев Р. А., Мирзоев Х. М. — Докл. АН АзССР, 1986, № 2, с. 78.
3. Алиев Р. К., Юзбашинская П. А. — Докл. АН АзССР, 1957, т. XIII, № 2, с. 195.
4. Гаммерман А. Ф., Кадаев Г. Н., Яценко-Хмелевский А. А. Лекарственные растения. — М., 1983, с. 304.
5. Гроссгейм А. А. — Лекарственные растения Кавказа, 1946, с. 41, 61, 298.
6. Караев А. И., Алиев Р. К., Рахимова А. Х. — Изв. АН АзССР, 1954, № 6.

Р. Э. Абдулаев, Х. М. Мирзэев

АЗЭРБАЙЧАН ФЛОРСЫНДАН ОЛАН АЛАГАНГАЛ ПРЕПАРАТЫНЫН
АДАДОВШАЛЫРЫНЫН АРЫЛМЫШ ҮРЭКДАМАРЛАРЫНА ТЭСИРИ

Тәдгигатлар 48 ададовшаларынын үројинде апарылышынди.

Арыйлымыш тәгәллүс едән вә строфантинде дајандырылыш үрәк-ган дамарларынын перфузиясы алагангал тохумларындан алынан дуру спиртли екстрактын 1000, 1:1000, 1:500, 1:100 концентрасијасы илә Рингер-Локк мәйлүлүнүн таркибинде едилшишdir.

Тәчрүбәләри иятичеси көстәрди ки, алагангал препараты ишләдилән концентрацијаларда һәм арыйлымыш тәгәллүс едән вә һәм да дајандырылыш үрәк-ган дамарларының дараддым. Препаратын дамардарадычы тә'сири онун концентрасијасынан асылышынди. Перфузия едилән маједә препаратын концентрасијасы на ғәдәр јүксәкдир, арыйлымыш үрәк ган дамарларының дарадлышы да бир о ғәдәр гүввәтли олур.

R. A. Abdullaev, H. M. Mirsoev

THE INFLUENCE OF THE DRUG RASTOROPSHI FROM [THE AZERBAIJAN FLORA ON THE RABBIT ISOLATED HEART VESSELS

The studies were performed on 48 rabbit hearts.

The isolated contracted and arrested by strophanthin heart vessels perfusion by liquid spirituous extract from Rastoropshia maculosa seeds was made on Ringer-Lokk's fluid in concentrations 1 : 5000, 1 : 1000, 1 : 500, 1 : 100.

The results of the experiments show, that the drug Rastoropshia in the used concentration narrows the vessels of both isolated and arrested heart. The vasoconstricted effect of the drug depends on its concentration.

The higher is its concentration in the perfusing fluid, the stronger is the isolated heart vessel's stenosis.

УДК. 930—26

И. Җ. НӘРИМАНОВ, Җ. Ф. ЧӘФӘРОВ

АЗЭРБАЙЧАНЫН ГӘДИМ ТҮНЧ БАЛТАЛАРЫ

(Азэрбајҹан ССР ЕА академики З. М. Бунјатов тәгдим етмишdir)

Бизим әсримизин 50-чи илләриндән башлајараг Азэрбајчанын еркән түнч дөврү абидәләринин бөјүк экспөријјәтиндән металлургија вә металишләмә сәнәтинә данир мұхтәлиф фактиқи материаллар өлдө едилшишdir [1].

Буилара металэртмә күрәләри, метал шлаклар, килдән һазырланыш бүтә, чөмчә вә көрүк учлуглары, күлчә үчүн тәкнәвары гәлибләр вә мұхтәлиф метал әшжалар мисал ола биләр. Металлургија илә бағылар олар бу тапынтылар ичәрисинде балта һазырланимасы үчүн истифадә олунмуш гәлибләр хүсусиәттән әһәмийјәтлидир. Белә балта гәлибләри Күлтәпә, Мишарчај, Гаракәпәктәпә, Борисполтәпә [1] вә археологи әдәбијаты илк дәфә дахил едилән Шортәпә илк түнч дөврү яшајыш мәскәнләриндән мә'лумдур. Ейни тип балта гәлибләрина Загафазијада Ерменистанын Шенгавит [2] вә Гарни [3] абидәләринде, набелә Дағыстанын Галгалатты [4] яшајыш яриндә тәсадүф олунмушдур. Шенгавит иүмүнәси дашдан, галан гәлибләр исә одадавамлы киңдән һазырланишдыр. Гәлибләр икى һиссәдән ибарәт олуб, көзлү балталарын һазырланимасы үчүн истифадә олунмушдур. Бүтүн гәлибләрә метал әринтиси гарын тәрәфдән тәкулмушдур. Саплагын көзлүк һиссәси, эсасән, даирәви гуруулушлудур.

Бу тип гәлибләрдә һазырланиш балталарын Гафгазда Араздан башланыш Кубана кими кениш әразидә чохлу мигдарда тапылмасына бахмајараг Дәвәчи тапынтылары [5] истина олунарса, Азэрбајчанда сон илләрә ғәдәр белә көзлү балталар тапылмамышдыр.

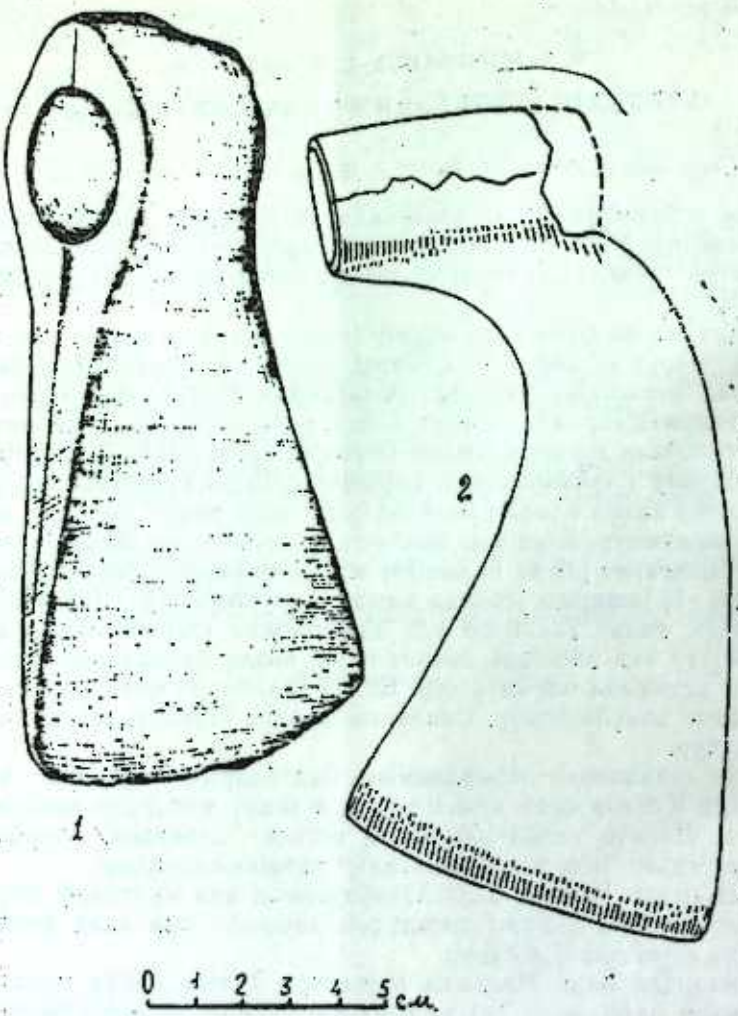
Бу бахымдан 1986-чы илдә Азэрбајчаны икى мұхтәлиф зонасында тәсәррүфат ишләрі заманы тәсадүфән тапылан икى әдәд көзлү түнч балта бөјүк елми марага дөгүрүр.

1) Онлардан бири Масаллы рајонунын Татјан көнді յаһылышында тапылыш вә һазырда Татјан көнд мәктәбинин дијаршүнаслыг кабинәсіндә саҳланишылар. Мәктәбин тарих мүәллими Тоғиг Эзизову* вердији мә'лумата көрә, тапынты саһәсіндә яшајыш ярини көстәрән мәдени тәбәгә эламети юхдур. Чох сәнгимал ки, балта дағыдылыш гәбир комплексинә иштә олмушдур. Онун һазыркы вәзијәті дә буны тәсдиғ едир (шәкил 1). Балтанын узуулуғу 15 см, тијәсінин ени 7 см-дир. Дәстәк яри даирәви олуб, диаметри гарын тәрәфдән 2,8 см-э, бел тәрәфдән исә 3,2 см-э бәрабәрдір.

Әз формасына көрә Масаллы балтасы Гафгазда кениш յаһылыш балталарын еркән группана дахил едилә биләр. Типология хүсусијәтті

* Тапынты нағында мә'лumat вердији үчүн Тоғиг Эзизова миннәтдарлығымызы билдиририк.

е'тибарилэ о Ермәнистанда II Шаглама Галачасындан [6] тапылмыш балта илэ даһа чох јахыныг тәшкүл едир. Бүтүн мә'лум олан чохсајлы башга балталардан бу балталары фәргләндирән эсас чәһәт онларда металын гәлибә күп һиссәдән төкүлмәснин көстәрән чыхынтышәкилли әламәттүн олмасыдыр.



Масаллы балтасы илэ охшарлыг тәшкүл едән дикәр нүмүнәләрдән Кубан чајы һевзәснәндә өјрәнилмиш Кострома курганындан [7] вә Дағыстанда Гасымкәнд [8] рајонундан мә'лум олан балталары көстәрмәк олар.

2) Икиичи балта Ағдам рајонунун Хындырыстан көнди әразисинде Күллүтәпә гәдим јашајыш јериндән тәсадүфі олараг тапылмышдыр. Хындырыстан кәнд орта мәктәбинин мүәллими Бәһмән Шүкуров һәмми балтаны тапыб ону мүһафизә үчүн Хындырыстан дијаршүнаслыг музейнә вермишdir**.

** Бунун үчүн Бәһмән Шүкурова миннэтдарлығымызы билдиририк.

Абида илэ танышлыг заманы мә'лум олду ки, о Гарабағ дүзәнлийнде кениш мә'лум олан енеолит дөврү јашајыш јерләрindән биридир. Јашајыш кәсилдикдән соңра бура бәбиристанлыг јери кими истифадә олунмушдур. Балта исә тунч дөврүнә инд гәбир комплексинә дахил олан материалдан биридир (башга материалларын талеји мә'лум дејил). Хындырыстан музейнде бир әдәд јасты искәнә формалы балта да сахланылыр. Һәмин балтанын да көстәрилән гәбир комплексинә инд олмасы еңтимал едилир.

Хындырыстан балтасы форма е'тибарилэ сечилмәси илэ јанаши, дөврүнә көрә дә Масаллы балтасындан даһа гәдим вахта инд едилир. Белә ки, Хындырыстан балтасынын күп һиссәси саллаг борулу, тијә һиссәси исә аյмәлидир (шәкил 2). Гафгазда кениш јајымыш бу чүр балталар археологи әдәбијатда борулу балталар адланыр вә «Сачхери типи» кими танылыр. Балтанын узуулуғу 15 см, тијәнин ишләк һиссәдә еин 8 см, боруун узуулуғу 5,7 см, диаметри 2,5 см-дир.

Формача Хындырыстан балтасына Күрчүстан Сарсис-Гора, Караглести [9] вә Ермәнистанда Ленинакан [10] отрафында тапылмыш илэ тунч дөврү балталары даһа чох јахындыр.

Дәвәчи јахынлығында јасты балта вә дөрдтилли тунч бизлә берабәр тапылмыш саллаг борулу балта да [51] Хындырыстан балтасы илэ бир типе инд едила биләр.

Беләликлә, бизим тәсвир етдијимиз нүмүнәләр Гафгазда јајымыш вә эсасән, ики бөյүк групда чәмләшмиш балталарын һәр ики типини тәмсил едиrlәр.

Гејд етмәк лазымдыр ки, индијә гәдәр Гафгазда елә бир абида мә'лум дејил ки, орада јухарыда көстәрилән ики групда инд балталар бер комплексдә тапылмыш олсун. Еини вәзијәттә Өн Асија абидаләри учүн дә характеристикдир. Бу да һәмин балталарын хронологи чәһәтдән бир пилләје инд олмадыгларына дәлаләт еди.

Вахтилә Б. А. Куфтин [11] Гафгаз вә Өн Асија абидаләрindән мә'лум олан һәмин тип балталары мугајисәли шәкилдә тәһлил едәрәк көстәрмишdir ки, Месопотамијада икиичи груп балталар (саллаг борулу) биринчи груп балталарын арадан чыхмасындан соңра мејдана кәлир. Еини вәзијәт Гафгазда да мүшәнидә олунур.

Тәсвир олунан балта нүмүнәләри форма е'тибарилэ Өн Асија балта типләрини тәккәрәр етсә дә вә мәншә е'тибарилэ онларла бағлы олса да, Гафгаз балталарынын јерли истеңсал мәһсүлү олмасы шүбһә дөгүрмүр [5]. Јухарыда көстәрилән яни фактики дәлилләр (назыр метал эшжалар, шлаклар, бутә, чекмә, гәлибләр вә с.) буну бир даһа субут еди

Әдәбијат

1. Абубуллаев О. А. МИА № 125. — М.—Л., 1965, с. 65—72, рис. 1, 2; Махмудов Ф. Р., Мунчаев Р. М., Нариманов И. Г. СА, 1968, № 4, с. 16—26; Исмаилов Г. С. Азәрб. ССР ЕА Хәбәрләри (тарих, фольклор вә һүгүт сериясы), 1974, № 3, с. 84—91; Мусаев Д. Л. Археологические и этнографические изыскания в Азербайджане (1985 г.). — Баку: Элм, 1986, с. 22. 2. Пицковский Б. Б. СА, 1949, XI с. 172. 3. Ханзадян Э. В. СА, 1964, № 2, с. 93, 94, рис. 1, 1. 4. Гаджиев М. Г. В кн. Древ. и средневек. посел. Дагестана. — Махачкала, 1983, с. 34, рис. 16; Мунчаев Р. М. Кавказ на заре бронзового века. — М., 1975, с. 175, рис. 34, 4. 5. Нессен А. А. К истории о древнейшей металлургии меди на Кавказе. Изв. ГАИМК, вып. 120. — М., 1935, с. 85. 6. Есян С. А. Древняя культура племен Северо-восточной Армении. — Ереван, 1976, с. 21, таб. 82, 8. 7. Артаманов М. И. — СА, 1948, т. X, с. 180, рис. 5, 4. 8. Кореневский С. Н. Памятники эпохи бронзы и раннего железа в Дагестане. — Махачкала, 1978, с. 41, рис. 1, 3. 9. Куфтин Б. А. Археологическая маршрутная экспедиция 1945 г. в Юго-Осетию и Имеретию. — Тбилиси, 1949, с. 36, 71, таб. XX—VI. 10. Мартirosyan A. A. Армения в

эпохи бронзы и раннего железа. — Ереван, 1964, с. 40, рис. 96, 11. Кифтин Б. А. Археологические раскопки в Триалети. — Тбилиси, 1941, с. 10—11.

Азэрб. ССР ЕА Тарих Институтунун
Археология әәтнография сектору

И. Г. Нариманов, Г. Ф. Джабаров

ДРЕВНЕЙШИЕ БРОНЗОВЫЕ ТОПОРЫ АЗЕРБАЙДЖАНА

Статья посвящена обнаруженным впервые на территории Азербайджана бронзовым проушенным топорам. Один из них происходит из разрушенного погребения у сел. Татин Масаллинского района и относится к ранним образцам (рис. 1, 1). Второй топор найден у сел. Хыидырстан (Агдам), относится к поздним вариантам трубчатообушных топоров (рис. 1, 2). Форма для отливки подобных топоров недавно обнаружена из раннебронзового поселения Шортепе Бардинского района и указывает на местное происхождение проушенных топоров.

I. H. Narimanov, H. F. Djafarov
ANCIENT BRONZE AXES OF AZERBAIJAN

The article is devoted to the ancient bronze axes with backs having apertures discovered in Azerbaijan for the first time. One of them comes from the Masally district and belongs to the most early examples. The second axe was found near the village Hindiristan (the Agdam district) and belongs to the late variants of axes with backs in the form of pipe. The mould for casting such axes was recently found on the settlement of Shortepa in the district of Barda.

Альманышдыр 27. VI 87

АЗЭРБАЙЧЫН ССР ЕЛМЛЭР АКАДЕМИЯСЫНЫН МЭРҮЗЭЛЭРИ

ДОКЛАДЫ АКАДЕМИИ НАУК АЗЕРБАЙДЖАНСКОЙ ССР

ТОМ XLIV ЧИЛД

№ 9

1988

УДК 781.479.24

С. Т. ФАРХАДОВА

МУЗЫКОВЕДЕНИЕ

НАЦИОНАЛЬНЫЕ ИСТОКИ В МУЗЫКЕ У. ГАДЖИБЕКОВА (на примере обрядовых песен)

(Представлено академиком АН Азербайджанской ССР М. А. Усейновым)

Разносторонность творческих поисков У. Гаджибекова, умение свободно ориентироваться в различных жанрах азербайджанской народной музыки — одна из самых привлекательных особенностей таланта композитора. От пытливого взгляда мастера, проникавшего во все сферы народной музыки и безошибочно угадывающего художественные достоинства и возможности каждой из них не могла ускользнуть столь самобытная форма народного музыцирования как музыкальные драмы «шебихи». Об этом можно судить по высказываниям самого У. Гаджибекова, усмотревшего в азербайджанских «мистериях» зачатки оперного искусства и сравнивающего их с ораториями [1]. Привлекший внимание композитора жанр траурных песен, естественно, оставил заметных следов в его произведениях. Так, не вызывает сомнений, что именно ими рождены музыкальные образы шедевров гаджибековской лирики — романсов «Сэнсиз» и «Севкили чанан». И не случайно люди пожилого возраста, близко знакомые с «шебихами», сходятся в едином мнении о «жанровом прототипе» этих романсов, указывая при этом на траурные песнопения [2]. Действительно, не только интонационный строй романсов, но и вся психологическая атмосфера, в которую погружается слушатель, невольно вызывает ассоциации с трагически сосредоточенными и одновременно проникновенными, полными горечи и страдания образами песнопений.

Если в романсах Гаджибеков перенес заключающуюся в песнопениях глубину чувств и неподдельную искренность переживаний, то в хоре народа «Не руби, о хан, ты им головы» из последнего действия оперы «Кероглы» музыкальный гений композитора извлекает из этого жанра иные его выразительные свойства: черты монументальности, эпической статуарности.

Думается, что создавая композицию хора, Гаджибеков сознательно ориентировался на «схемы» траурных песнопений. Наше предложение подтверждается идентичностью его структуры со структурами многих песнопений, в частности, с композицией «Плаче по Им. Хусейну».

В подтверждение сказанного рассмотрим структуру этого плача:

Композиция плача складывается из многочисленных вариантных повторов темы-тезиса (исходный шестигаттакт). Первые четыре такта мелострофы составляет запев, а последующие два такта — припев, синтезирующий в себе самые выразительные элементы темы: мелодический ход с двумя увеличенными секундами (лад Чаргях), выразительный восходящий квартовый скачок перед окончательным утверждением

тоники. Принев, в сущности, был продиктован хору заключительным мелодическим оборотом запева. В последующем варианте запев заканчивается лише: многократным повторением звука фа и его закреплением при помощи вспомогательного вводного звука. Такая концовка, принимая функцию «рефрена-каденции», сохраняется во всех вариантах.



Рис. 1



Рис. 2

ных повторах запева. На протяжении всего развития от строфы к строфе наблюдается стремление к более решительному интенсивному обновлению темы, с использованием распевов, ритмическим дроблением, с постепенным расширением диапазона мелодии за счет включения в нее новых высотных звуков, что создает благоприятную основу для последовательного целенаправленного развития темы, хотя определяющая роль в цельном монолитном восприятии всей композиции остается все же за рефренностью. Именно постоянным, стабильным повторением одной и той же остинатной интонации-каденции и одного и того же мелодического оборота — принева создается надежный прочный каркас, скрепляющий всю мелодическую форму. Схематически структуру песнопения можно представить, изобразив круг с малым радиусом, обозначающим выдержанную в запеве каденцию и круг с более широким радиусом, связанным со стабильно повторяющимся приневом. В результате возникает структура двойного рондо.

Специфичная «рондальность», наблюдаемая в «Плаче по Им. Хусейну» и составляющая особенность структуры большинства песнопений лежит и в основе ранее упомянутого хора из оперы Гаджибекова «Кероглы» — «Не руби, о хан, ты им головы» [3]. Здесь прослеживается тот же принцип рефренности, связанный и в этом случае с предопределенностью, с постоянным возвращением к исходной мысли. Неизменными остаются вторая и четвертая фразы первой хоровой строфы, тогда как первая и третья подвергаются заметному обновлению. Так же, как

и в обрядовых плачах развитию мелодии в хоре сопутствует постепенное расширение диапазона мелодии с внедрением в нее новых высотных звуков, с более решительной интонационной эманципацией обновляющихся ячеек. При этом заметно стремление кнациональному использованию богатых ресурсов темы: введение новых элементов в мелодию обычно подготавливается освежением и закреплением в памяти прежних интонаций.

Сходство наблюдается и в характерной для хора однотемности, являющейся как и в плачах следствием господства одного образа, одного настроения в подчеркнутой метричности. В том и в другом случаях особое смысловое значение приобретает мелодическое опевание, пропевающее как в мелодическом рисунке, так и в общей конструкции рассмотренных примеров и выражающее состояние безысходности.

Литература

1. Гаджибеков Уз. Сочинения, т. II. — Баку, 1965, с. 221.
2. Воспоминания Л. Иманова. — Журн. «Гобустан» 1977, № 5.
3. Абезгауз И. Об одной закономерности азербайджанской музыки. — Уч. зап. Азгосконсерв., 1973, № 1, с. 3—8.

Институт архитектуры и искусства АН АзССР

Поступило 28. XI 1986

С. Т. Фархадова

УЗЕЙР ҲАЧЫБАЛОВУН ІАРАДЫЧЫЛЫГЫНДА МИЛЛИ ЗЭМИН

(мәрасим маңылары нумунасы эсасында)

Мәгаләдә У. Ҳачыбайов мусигисинин мәрасим мусиги юрадычылығы иле сых азаси арашдырылым. У. Ҳачыбайов юрадычылығында мәнарәтә истифада олуимуш композиция-турулуш принциpleri, мелодик гаинунајуулуглары, метрик хүсусијәтләри мәрасим матем маңылары нумуналәrinde эксанн тапыр.

S. T. Farhadova

NATIONAL SOURCES IN UZEYIR HAJIBAYOV'S CREATION (ON THE EXAMPLES OF RITUAL SONGS)

In the article the author studies the connection between the deep layers of people-music art and Uzeyir Hajibayov's creation. On the examples of ritual songs, the similarity of structural-compositional principles, melody regularities, metrical peculiarities, which have obtained brilliant realization in Uzeyir Hajibayov's creation, is shown.

МУНДАРИЧАТ

Ријазијат

<i>Азад, А. Бабаев.</i> Бир синиf чәкили векторгијмәтли фазаларда дахилолма теоремләри. Чырлашан көрсөнтүв сарһәд масалалары	3
<i>Н. И. Ибраһимов.</i> Полиохбучаглыда аналитик функцияларын чохгат экспонент сыраларын мүтәлг јыгымасы нағында	7
<i>Р. І. Эмэнзаде, А. Н. Элизаде, М. Б. Ахундов.</i> Экс чаваблы чисим учун Лагранжын вариасија принципи	11
Ярымкечиричиләр физикасы	
<i>З. А. Ибраһимов, Ф. І. Мирзаев, Ч. О. Гаджар.</i> Термик ишләнмиш ванадиум-теллур шүшәләрләrin гурулуш хүсусијәтләри	15
<i>Т. Г. Гасымов, Н. Ч. Һүсейнов, Ф. И. Мамедов, И. Г. Гасымов.</i> AgGaSe ₂ монокристалларында мәнфи кечиричилек	20
Бәрк чисим физикасы	
<i>А. Т. Мамедов.</i> Сник-стеаратын овунту материалларының физики хассаларын тәсирини	23
Нефт кимјасы	
<i>Ф. И. Самедова, Б. М. Элиев, М. Ф. Мирбабаев, А. И. Һәсәнов.</i> Азәрбайҹан нефтьләrin галыгларындан алынышы нафтен-парафин карбонидрокенеләрләrin тәркиби ва гурулушу	26
<i>А. Т. Шахтахтинскаја, Н. М. Марданова, З. М. Мамедова, Ф. М. Элизаде, Ю. А. Пантелејева.</i> Со вә Н-бутаның оксидләшмә реакцијаларында оксид ваза-дiumtәркибли системләrin физики кимјәви ва каталитик хассалары	31
Кеокимја	
<i>Т. С. Һүсейнова.</i> Орта Күр чөкәклиjnин Еосен чөкүнтуләрнә бә'зи аз раст колинен элементләrin пајланысы ва онларын палеочографи энемијәти	36
<i>И. С. Чәфәров, Е. Ч. Чавадов.</i> Филиз саһасинин полиметал чәки мигдарларының вариограммаларының несабланысы	41
Биокимја	
<i>Р. Э. Бабаханов, Ш. И. Һәсәнова, Т. М. Агаев.</i> Еркән постнатал оитокенезда ишыгдан мәһрумийәти заманы итин көрмә анализаторунун структурларының митохондријасында фосфатэлағали глутаминаза ферментинин фәллалығы	45
Агрокимја	
<i>Азарб. ССР ЕА мүхбир узуу Ә. Н. Кулажиев, А. И. Бајева, Е. Э. Мугалинскаја, А. А. Хәлилова.</i> Сүмгајыт суперфосфат заводунун технокен туллантылары зонасының торнагларында агыр металлар	49
Тибб	
<i>В. В. Стрекалова, Й. И. Суворов, А. Н. Деденков, Д. Г. Хачиров, З. М. Мураев.</i> Радиометrik мә'лumat узрэ Na-22 дигестасында олан вистар чисимли сичовуларын зулал чатмамазлығы изә бәрабәр узунмудәтлі дүзләт дојдурулмасы шәрәтиндә натри мубадиләсинә фуросемидин тә'сири	53
<i>Р. Э. Абдуллаев, Х. М. Мирзаев.</i> Азәрбайҹан флорасындан олан алагангәл препаратының ададашканларының айрымынш урак дамарларын тә'сири	60
<i>И. Н. Нәrimанов, Н. Ф. Чәфаров.</i> Азәрбайҹаның Гәдим Түнч балталары	65
Мусигишинасыг	
<i>С. Т. Фәрнадова.</i> Узөир Һачибәјовуң ярадычылыгында милли зәмни	69

СОДЕРЖАНИЕ

Математика

<i>Азад А. Бабаев.</i> Теоремы вложения в некоторых весовых векторнозначных пространствах, вырождающиеся квазитивные граничные задачи	3.
<i>Г. И. Ибраһимов.</i> Об абсолютной сходимости кратных рядов экспонент, представляющих аналитические в полимногоугольнике функции	7

Теория упругости

<i>Р. Ю. Амензаде, А. Н. Ализаде, М. Б. Ахундов.</i> Вариационный принцип Лагравижа для упругого тела с реакцией	11
--	----

Физика полупроводников

<i>З. А. Ибрагимов, Ф. Г. Мирзоев, Ч. О. Каджар.</i> Структурные особенности термообработанных ванадневотеллуритных стекол	15
<i>Т. К. Қасумов, Г. Д. Гусейнов, Ф. И. Мамедов, И. К. Гасымов.</i> Отрицательная фотопроводимость в монокристаллах AgGaSe ₂	20

Физика твердого тела

<i>А. Т. Мамедов.</i> Влияние стеарата цинка на физические свойства порошковых материалов	23
---	----

Химия нефти

<i>Ф. И. Самедова, Б. М. Алиев, М. Ф. Мир-Бабаев, А. И. Гасанов.</i> Состав и структура нафтоно-парафиновых углеводородов из остатков азербайджанских нефей	26
---	----

Химия нефти и нефтехимический синтез

<i>А. Т. Шахтахтинский, Н. М. Марданова, З. М. Мамедова, Ф. М. Ализаде, Ю. А. Пантелеева.</i> Физико-химические и катализитические свойства оксидных ванадийсодержащих систем в реакциях окисления CO и n-бутана	31
--	----

Геохимия

<i>Т. С. Гусейнова.</i> Распределение некоторых малых химических элементов в эоценовых отложениях среднекуринской владины и их палеогеографическое значение	36
---	----

Рудные месторождения

<i>И. С. Джадарова, Э. Д. Джавадов.</i> Расчет вариограмм весовых содержаний полиметаллов рудного поля	41
--	----

Биохимия

<i>Р. А. Бабаханов, Ш. И. Гасанова, Т. М. Агаев.</i> Фосфатактивируемая глутаминаза активность в митохондриях структур зрительного анализатора мозга собак при ранней зрительной депривации	45
---	----

Агробиология

<i>А. Н. Гюльахмедов, А. И. Бајева, Э. А. Мугалинская, А. А. Хәлилова.</i> Тяжелые металлы в почвах зоны техногенных выбросов Сумгантского суперфосфатного завода	49
---	----

73

Медицина

- В. В. Стрекалова, Ю. И. Суворов, А. Н. Деденков, Дж. Г. Хачиров, З. М. Мусаев.* Влияние фуросемида на обмен натрия у крыс линии Вистар в условиях длительной солнечной нагрузки в сочетании с дефицитом белка и диете по данным радиометрии всего тела с Na-22 53
Р. А. Абдуллаев, Х. М. Мирзоев. Влияние препарата расторопши из флоры Азербайджана на сосуды изолированного сердца кроликов 60

Археология

- И. Г. Нариманов, Г. Ф. Джадаров.* Древнейшие бронзовые топоры из Азербайджана 65

Музиковедение

- С. Т. Фархадова.* Национальные истоки в музыке У. Гаджибекова 69

Сдано в набор 15.09.88 Подписано к печати 05.01.89. ФГ 10016. Формат 70×100^{1/16}.
Бумага типографская № 1. Гарнитура шрифта литературная. Печать высокая. Усл. печ. лист 6,17. Усл. кр.-отт. 6,17. Уч.-изд. лист 5,65. Тираж 560. Заказ 1116. Цена 70 коп.

Издательство «Элм».
370143 Баку-143, проспект Нариманова, 31, Академгородок,
Главное здание
Государственный комитет Азербайджанской ССР по делам издательств, полиграфии
и книжной торговли.
Производственное промышленное объединение по печати.
Типография «Красный Восток». Баку, ул. Ази Асланова, 80.

9. Текст статьи печатается на белой бумаге через два интервала на одной странице листа стандартного размера, с полями с левой стороны (не более 28 строк на одной странице по 58—60 знаков в строке). В тексте нельзя делать рукописные вставки и вклейки.

Статьи, напечатанные на портативной машинке, не принимаются.

10. Текст статьи должен быть изложен кратко, тщательно отредактирован и подписан авторами в печать. В математических статьях желательно избегать доказательств теорем, лемм и т. п. При использовании в тексте сокращенных названий (кроме общепринятых) необходимо давать их расшифровку!

11. Математические и химические формулы и символы в тексте должны быть вписаны четко. Следует избегать громоздких обозначений, применения, например, дробные показатели степеней вместо радикалов, а также \exp . Занумерованные формулы обязательно включаются в красную строку, номер формулы ставится у правого края страницы. Желательно нумеровать лишь те формулы, на которые имеются ссылки. Подстрочные и надстрочные индексы и степени следует отмечать карандашом, дугами сверху и снизу:

$$R^n r_n$$

Греческие буквы нужно обводить (в кружок) красным карандашом. Буквы готического шрифта и рукописные в рукописях не использовать, векторные величины — подчеркивать черным, буквы латинского рукописного шрифта следует отметить на полях (например, Н рукоп.).

Во избежание ошибок следует четко обозначать прописные (заглавные) и строчные буквы латинского алфавита, имеющие сходное начертание (Ca ; Kk ; Pp ; Oo ; Ss ; Uu ; Vv ; и т. д.), буквы $I(i)$ и $J(j)$ букву I и римскую единицу I , а также арабскую цифру I и римскую I' , (вертикальная черта), I и штрих в индексах, I (латинское эль) и e . Прописные буквы подчеркивают карандашом двумя черточками снизу (C), а строчные — сверху (c).

Следует избегать знаков типа \sim (волна), $\odot \oplus, \otimes; \square \exists, \diamond \vee \wedge$ (крышки) над и под буквами, а также знаков:

$$h \times \in \phi \phi, \phi, \exists$$

Латинские названия вписываются на машинке.

Слова «теорема», «лемма», «следствие», «определение», «замечание» и т. п. следует подчеркивать штриховой чертой, а текст утверждений типа теорем — волнистой чертой (исключая математические символы).

При выборе единиц измерения рекомендуется придерживаться международной системы единиц СИ.

12. При описании методики исследования следует ограничиваться оригинальной ее частью. При элементном анализе приводить только усредненные данные.

13. Необходимо тщательно проверить написание местных географических названий.

14. Цитированная литература проводится общим списком на отдельной странице: ссылки в тексте даются порядковым номером в круглых скобках над строкой (например, 1). Список литературы оформляется следующим образом:

для книг: инициалы и фамилии авторов, полное название книги, место и год издания;

для журнальных статей: инициалы и фамилии авторов, название журнала, номер тома, номер выпуска, страница и год издания.

Ссылки на неопубликованные работы не допускаются.

15. Все статьи должны иметь резюме на английском языке, кроме того, статьи, написанные на русском и азербайджанском языках, должны иметь резюме на азербайджанском и на русском соответственно.

Публикация статьи в «Докладах» не препятствует напечатанию расширенного ее варианта в другом периодическом издании.

70 газ.
коп.

Индекс
76355